



UNIVERSIDADE FEDERAL DO ACRE - UFAC  
Programa de Pós-Graduação em Ciência da Computação - PPgCC

EDKALLENN SILVA DE LIMA

**Aplicação de Mineração de dados e  
Aprendizagem de Máquina na detecção de  
conflitos entre políticas**

RIO BRANCO - ACRE

2020, v-2.1.2

EDKALLENN SILVA DE LIMA

**Aplicação de Mineração de dados e Aprendizagem de  
Máquina na detecção de conflitos entre políticas**

Dissertação de Mestrado apresentada ao Programa de Pós-Graduação em Computação da Universidade Federal do Acre como Exame de Qualificação à obtenção do Grau de Mestre em Ciência da Computação. Área de concentração: Engenharia de Sistemas e Informação

UNIVERSIDADE FEDERAL DO ACRE – UFAC

Programa de Pós-Graduação em Ciência da Computação – PPgCC

Orientador: PROF<sup>a</sup> DR<sup>a</sup>. LAURA COSTA SARKIS

RIO BRANCO - ACRE

2020, v-2.1.2

**EDKALLENN SILVA DE LIMA**

Aplicação de Mineração de dados e Aprendizagem de Máquina na detecção de conflitos entre políticas/ EDKALLENN SILVA DE LIMA. – RIO BRANCO - ACRE, 2020, v-2.1.2-

114p. : il. (algumas color.) ; 30 cm.

Orientador: PROF<sup>a</sup> DR<sup>a</sup>. LAURA COSTA SARKIS

Dissertação (Mestrado) – UNIVERSIDADE FEDERAL DO ACRE – UFAC  
Programa de Pós-Graduação em Ciência da Computação – PPgCC, 2020, v-2.1.2.

1. Políticas de controle de acesso. 2. Mineração de Dados. 2. Aprendizagem de máquina. I. DRA. LAURA COSTA SARKIS. II. UFAC - Universidade Federal do Acre. III. Programa de Pós-Graduação em Ciência da Computação – PPgCC. IV. Título

# EDKALLENN SILVA DE LIMA

Aplicação de Mineração de dados e Aprendizagem de Máquina na detecção de conflitos entre políticas

Dissertação de Mestrado apresentada ao Programa de Pós-Graduação em Computação da Universidade Federal do Acre como Exame de Qualificação à obtenção do Grau de Mestre em Ciência da Computação. Área de concentração: Engenharia de Sistemas e Informação

Aprovada em <MES> de 2020.

## BANCA EXAMINADORA

---

PROF<sup>a</sup>. DR<sup>a</sup>. LAURA COSTA SARKIS - Orientador, UFAC

---

PROF<sup>o</sup> DR. MANOEL LIMEIRA DE LIMA JUNIOR  
ALMEIDA, UFAC

---

PROF<sup>a</sup>. DR<sup>a</sup>. CATARINA DE SOUZA COSTA, UFAC

---

PROF<sup>a</sup>. DR<sup>a</sup>. ANA BEATRIZ ALVAREZ MAMANI -  
Suplente, UFAC

RIO BRANCO - ACRE  
2020

*Dedicatória: Este trabalho não seria possível sem a educação que me foi concedida, os ensinamentos e a sabedoria oriundos de você, Lucimar do Rego Albuquerque de Lima, muito mais que uma mãe, uma inspiração. <IN MEMORIAN>.*

# Agradecimentos

À Deus pela saúde e pelas condições de viver uma vida plena de significados, sentimentos, emoções e sentido.

À família maravilhosa, em todos os sentidos, que tenho. Pai, mães (sim, mais de uma), irmãos, irmãs, avós e avôs que se foram (e deixaram saudades eternas), tios, tias, primos e primas, agregados, enfim, todos que fazem a loucura que é qualquer festa “só com os parentes mais próximos”. Eu amo todos vocês.

Às mulheres da minha vida, minha filha, Ana Ester e minha esposa, Vanessa Lima, por me suportarem, claro, mas, principalmente por me amarem incondicionalmente.

Mais uma vez, à você, Lucimar, nossa querida Lúcia, por sua sabedoria e ensinamentos. Pelo seu sorriso que sempre vinha cheio de significados. Pela sua vida ter sido a nossa vida. Por ter se doado tanto. Por ter trabalhado tanto para construir esta família linda (que, claro, nunca será a mesma sem você, jamais). Pelas inúmeras vezes em que você me chamava de “meu filho” (se eu soubesse que a contagem era regressiva tinha aproveitado mais). Por tudo o que você representou nas nossas vidas, obrigado. Nenhuma palavra que existe ou que será inventada em qualquer língua tem significado suficiente para descrever o que você era em nossas vidas. Na minha vida. Mais uma vez, obrigado...

Nunca te esquecerei...

“Assim como casas são feitas de pedras, a ciência é feita de fatos. Mas uma pilha de pedras não é uma casa e uma coleção de fatos não é, necessariamente, ciência”.

**Jules Henri Poincaré**, matemático, físico e filósofo da ciência francês

# Resumo

A quantidade de informações disponíveis cresce a cada ano. Aumenta, junto com o volume de dados e informações, o interesse em tratar, analisar e descobrir conhecimento a partir desta avalanche de dados. A mineração de dados juntamente com o aprendizado de máquina são duas ferramentas-chave dentro deste processo de descoberta de conhecimento e utilização de todos esses dados e informações para propósitos úteis. Entretanto, antes que os dados possam ser analisados, eles precisam ser armazenados e os sistemas computacionais sofrem, também de forma crescente, permanentes ameaças à sua segurança. Neste contexto se inserem as políticas para sistemas computacionais que buscam garantir meios para proteção, confidencialidade e confiabilidade dos acessos dos usuários aos objetos dentro dos sistemas de uma organização. Em sistemas com múltiplos sujeitos, muitas ações e diversos objetos, eventualmente, ocorrerão conflitos entre políticas. Um conflito ocorre quando os objetivos de duas ou mais políticas não podem ser atendidos simultaneamente em determinado contexto. Este trabalho propôs que o problema da detecção de conflitos em políticas pode ser convertido em um problema de *data mining* (mineração de dados) resolvido pela tarefa da classificação além de modelar e sintetizar uma forma de detectar estes conflitos mediante o uso de diferentes algoritmos e técnicas da aprendizagem de máquina com acurácia elevada e forneceu modelos genéricos o suficiente para serem usados em outros contextos.

**Palavras-chave:** Controle de Acesso. Mineração de dados. Aprendizagem de máquina. Conflitos diretos. Conflitos indiretos. Detecção de conflitos.

# Abstract

The amount of information available grows every year. It increases, along with the volume of data and information, the interest in treating, analyzing and discovering knowledge from this avalanche of data. Data mining associated with machine learning are two key tools within this process of discovering knowledge and using all that data and information for useful purposes. However, before data can be analyzed, it needs to be stored and computer systems are also increasingly threatened with permanent security threats. In this context, policies for computer systems are inserted as a way to guarantee protection, confidentiality and reliability of users' access to objects within an organization's systems. In systems with multiple subjects, many actions and different objects, eventually, conflicts between policies will occur. A conflict occurs when the objectives of two or more policies cannot be met simultaneously in a given context. This work proposed that the problem of detecting conflicts in policies can be converted into a problem of data mining (data mining) solved by the task of classification, in addition to modeling and synthesizing a way of detecting these conflicts through the use of different machine learning algorithms and techniques with high accuracy and provide generic models enough to be used in other contexts.

**Keywords:** Access control. Data mining. Machine learning. Direct conflicts. Indirect conflicts. Conflict detection.

# Listas de ilustrações

Figura 1 – Modelo das políticas utilizadas no estudo . . . . .	36
Figura 2 – Etapas do processo de descoberta do conhecimento em bases de dados - KDD . . . . .	38
Figura 3 – Modelo sobreajustado e regularizado para o mesmo <i>dataset</i> . . . . .	44
Figura 4 – Funcionamento da técnica holdout. . . . .	45
Figura 5 – Funcionamento da técnica <i>cross validation</i> . . . . .	46
Figura 6 – Preenchimento de uma matriz de confusão . . . . .	49
Figura 7 – Matriz de confusão para o caso de um classificador binário . . . . .	49
Figura 8 – Exemplo do algoritmo k-NN . . . . .	54
Figura 9 – Modelo matemático de um neurônio . . . . .	56
Figura 10 – Adição de um <i>offset (bias)</i> no modelo do neurônio . . . . .	57
Figura 11 – Fronteira de separação (perceptron com duas entradas) . . . . .	58
Figura 12 – Representação simplificada de uma RNA . . . . .	58
Figura 13 – Rede Perceptron de multicamadas . . . . .	60
Figura 14 – Função de ativação Limiar . . . . .	61
Figura 15 – Função de ativação Linear . . . . .	62
Figura 16 – Função de ativação Logística (sigmoide) . . . . .	62
Figura 17 – Função de ativação Tangente Hiperbólica . . . . .	63
Figura 18 – Função de ativação ReLu - unidade linear retificada . . . . .	63
Figura 19 – Vetores de Suporte . . . . .	65
Figura 20 – Adição de características para tornar um conjunto linearmente separável	66
Figura 21 – Classificador Linear SVM com o uso de características polinomiais . . .	66
Figura 22 – Parte do programa para geração de políticas automaticamente . . . . .	79
Figura 23 – Segunda parte do programa para geração de políticas automaticamente	80
Figura 24 – Terceira Parte do programa para geração de políticas automaticamente	81
Figura 25 – Aspecto do arquivo das políticas geradas para os experimentos . . . . .	81
Figura 26 – Aspecto do arquivo com 68 políticas após o pré-processamento . . . . .	82
Figura 27 – Saída do software WEKA. Classificador: SVM . . . . .	83
Figura 28 – Saída do software WEKA. Classificador: <i>MultiLayer Perceptron</i> . . . . .	83
Figura 29 – Parte do arquivo com 281 políticas após o pré-processamento . . . . .	84
Figura 30 – Aspecto do dataset importado . . . . .	86
Figura 31 – Engenharia de atributos - dados categóricos textuais . . . . .	87
Figura 32 – Aspecto dos atributos previsores . . . . .	87
Figura 33 – Aspecto do atributo classe . . . . .	88
Figura 34 – Código do <b>MLPClassifier</b> com as primeiras iterações . . . . .	89
Figura 35 – Validações para o modelo <b>MLPClassifier</b> . . . . .	90

Figura 36 – Convergência da Loss Function - <b>MLPClassifier</b>	90
Figura 37 – Dimensionalidade dos dados: atributos sujeito, ação e objeto	91
Figura 38 – Comparação visual entre alguns classificadores	91
Figura 39 – Separação dos dados de teste e treino	93
Figura 40 – Implementação da classe Politicas	93
Figura 41 – Implementação da classe que modela a arquitetura da rede	94
Figura 42 – Implementação da função de treino da rede	95
Figura 43 – Implementação da função de teste da rede	96
Figura 44 – Implementação da função que mescla o treino e o teste em uma só	96
Figura 45 – Convergência das épocas entre o treino e o teste da MLP	97
Figura 46 – Arquitetura da rede neural	97
Figura 47 – Data Frame com instâncias de teste aleatórias	98
Figura 48 – Data Frame com instâncias de teste aleatórias	99
Figura 49 – Resultado da predição em tempo de execução	100
Figura 50 – Resultado da predição em tempo de execução	100
Figura 51 – Resultado da predição em tempo de execução	100

# **Lista de códigos**

Código 3.1 – Código da Padronização . . . . .	88
Código 3.2 – Hiperparâmetros do MLPClassifier . . . . .	88
Código 3.3 – Instâncias geradas aleatoriamente . . . . .	98
Código 3.4 – Conversão para DataFrame . . . . .	98
Código 3.5 – Listas classificações corretas . . . . .	99

# **Lista de tabelas**

Tabela 1 – Acurácia dos classificadores . . . . .	82
Tabela 2 – Acurácia do MLP . . . . .	85
Tabela 3 – Acurácia do SVM . . . . .	85
Tabela 4 – Acurácia dos classificadores - dataset 430 políticas . . . . .	91
Tabela 5 – Cronograma de Finalização do Mestrado . . . . .	102

# **Lista de abreviaturas e siglas**

ABAC	<i>Attribute-Based Access Control</i>
ACPs	<i>Access Control Policies</i>
AM	<i>Aprendizado de Máquina</i>
ATM	<i>Air-Traffic Management</i>
BPNN	<i>Basic Probabilistic Neural Network</i>
CPNN	<i>Constructive Probabilistic Neural Network</i>
DAC	<i>Discretionary Access Control</i>
DARPA	<i>Defense Advanced Research Projects Agency</i>
DoS	<i>Denial of Service</i>
GPGU	<i>General Purpose Graphic Processor Unit</i>
GPU	<i>Graphic Processor Unit</i>
KDD	<i>Knowledge Discovery in Data Bases</i>
MAC	<i>Mandatory Access Control</i>
ML	<i>Machine Learning</i>
MLP	<i>MultiLayer Perceptron</i>
NFL	<i>No-Free Lunch</i>
PMC	<i>Perceptron MultiCamadas</i>
RABAC	<i>Role and Attribute-Based Access Control</i>
RBAC	<i>Role-Based Access Control</i>
ReBAC	<i>Relationship-Based Access Control</i>
RNA	<i>Rede Neural Artificial</i>
RTLS	<i>Real Time Location Systems</i>
SMA	<i>Sistema Multi Agentes</i>
SVM	<i>Support Vector Machiner</i>
TI	<i>Tecnologia da Informação</i>

# Sumário

<b>1</b>	<b>INTRODUÇÃO</b>	<b>17</b>
<b>1.1</b>	<b>Contextualização</b>	<b>17</b>
1.1.1	Detecção de conflitos	19
1.1.1.1	Classificação dos conflitos	20
1.1.1.2	Conflitos Diretos e Indiretos	20
1.1.2	Problema de pesquisa	21
1.1.3	Justificativa	22
1.1.4	Hipótese	24
<b>1.2</b>	<b>Objetivos</b>	<b>25</b>
1.2.1	Objetivo geral	25
1.2.2	Objetivos específicos	25
<b>1.3</b>	<b>Solução Proposta</b>	<b>26</b>
<b>1.4</b>	<b>Método de Pesquisa</b>	<b>26</b>
<b>1.5</b>	<b>Resultados Esperados</b>	<b>28</b>
<b>1.6</b>	<b>Contribuições diferenciais do Trabalho</b>	<b>28</b>
<b>1.7</b>	<b>Limitações do Trabalho</b>	<b>29</b>
<b>1.8</b>	<b>Organização do trabalho</b>	<b>29</b>
<b>2</b>	<b>REVISÃO BIBLIOGRÁFICA</b>	<b>30</b>
<b>2.1</b>	<b>Segurança de dados computacionais</b>	<b>30</b>
<b>2.2</b>	<b>Controle de acesso</b>	<b>31</b>
2.2.1	Políticas de Controle de acesso	33
2.2.2	Modelos de políticas	34
2.2.3	Modelo de Política utilizado	34
<b>2.3</b>	<b>Mineração de Dados</b>	<b>36</b>
2.3.1	KDD - Knowledge Discovery in Databases	37
2.3.2	Modelo de conhecimento	38
2.3.2.1	Arquitetura do modelo	39
<b>2.4</b>	<b>Aprendizagem de máquina</b>	<b>39</b>
2.4.1	Definição	40
<b>2.5</b>	<b>Algoritmos de classificação</b>	<b>41</b>
2.5.1	Teoria da aprendizagem e algoritmos de classificação	42
2.5.2	Taxa de erro	43
2.5.3	Estratégias de validação	43
2.5.3.1	Medidas de avaliação	46

<b>2.6</b>	<b>Naïve Bayes . . . . .</b>	<b>50</b>
<b>2.7</b>	<b>K-NN — K-vizinhos mais próximos . . . . .</b>	<b>51</b>
<b>2.8</b>	<b>Redes Neurais Artificiais - RNA . . . . .</b>	<b>54</b>
2.8.1	Definição . . . . .	54
2.8.2	Modelo de neurônio artificial . . . . .	55
2.8.3	Redes do tipo Perceptron de múltiplas camadas . . . . .	59
2.8.4	Funções de ativação . . . . .	60
2.8.4.1	Função de ativação limiar . . . . .	61
2.8.4.2	Função de ativação linear . . . . .	61
2.8.4.3	Funções de ativação semilineares . . . . .	61
2.8.4.4	Função de ativação ReLu . . . . .	62
2.8.5	Otimização . . . . .	63
<b>2.9</b>	<b>SVM - Support Vector Machines . . . . .</b>	<b>65</b>
<b>2.10</b>	<b>Trabalhos Relacionados . . . . .</b>	<b>67</b>
2.10.1	Verificação e Detecção de conflitos . . . . .	67
2.10.1.1	Sarkis (2017) . . . . .	67
2.10.1.2	Vijayalakshmi e Jayalakshmi (2020) . . . . .	68
2.10.1.3	Zheng e Xiao (2019) . . . . .	68
2.10.1.4	Yahiaoui, Zinedine e Harti (2018) . . . . .	68
2.10.1.5	Silvestre (2017) . . . . .	68
2.10.1.6	Sun et al. (2011) . . . . .	69
2.10.1.7	Hwang et al. (2010) . . . . .	69
2.10.1.8	Shu, Yang e Arenas (2009) . . . . .	69
2.10.1.9	He e Antón (2009) . . . . .	69
2.10.1.10	Ferraiolo, Atluri e Gavrila (2011) . . . . .	70
2.10.1.11	Mohan et al. (2012) . . . . .	70
2.10.2	Mineração de políticas . . . . .	70
2.10.2.1	Bui, Stoller e Li (2019) . . . . .	70
2.10.2.2	Chakraborty, Sandhu e Krishnan (2019) . . . . .	70
2.10.2.3	Kalaskar e Barkade (2018) . . . . .	71
2.10.2.4	Xu e Stoller (2013) . . . . .	71
2.10.2.5	Hachana, Cuppens-Boulahia e Cuppens (2015) . . . . .	71
2.10.2.6	Martin e Tao Xie (2006) . . . . .	71
2.10.3	Detecção e Resolução de outros tipos conflitos . . . . .	72
2.10.3.1	Lupu e Sloman (1999) . . . . .	72
2.10.3.2	Chen (2011) e Christodoulou e Kontogeorgou (2008) . . . . .	72
2.10.4	Mineração de dados e aprendizagem de máquina . . . . .	72
2.10.4.1	Guerrero-Higueras, DeCastro-Garcia e Matellan (2018) . . . . .	72
2.10.4.2	Bui, Stoller e Le (2019) . . . . .	73

2.10.4.3	Obaidat e Macchairolo (1994) e Mukkamala, Janoski e Sung (2002) . . . . .	73
2.10.4.4	Jin, Cheu e Srinivasan (2002) e Debar, Becker e Siboni (1992) . . . . .	74
2.10.5	Relacionamento dos trabalhos com a dissertação . . . . .	74
<b>3</b>	<b>EXPERIMENTOS/RESULTADOS . . . . .</b>	<b>77</b>
<b>3.1</b>	<b>Forma geral dos experimentos . . . . .</b>	<b>77</b>
<b>3.2</b>	<b>Base de dados, pré-processamento e recursos computacionais . . . . .</b>	<b>78</b>
3.2.1	Datasets . . . . .	78
3.2.2	Recursos computacionais . . . . .	80
3.2.3	Experimentos iniciais - arquivo com 68 políticas . . . . .	80
3.2.4	Resultados - Arquivo com 68 políticas . . . . .	81
<b>3.3</b>	<b>Outros experimentos - arquivos com 281 e 430 políticas . . . . .</b>	<b>84</b>
3.3.1	Experimentos com Pandas, NumPy e sklearn - arquivo de 430 políticas . . .	85
3.3.2	Experimentos com TensorFlow e Pytorch . . . . .	91
<b>3.4</b>	<b>Teste da detecção de conflitos em tempo de execução . . . . .</b>	<b>97</b>
3.4.1	Análise dos resultados . . . . .	100
<b>4</b>	<b>CRONOGRAMA E PROPOSTAS PARA O TEXTO FINAL . . . . .</b>	<b>102</b>
<b>5</b>	<b>CONCLUSÕES . . . . .</b>	<b>103</b>
	<b>REFERÊNCIAS . . . . .</b>	<b>104</b>

# 1 Introdução

Neste capítulo introdutório serão descritos uma contextualização para apresentação do problema da pesquisa, além da justificativa, a hipótese do trabalho, os objetivos, as soluções propostas, os resultados esperados, as limitações da pesquisa e como este trabalho está organizado.

## 1.1 Contextualização

De acordo com [Alecrim \(2019\)](#), o volume de dados e informações cresce exponencialmente a cada ano, portanto, há uma frequente e ininterrupta demanda por mais infraestrutura de TI nas empresas, nos governos e mesmo nos usuários domésticos e, mais ainda, por um correto tratamento, destino e interpretação à imensidão de dados gerados por pessoas, empresas e governos([MACHADO, 2014](#)).

Em uma ampla variedade de campos, os dados estão sendo coletados e acumulados em um ritmo acelerado e há, assim, uma crescente demanda por análise adequada destes.([FAYYAD; PIATETSKY-SHAPIRO; SMYTH, 1996](#); [LIMA; PEREIRA, 2012](#)). Neste contexto se insere a mineração de dados com suas técnicas para tratamento e extração de conhecimento desse volume crescente de dados([SILVA; PERES; BOSCAROLI, 2017](#); [FERRARI; SILVA, 2017](#)).

Este trabalho usa diversas tarefas da mineração de dados para *modelar uma hipótese que possibilite detectar conflitos em políticas* de controle de acesso. Para isso, diversos algoritmos de classificação serão explorados, descritos e utilizados com ênfase nos que tem relação com o aprendizado de máquina e outras técnicas de classificação.

As *políticas* de proteção, confidencialidade e confiabilidade da informação, como as de *controle de acesso*, sendo parte da área de *segurança computacional*, são uma das formas de garantir, mediante o estabelecimento de regras, padrões e normas a salvaguarda e a disponibilidade das informações dos sistemas.([SARKIS, 2017](#))([BUI; STOLLER; LE, 2019](#)).

Este tema, cf. [Ueda \(2012, p.1\)](#) “é um tema de pesquisa importante dentro do contexto de segurança de sistemas, pois é um dos componentes fundamentais em qualquer sistema de computação”.

Segundo [Li e Tripunitara \(2006\)](#), um aspecto *muito relevante* e muitas vezes *tratado com pouca ênfase* na construção de sistemas é a formulação, gerenciamento e manutenção de políticas de segurança da informação, principalmente as de controle de acesso.

Nas palavras de Ueda (2012, p.1),

A definição dessas políticas é normalmente orientada por modelos que fornecem um conjunto de regras e mecanismos para o funcionamento seguro de uma representação abstrata de sistemas. Porém, a administração de tais políticas frequentemente *se torna um processo complexo*, pois deve garantir que elas sejam eficientes e que não comprometam o *desempenho* dos sistemas. [Grifo do autor.]

A administração de políticas é, portanto, *um processo complexo*, cf. Ueda (2012, p.1), pois garantir que elas sejam eficientes e não comprometam a consistência tanto do sistema quanto da própria segurança são fatores que atestam a confiabilidade de um sistema dinâmico. Ueda (2012).

De acordo com Bellettini, Bertino e Ferrari (2001, p. 21),

Um problema desafiador no gerenciamento de grandes sistemas é a complexidade da administração de segurança. [...] pois ela] envolve, entre outras tarefas, atribuir e revogar permissões de acesso a usuários nos objetos a serem protegidos.

Assim, essas permissões de acesso, também chamadas de *autorizações*, indicam de que maneira (ou modo) qual sujeito pode acessar um dado objeto em um determinado contexto. Essas *maneiras* ou modos, especificam as operações que podem ser realizadas nos objetos que estão protegidos, como, por exemplo, a leitura e gravação de arquivos. (BELLETTINI; BERTINO; FERRARI, 2001, p. 21).

Sempre que o número de sujeitos, objetos e ações é alto a quantidade de tais “autorizações” pode se tornar extremamente grande. Deste modo, se a população de usuários deste sistema for altamente dinâmica, a quantidade de operações de concessão e revogação dessas “autorizações” a serem realizadas poderá se tornar muito difícil de gerenciar. (BELLETTINI; BERTINO; FERRARI, 2001, p. 21).

Neste contexto é que se insere a **motivação** e a **justificativa** de se utilizar as técnicas e algoritmos de mineração de dados e aprendizagem de máquina com o objetivo precípicio de atingir este problema específico que é a quantidade crescente dessas citadas “autorizações” tornar o gerenciamento complexo e demorado. Importante salientar que neste trabalho, comumente, as “autorizações” são referenciadas como *políticas*, termo mais genérico e com mais suporte acadêmico.

Uma **política**, como as de controle de acesso, descrevem qual ação um sujeito (em um sistema) pode fazer (*permissão*), não pode fazer (*proibição*) ou é obrigado a fazer (*obrigação*) sobre um objeto em um dado contexto (SARKIS, 2017). E são, de acordo com Ueda (2012, p. 1), “Um tema de pesquisa importante dentro do contexto de segurança de sistemas, pois é um dos componentes fundamentais em qualquer sistema de computação”.

De maneira análoga são conceituadas as *normas* e os conjuntos de normas usados para lidar com a autonomia e a diversidade de interesses entre os diferentes agentes em um sistema multiagentes como o descrito e estudado em Silvestre (2017).

Essas normas que regulam as ações dos agentes são análogas às definições das políticas citadas anteriormente nesta seção 1.1 e são, cf. Silvestre (2017) e Sarkis, Silva e Braga (2016) fatores importantes para garantir a eficácia da segurança dos sistemas.

Para Wang et al. (2010, p. 264),

Embora o controle de acesso possa parecer conceitualmente simples, ele é complexo e sujeito a erros na prática. Para cumprir os requisitos de segurança, temos de garantir a consistência das políticas de controle de acesso, no sentido de que não deve haver conflito através da aplicação destas políticas.

Em contextos reais, porém, muitas vezes as políticas de segurança (e *normas*) apresentam conflitos entre si. Estes surgem quando, por exemplo, duas políticas regulando o mesmo comportamento de determinado objeto em um sistema estão ativas, mas uma delas obriga (ou permite) a realização de determinado comportamento ou ação enquanto a outra proíbe o mesmo. (SARKIS, 2017)(SILVESTRE, 2017). Ou seja, quando o cumprimento de uma regra/política/norma viola a outra e vice-versa. À característica de um sistema que tem a capacidade de reconhecer um estado como este, inconsistente, que esteja em andamento ou prestes a ocorrer denomina-se detecção de conflitos.

### 1.1.1 Detecção de conflitos

Segundo Kalam et al. (2003), quando um modelo de controle de acesso inclui a possibilidade de especificar *permissões*, *proibições* e *obrigações* podem ocorrer alguns conflitos entre políticas.

Os conflitos podem acontecer quando diferentes conjuntos de condições resultam em *permitir* e *negar* simultaneamente, ao mesmo papel, à mesma solicitação, ou *proibir* e *obrigar* o mesmo papel, à mesma solicitação, isto é, quando os *objetivos* de duas ou mais políticas *não podem ser atendidos simultaneamente* (CUPPENS; CUPPENS-BOULAHIA; GHORBEL, 2007).

A detecção de conflitos se insere dentro do contexto de verificação de consistência de estado dos sistemas. Esta checagem corresponde a analisar a aderência das regras de uma determinada política dentro do cenário em que ela é aplicada e levando em consideração as demais políticas incorporadas. Um conflito é, portanto, uma inconsistência, ou estado inconsistente representado por uma violação de uma regra já que impede que uma ou mais políticas sejam atendidas/aplicadas. (UEDA, 2012, p. 2).

### 1.1.1.1 Classificação dos conflitos

De acordo com [Cuppens, Cuppens-Boulahia e Ghorbel \(2007\)](#), [Sloman e Lupu \(2002\)](#) e [Lupu e Sloman \(1999\)](#), os conflitos classificam-se, principalmente em:

- *conflito de modalidade* que origina-se de políticas de propriedades contrárias;
- *conflito em potencial* surge da tripla justaposição de sujeitos, ações e objetos de políticas de predicados opostos além das precedências não estarem definidas;
- *conflito de redundância* que surge da precedência de execução dadas a certas políticas e
- *conflito específico de aplicação* que ocorre quando ações antagônicas são atribuídas para a mesma entidade (sujeito ou papel) mediante controles externos específicos, expressos como metapolíticas que agem como contenções para políticas permitidas.

Neste trabalho, para o modelo de política proposto, não abordam-se os conflitos de redundância já que ordens de precedência não são tratadas. Todas as outras modalidades de conflitos são examinadas e utilizadas.

Assim como em [Sarkis \(2017, p. 24\)](#), neste trabalho, os conflitos em potencial são denominados **conflitos diretos** e os conflitos de aplicação são abarcados pelos chamados **conflitos indiretos**.

### 1.1.1.2 Conflitos Diretos e Indiretos

[Dunlop, Indulska e Raymond \(2002\)](#) usam uma abordagem para os conflitos diretos e simples que será replicada neste trabalho. Diz-se que duas regras estão em conflito quando o cumprimento de uma das regras viola a outra e vice-versa. Ou seja, a verificação se há o conflito é feita entre duas políticas que possuem modalidades contraditórias ou antagônicas, definidas na mesma organização, executadas pelos mesmos sujeitos, efetuando a mesma ação em relação a um objeto específico.

Exemplo de um **conflito direto**:

{P1= Permitido, na Universidade X, Ana Ester, acessar processos administrativos}

{P2= Proibido, na Universidade X, Ana Ester, acessar processos administrativos}

Os exemplos acima mostram que quando uma política proíbe e a outra permite um sujeito de realizar uma ação estabelecida sobre um objeto específico em uma organização particular ocorre um conflito direto. O conflito, segundo [Autrel, Coma e al \(2008\)](#), pode ser identificado diretamente utilizando a sobreposição dos atributos das políticas.

Já em um conflito indireto, as políticas conflitantes regulam ações diferentes (mas relacionadas) executadas por distintos sujeitos (porém, relacionados) sobre objetos desiguais (mas, relacionados) em organizações diferentes (mas, relacionadas) (SARKIS, 2017, p.24).

Além disso, um conflito indireto pode ainda ocorrer, mesmo quando as políticas em conflito não têm modalidades contraditórias ou contrárias.

Ex:

P3 = Obrigado, Empresa E, Funcionário, receber, avaliação, mensal

P4= Permitido, Empresa E, Analista, conceder, avaliação, mensal

Este conflito não seria detectado diretamente, porém há um conflito se considerarmos os relacionamentos já que o tipo de política é contraditória (*Obrigado* × *Permitido*) e um ‘Analista’ também é um ‘Funcionário’ e vice-versa.

A capacidade de um sistema reconhecer um estado inconsistente em andamento ou em potencial é denominada **detecção de conflitos**.

Para Sarkis (2017, p. 14),

detectar conflitos entre políticas de controle de acesso é o primeiro passo para buscar inibir o surgimento de erros no sistema relativo às políticas aplicadas, tendo em vista que as políticas sem conflitos refletem corretamente o plano de segurança do sistema.

Ainda segundo Sarkis (2017, p.25), “Para um sistema baseado em políticas trabalhar de forma eficaz é importante ter um meio de detectar e resolver os conflitos que possam surgir”.

Torna-se, assim, relevante a utilização de abordagens que analisem previamente a existência de conflitos como o proposto nesta dissertação.

### 1.1.2 Problema de pesquisa

Para Wang et al. (2010), “a garantia dos requisitos de segurança, descritos pelas políticas de controle de acesso (ACPs), não pode ser obtida quando existem conflitos nos ACPs”.

E, conforme Sun et al. (2011), podem, de fato, surgir problemas de conflito de políticas quando novas políticas de acesso são geradas podendo, assim, entrar em confronto com as políticas existentes. Como resultado dos conflitos de política, as informações privadas não podem ser bem protegidas.

A detecção automatizada destes conflitos, citados na [seção 1.1](#) e na [subseção 1.1.1](#), com acurácia apropriada para utilização desta detecção em tempo de execução, é, assim, o cerne do problema de pesquisa deste trabalho.

Objetivamente, o problema investigado nesta dissertação consiste na *detecção de conflitos de forma automatizada usando técnicas de mineração de dados e aprendizagem de máquina* que apresentem acuráncias suficientemente convenientes para que estes conflitos sejam detectados em tempo de execução e que, ao se inserir novas instâncias e várias políticas sejam analisadas simultaneamente isto não acarrete um custo computacional elevado.

### 1.1.3 Justificativa

Na detecção de conflitos em políticas, geralmente, conforme a revisão da literatura (explicitada no Capítulo 2), usam-se abordagens como as de Sarkis (2017) e Mohan et al. (2012) — estritamente analíticos e formais, baseadas em análise de ontologias entre os atributos que compõem uma política e os relacionamentos e regras de propagação destas políticas ou mesmo estratégias como as de Wang et al. (2010) e Ferraiolo, Atluri e Gavrilă (2011) que usam uma arquitetura que pode ser empregada como uma máquina de proteção de propósito geral usando métodos matemáticos formais para atingir seus objetivos.

Dentro do conjunto de modelos formais, envolvendo relacionamentos, na detecção de conflitos, há também o trabalho de Sun et al. (2011), que usa o “propósito envolvido nos modelos de controle de acesso” para atingir seu fim. *Estes, fatalmente, analisam as políticas em pares ou em grupos sem filtros de agrupamentos.*

Há também os métodos baseados em requisitos como os propostos por He e Antón (2009) que integram a especificação de política no processo de desenvolvimento de software, garantindo, assim, a consistência entre os artefatos de software e fornecendo orientação prescritiva sobre como especificar ACPs (*Access Control Policies*) — políticas de controle de acesso, mas que *tem o inconveniente de ocorrer durante o desenvolvimento e a fase de análise do sistema e não em tempo de execução do mesmo*.

Adicionalmente, na literatura especializada são encontrados procedimentos como os descritos em Silvestre (2017) que utilizam lógica deôntica<sup>1</sup> para encontrar os conflitos. Estas abordagens citadas definem tipos de conflitos que podem ocorrer entre políticas computacionais e os tentam detectá-los, cada uma usando uma perspectiva específica.

Para detectar os conflitos entre políticas, nestes trabalhos citados anteriormente, estas foram analisadas, geralmente, em pares (e sem filtros para agrupamentos — quando os há) e mesmo quando foram verificadas múltiplas normas ou políticas, como em Silvestre (2017), *toda a base precisou ser “consultada” ou “varrida” novamente a cada conjunto de novas instâncias de políticas inseridas ou analisadas no sistema (para que o conflito seja ou não detectado).*

<sup>1</sup> A lógica *deôntica* é um tipo de lógica usada para analisar de modo formal as normas e as proposições que tratam dessas normas (SILVESTRE, 2017)

De acordo com [Shoham e Tennenholz \(1995\)](#) *esta forma de analisar políticas em pares é um problema NP-completo*, ou seja, ainda não foi provado que esta classe de problemas pode ser resolvida *em tempo polinomial*, sendo assim, *são tratados como computacionalmente custosos* a cada vez que uma instância nova de política é analisada (em tempo de execução, sendo, normalmente, exponencial).

Consequentemente, com o crescimento orgânico, natural e temporal das políticas em um sistema computacional, a manutenção e o gerenciamento dessas políticas será, por si só, além de já um problema naturalmente complexo (e preterido) bem como de difícil administração, de acordo com [Ueda \(2012\)](#) e [Bellettini, Bertino e Ferrari \(2001\)](#), também será, eventualmente, um problema computacionalmente oneroso.

[Hwang et al. \(2010\)](#), assim como [Sarkis \(2017\)](#), também desenvolve uma ferramenta, chamada ACPT (Access Control Test Policy), que ajuda a modelar e implementar políticas corretamente durante a modelagem, implementação e verificação de políticas, mas tem a desvantagem (ao menos em termos de custo computacional) de, também, verificar as políticas em pares (ou, ainda, até em grupos maiores) ou não contemplar essa análise em tempo de execução.

Alternativamente, técnicas e algoritmos de aprendizagem de máquina juntamente com as de mineração de dados foram utilizadas com resultados promissores na detecção de conflitos, principalmente em [Obaidat e Macchairolo \(1994\)](#), [Chen \(2011\)](#), bem como em [Christodoulou e Kontogeorgou \(2008\)](#) e [Jin, Cheu e Srinivasan \(2002\)](#).

Estes estudos abordam problemas variados como detecção de colisões em voos, segurança de acesso computacional, incidentes em rodovias e intrusão de sistemas — todos de alguma forma relacionados à conflitos entre normas, regras, políticas ou direção e que podem, claro, serem extrapolados para o problema descrito e estudado neste trabalho.

Há também os trabalhos de [Bui, Stoller e Li \(2019\)](#), [Hachana, Cuppens-Boulahia e Cuppens \(2015\)](#), [Kalaskar e Barkade \(2018\)](#), [Martin e Tao Xie \(2006\)](#), [Chakraborty, Sandhu e Krishnan \(2019\)](#) e os de [Xu e Stoller \(2013\)](#) e [Xu e Stoller \(2014\)](#) que analisam, de formas diferentes, aspectos relacionados com a mineração de dados em políticas de controle de acesso. Entretanto, a maioria dos trabalhos citados tem a desvantagem de abordarem o conflito de políticas, em si, de forma mais periférica e secundária (até acidental), sendo que em nenhum destes trabalhos, o foco principal é a detecção de conflitos entre políticas propriamente ditas (sejam elas quais forem), concentrando-se primordialmente seja em migração/conversão de políticas de um modelo para outro; ou no problema de políticas refletirem fielmente o desejo do autor e até mesmo em outros contextos (muito específicos), como o gerenciamento de firewalls ou mesmo usando abordagens particulares demais, com o foco em regras de associação (que não se aplicam ou resolvem diretamente o problema investigado nesta dissertação).

Neste contexto e tendo em vista que:

- (i) em grandes organizações as políticas de segurança, como as de controle de acesso, pela quantidade de objetos, modalidades, sujeitos e ações inerentes a essas instituições tendem a ter grande quantidade de informações que aumentam diariamente e constantemente nos sistemas computacionais (FUGINI; BELLETTINI, 2004) (BELLETTINI; BERTINO; FERRARI, 2001) (UEDA, 2012);
- (ii) que pode ocorrer, com a análise de políticas em pares (ou sem filtros de agrupamentos), conforme descrito no trabalho de Shoham e Tennenholz (1995), um problema NP-completo que onera o custo computacional;
- (iii) que pode-se otimizar conhecimento adquirido e já existente nas organizações (os *datasets* de políticas) mediante o uso de modelos de mineração de dados e aprendizagem de máquina, aproveitando-se da “história” temporal das políticas da organização;
- (iv) que os métodos abordados na literatura, em sua maioria, não analisam e detectam o conflito entre políticas de controle de acesso em tempo de execução, geralmente, o realizando durante a fase de análise, desenvolvimento ou outra do sistema;

Propõe-se, portanto, neste trabalho, aplicar a mineração de dados com técnicas de aprendizagem de máquina, como possibilidade de solução na detecção de conflitos entre o crescente número de políticas computacionais de uma organização, tanto em tempo de design, quanto em tempo de execução (com prioridade para este último), buscando evitar o custo computacional elevado, se aproveitando, pois, da “história” temporal das políticas da organização, mediante o conhecimento adquirido, “treinado” e otimizado pelos algoritmos de aprendizagem de máquina. *Estes, pois, pretendem ser os diferenciais deste trabalho e no que ele pode contribuir dentro do escopo deste problema.*

#### 1.1.4 Hipótese

Diante do contexto apresentado na seção anterior e também por Fugini e Bellettini (2004), Bellettini, Bertino e Ferrari (2001) e Ueda (2012) tem-se *como hipótese deste trabalho*, que o problema de detectar conflitos entre políticas *pode ser convertido e transformado* em uma tarefa de classificação da mineração de dados e que o uso de algoritmos de aprendizagem de máquina associados a técnicas de *data mining* para detectar estes conflitos configure um método que apresente precisão e acurácia pertinentes com a possibilidade de se verificar os conflitos em tempo de execução sem onerar o custo computacional.

## 1.2 Objetivos

Nesta seção serão descritos o objetivo geral e os específicos deste trabalho.

### 1.2.1 Objetivo geral

O objetivo deste trabalho é propor que o problema da detecção de conflitos em políticas pode ser resolvido como um problema de *data mining* (mineração de dados) solucionado pela tarefa da *classificação* além de especificar modelos de mineração de dados e aprendizagem de máquina, suficientemente genéricos, que possibilitem formas de detectar estes conflitos mediante diferentes algoritmos e técnicas da aprendizagem de máquina.

### 1.2.2 Objetivos específicos

Os objetivos específicos deste trabalho são:

- Estabelecer a relação entre machine learning, técnicas de mineração de dados e o problema do conflito entre políticas;
- Determinar e comparar quais algoritmos e técnicas são mais adequados para cada tipo de conflito nas políticas (ou normas) usando as suas acurárias como comparativo;
- Usar e comparar a precisão e a taxa de acertos dos principais algoritmos de classificação na resolução do problema da detecção de conflitos;
- Usar e comparar o desempenho, a precisão e taxa de acertos das principais técnicas usadas no aprendizado de máquina: redes neurais artificiais (RNA) e Support Vector Machines (SVM).
- Usar *frameworks* de aprendizado de máquina como TensorFlow ([KADIMISETTY, 2018](#)), Keras ([CHOLLET et al., 2015](#)) ou Torch ([PASZKE et al., 2019](#)), na construção, treinamento e teste de arquiteturas de redes neurais, comparando-os, quando adequado, para o problema específico deste trabalho;
- Estabelecer a detecção de conflitos em políticas (ou normas) como uma classe de problemas a serem resolvidos de forma eficiente por técnicas de aprendizagem de máquina;
- Demonstrar, na prática, que a detecção de conflitos pode ser realizada, usando a abordagem da mineração de dados e do aprendizado de máquina, em *tempo de execução*.

### 1.3 Solução Proposta

Diante da hipótese apresentada na [subseção 1.1.4](#), a solução para o problema apresentado neste trabalho na [subseção 1.1.2](#) concentra-se, prioritariamente, em mostrar que *converter* (ou *transformar*) a detecção de conflitos a um *problema de classificação* da mineração de dados associado a técnicas de aprendizagem de máquina, reestruturando os atributos do *dataset*, se necessário, se configura um método com acurácia satisfatória para que os conflitos entre as políticas de controle de acesso possam ser detectados automaticamente em tempo de execução.

A *primeira solução* proposta para conflitos diretos entre políticas é usar as técnicas e algoritmos de classificação (aprendizado supervisionado) para realizar a detecção automatizada de conflitos. Para isso, propõem-se:

- Usar e comparar as acurárias, precisões e outras métricas entre os principais algoritmos de classificação;
- Usar, inicialmente, uma rede neural (um perceptron de uma camada ou com somente uma camada oculta e apenas com *forward*) como técnica algorítmica para a detecção de conflitos e
- Construir a arquitetura de uma rede neural multicamadas (com camadas ocultas), e retropropagação (*backpropagation*), comparando-a com outro classificadores no contexto do aprendizado de máquina, como, por exemplo, o SVM, para estabelecer qual técnica de mineração de dados na detecção de conflitos em políticas é mais precisa.

Realizado os múltiplos experimentos, atestar a hipótese mediante os resultados apresentados.

### 1.4 Método de Pesquisa

O método de pesquisa deste trabalho é descrito como:

- *quanto à natureza* é uma obra original;
- no que se refere *aos objetivos* é uma pesquisa explicativa;
- e *quanto aos procedimentos técnicos* é um *estudo experimental* sendo que a técnica e a forma geral de como a estrutura e a arquitetura de todos os experimentos foram realizados, relatando, com particularidades, detalhes e minúcias, todos os passos necessários para atingir os objetivos descritos na [seção 1.2](#) e se o forem, de quais

formas eles foram atingidos, estão pormenorizadamente detalhados no Capítulo 3 deste trabalho.

O cerne do método usado nesta dissertação é a experimentação, pois, cf. [Travassos e Gurov \(2002, p. 3\)](#), este método “oferece o modo sistemático, disciplinado, computável e controlado para avaliação”.

O experimento é uma investigação formal, rigorosa e controlada. Em um experimento, os fatores chave são identificados e manipulados, enquanto outros fatores do contexto são mantidos sem mudança. ([WOHILIN et al., 2000, p. 11](#)). Isto é realizado para investigar e encontrar dependências entre estes fatores. ([WAZLAWICK, 2009, p. 63](#)) .

No caso específico deste trabalho, o método experimental, genericamente, segue a seguinte organização. ([TRAVASSOS; GUROV, 2002, p. 3](#)):

1. sugere-se um modelo;
2. desenvolve-se as técnicas quantitativas/estatísticas e qualitativas (dos algoritmos de mineração e aprendizagem de máquina);
3. aplica-se e executa-se os experimentos;
4. mede-se e analisa-se os resultados;
5. avalia-se o modelo com métricas apropriadas; e
6. repete-se o processo orientando-o à melhoria do modelo que suporte a hipótese.

Seguindo, assim, as fases de (i) definição do experimento; (ii) planejamento; (iii) execução; (iv) análise; e posterior (v) apresentação e empacotamento (organização dos dados para apresentação). ([TRAVASSOS; GUROV, 2002, p. 21 e 22](#)).

Este processo se inicia, de fato, com a sugestão de um modelo, baseado em um modelo já existente na literatura e nos *frameworks* de ciência de dados, e, então, estuda os efeitos do processo experimental descrito acima nos dados sugeridos pelo modelo proposto. Os experimentos, portanto, são o suporte que ajudam a assentar e verificar a previsão teórica (a hipótese) deste trabalho, construindo, deste modo, uma base de conhecimento confiável sobre o tema. ([TRAVASSOS; GUROV, 2002, p. 3 e 4](#)).

Para dar alicerce às avaliações quantitativas e estatísticas da análise do modelo, diversas métricas de verificação são abordadas no decorrer do trabalho, como as da [subseção 2.5.2](#), da [subseção 2.5.3](#) e da [subseção 2.5.3.1](#). Isto porque, “a medição é a parte central de um estudo experimental”. ([TRAVASSOS; GUROV, 2002, p. 10](#)).

## 1.5 Resultados Esperados

Ao fim deste trabalho os seguintes resultados são esperados:

- Mostrar que o problema da detecção de conflitos em políticas pode ser convertido em um problema de *data mining* (mineração de dados) resolvido pela tarefa da classificação;
- Demonstrar que o problema da detecção de conflitos diretos é um problema linearmente separável, logo, que pode ser resolvido, com eficiência por classificadores lineares;
- Mostrar que a política nova (*instância inédita*) é ou não conflitante imediatamente após a criação da mesma usando como base o treinamento da rede neural no *dataset* de políticas existente;
- Modelar e resumir uma forma de detectar estes conflitos mediante o uso de diferentes algoritmos e técnicas da aprendizagem de máquina que consigam acurácia que suportem a verificação de conflitos em tempo de execução;
- Estabelecer uma relação entre machine learning, técnicas de mineração de dados e a resolução do problema do conflito entre políticas;
- Determinar e comparar quais algoritmos e técnicas são mais adequados para cada tipo de conflito nas políticas (ou normas) usando as suas acurárias;
- Usar e comparar o desempenho, a precisão e taxa de acertos das principais técnicas usadas no aprendizado de máquina: redes neurais artificiais (RNA), Support Vector Machines (SVM).

## 1.6 Contribuições diferenciais do Trabalho

Espera-se como contribuições diferenciais deste trabalho:

- a aplicação de mineração de dados e técnicas de aprendizagem de máquina para solucionar o problema da detecção de conflitos em tempo de execução com isso, evitando o custo computacional elevado (ocasionado pela análise das políticas em pares ou em conjuntos de amostras — *batches*);
- lidar de forma pertinente com a quantidade crescente de informações de políticas de controle de acesso que aumentam constantemente nos sistemas computacionais aproveitando-se, assim, de forma conveniente, da “história” temporal das políticas de uma organização para a construção de modelos cada vez mais confiáveis e que detectem os conflitos com precisão aprimorada com o tempo;

- apresentar uma alternativa ao gerenciamento da quantidade crescente das políticas de controle de acesso de uma organização sempre que os sujeitos, objetos e ações é alto e a população do sistema for dinâmica.

## 1.7 Limitações do Trabalho

Não faz parte do escopo deste trabalho:

- Delinear um modelo de política com objetivos semânticos diferenciados. Para os experimentos deste trabalho será usado o modelo de políticas descrito em [Sarkis \(2017\)](#) e em [Sarkis, Silva e Braga \(2016\)](#)
- Analisar comparativamente os modelos de extensão de políticas em um determinado contexto;
- Usar redes neurais convolucionais profundas na detecção dos conflitos. Prioritariamente pela limitação temporal e tamanho da base;
- Abordar a semântica em políticas;
- Por conta da base de dados (*dataset*) ser gerada de forma aleatória (já que organizações, por motivos de segurança, não disponibilizarem suas bases de políticas), ela pode não representar fielmente os modelos de políticas aplicados no mundo real, embora seja baseada em um modelo suficientemente genérico cf. mostrado em [Sarkis \(2017\)](#).

## 1.8 Organização do trabalho

Este trabalho está organizado da seguinte forma:

- No [Capítulo 2](#) apresenta-se todo o referencial teórico compreendendo uma revisão bibliográfica sobre os principais temas desta proposta de dissertação, como políticas, detecção de conflitos, mineração de dados e aprendizagem de máquina (e seus algoritmos principais)
- No [Capítulo 3](#) são mostrados o método e os experimentos e resultados obtidos.
- No [Capítulo 4](#) mostra-se o cronograma para a finalização da dissertação.
- No [Capítulo 5](#) apresenta-se as conclusões atingidas e esperadas desta pesquisa.

## 2 Revisão Bibliográfica

Neste capítulo, alguns conceitos fundamentais da pesquisa bibliográfica realizada serão explanados com o intuito de atingir os objetivos descritos na seção 1.2 e o entendimento da solução proposta neste trabalho. Serão abordados modelos de políticas, como as de controle de acesso e conflitos entre as mesmas. Temas como mineração de dados, aprendizagem de máquina, algoritmos de classificação, hiperparâmetros, técnicas de aprendizado de máquina como as **RNA's – Redes Neurais Artificiais** e as **SVM — Support Vector Machines** também serão descritos e suas definições teóricas serão discutidas. Ao final, serão descritos alguns trabalhos relacionados ao tema desta proposta de dissertação.

### 2.1 Segurança de dados computacionais

Para Wang et al. (2010, p. 264), “O controle de acesso e a segurança da informação estão intimamente relacionados” e as informações e os dados disponíveis sofreram um aumento frenético nas últimas décadas, fato que gerou uma crescente preocupação com o correto tratamento destes dados e, principalmente com questões de *segurança* relacionadas à *proteção* destas informações que seguem, a cada ano sendo coletadas e acumuladas em ritmo vertiginoso (ALECRIM, 2019; MACHADO, 2014; LIMA; PEREIRA, 2012; FAYYAD; PIATETSKY-SHAPIRO; SMYTH, 1996; SANTOS, 2007).

Considerando, por exemplo, o ambiente corporativo, cf. Fontes (2012, p.1), a “informação é um recurso essencial para toda organização, independentemente do seu porte e do seu segmento de atuação no mercado”.

Neste contexto, tanto a obtenção da informação é um processo importante quanto o são as formas de armazenamento e proteção, além, claro, o fato de que a análise e interpretação destes dados e informações tornam-se atividades essenciais para a manutenção de negócios e o próprio desenvolvimento da sociedade. (SILVA; PERES; BOSCAROLI, 2017) (MARCIANO, 2006).

A informação, como observa-se, é um recurso crítico para qualquer instituição exigindo, portanto, a adoção de políticas de segurança adequadas que visem a sua proteção, salvaguarda e manutenção para que este ativo, tão significativo, mantenha seu valor, sua abrangência e importância dentro do cenário das organizações, governos e usuários comuns (MARCIANO, 2006).

Isto porque assim como a quantidade de dados e informações cresce rapidamente, aumentam também, a cada ano, as ameaças aos ativos de informação variando desde fraudes informáticas e sabotagens até vandalismo ou espionagem (CASACA; CORREIA,

2013).

Nos primórdios da computação o mundo ainda não estava totalmente interconectado por redes de computadores, em especial, pela Internet que trouxe, além de inúmeros benefícios, diversos outros problemas de segurança da informação e representou um desafio novo à proteção dos dados das organizações, governos e usuários domésticos (FONTES, 2012).

Assim, para Mukkamala, Janoski e Sung (2002), observa-se que a segurança da informação é uma questão de preocupação global séria. Pois, a complexidade, acessibilidade e capilaridade da Internet serviram para aumentar as ameaças à segurança dos sistemas de informação.

Fontes (2012, p. 2) afirma que, por exemplo, informações que antes estavam persistidas em relatórios e poderiam ser protegidas fisicamente em gavetas ou armários hoje podem ficar disponíveis na Internet e acessíveis no mundo todo. Mínimas falhas ou ações criminosas podem disponibilizar informações sigilosas ou privadas ou bloquear o acesso a informações críticas para a realização do objetivos da organização, como alguns ataques cibernéticos o fazem.

Portanto, para Casaca e Correia (2013), estes ativos de informação *devem ser protegidos* de ameaças através de estratégias e *políticas de segurança da informação*, feitas com base em modelos e métricas bem conhecidas e previamente definidas, permitindo às organizações melhorar seu processo de segurança da informação.

Assim, cf. Doherty e Fulford (2005), como as informações são um ativo corporativo crítico que se tornou cada vez mais vulnerável a ataques de vírus, hackers, criminosos e erros humanos, as organizações precisam priorizar a segurança de seus sistemas para garantir que seus ativos de informação mantenham sua precisão, confidencialidade e disponibilidade.

Uma das muitas formas de prover essas características, confidencialidade, confiabilidade é usando políticas de controle de acesso que garantem, mediante o estabelecimento de diretrizes, especificações e normas, a proteção e disponibilidade das informações dos sistemas. (BELLETTINI; BERTINO; FERRARI, 2001) (UEDA, 2012).

## 2.2 Controle de acesso

Para Knapp et al. (2009), o objetivo de uma política é fornecer orientação gerencial e suporte à segurança da informação de acordo com os requisitos de negócios, as leis e regulamentos relevantes em determinada organização ou instituição. A política de segurança em um sistema computacional garante, portanto, a proteção de suas informações. Dentre as diversas tecnologias utilizadas para assegurar essas propriedades, temos, por exemplo, o controle de acesso (SARKIS; SILVA; BRAGA, 2016)

Para Wang et al. (2010), o controle de acesso é o mecanismo central para atingir os requisitos de segurança em sistemas de informação. Dessa forma, trata-se de uma tecnologia indispensável para quem faz uso de qualquer tipo de sistema, podendo basear-se ou coexistir com outros serviços de segurança (SANDHU; SAMARATI, 1996).

Nas palavras de Wang et al. (2010, p. 264):

Especificamente, o controle de acesso pode ser usado para obter confidencialidade, integridade e privacidade de dados, garantindo que cada acesso a um sistema de informação e seus recursos sejam controlados de acordo com um conjunto de políticas predefinidas

Kropiwiec (2005, p. 8) afirma que “para entender o que é e como funcionam os mecanismos de controle de acesso de um sistema [...], faz-se necessário classificar os elementos do sistema em três grupos.” Que são, segundo este autor, o conjunto de *sujeitos*, de *objetos* e o de *ações*.

De acordo com Kropiwiec (2005, p. 8), o *conjunto de sujeitos* “englobam qualquer elemento que pode realizar ações sobre objetos, e é composto por usuários, processos e o próprio sistema”. Já o *conjunto de objetos* “englobam os elementos sobre os quais podem ser realizadas ações”. E, por sua vez, o *conjunto de ações* “compreende a lista de ações que podem ser realizadas sobre cada um dos objetos do sistema”. Como, por exemplo, ler, escrever, apagar, abrir conexão, enviar mensagem, encerrar conexão entre muitas outras ações relativas a cada sistema em particular.

Os mecanismos de controle de acesso, portanto, verificam todas as requisições de dados e recursos administrados pelos sistemas definindo, assim, as circunstâncias nas quais as requisições de acesso são permitidas ou negadas (SANDHU; SAMARATI, 1996).

Desta forma, tanto as informações quanto os ativos do sistema mantém um nível adequado de segurança, conservam o sigilo e estabelecem importantes providências quanto ao acesso a informações, recursos confidenciais ou protegidos (WANG et al., 2010).

Com o controle de acesso o usuário fica limitado apenas a execução de operações e ações no sistema que lhe foram previamente concedidas. Ao requerer acesso ao conteúdo de informações ou permissão de uso de recursos estes só serão outorgados a quem possui o direito de acesso aos mesmos (FERRAIOLI et al., 2001).

Os modelos de controle de acesso fornecem um conjunto de regras e mecanismos para o funcionamento seguro dos sistemas, sendo responsáveis pela definição de políticas específicas de controle de acesso. Para Monteiro (2017), as políticas são diretrizes de *alto nível* que determinam como os acessos são controlados e decisões de acessos são estabelecidas (VIMERCATI; SAMARATI; JAJODIA, 2005) (SARKIS, 2017) (LOPES, 2012).

Para Wang et al. (2010, p. 264),

Os modelos de controle de acesso fornecem representações formais dos sistemas de controle de acesso. As políticas de controle de acesso são requisitos de segurança que descrevem como o acesso é gerenciado, quais informações podem ser acessadas por quem e sob quais condições essas informações podem ser acessadas.

E conclui, “os modelos de controle de acesso fornecem maneiras de pensar sobre as políticas que eles mantém e comprovam as propriedades de segurança do sistema”. (WANG et al., 2010, p. 264),

Embora não seja o escopo deste trabalho é importante salientar que existem vários modelos, na literatura, de controle de acesso. Entre os principais, pode-se citar, o controle de acesso discricionário (*Discretionary Access Control - DAC*); o controle de acesso mandatório (*Mandatory Access Control - MAC*); o controle e acesso baseado em papéis (*Role-Based Access Control - RBAC*) e o controle de acesso baseado em relacionamentos (*Relationship-Based Access Control - ReBAC*). Há também os mais recentes, ABAC (Attribute-based Access Control) e o baseado em funções de atributo, RABAC (Role and Attribute-based Access Control).

O modelo de políticas adotado neste trabalho está fundamentado exatamente como o proposto por Sarkis (2017) e (SARKIS; SILVA; BRAGA, 2016). Este modelo está, também, baseado nos propostos pelos autores Cuppens, Cuppens-Boulahia e Ghorbel (2007), além do trabalho de Elrakaiby, Cuppens e Cuppens-Boulahia (2012), bem como no artigo de Kalam et al. (2003) por dois motivos:

- Este modelo ser suficientemente genérico, conforme demonstrado no texto de (SARKIS; BALI; SHARMA, 2017);
- Este específico modelo abarcar, de forma conveniente e coerente, características importantes dos padrões RBAC e ReBAC.

A respeito do ABAC e do RABAC indica-se o artigo de Qi, Di e Li (2018). Sobre o DAC e o MAC, sugere-se os trabalhos de Sandhu e Samarati (1996) e Vimercati, Samarati e Jajodia (2005). Sobre RBAC, recomenda-se Ferraiolo et al. (2001) e Sandhu e Samarati (1996). Sobre o ReBAC aconselha-se seguir o trabalho de Bui, Stoller e Le (2019) e Fong (2011).

### 2.2.1 Políticas de Controle de acesso

Uma política de controle de acesso tem como objetivo definir ou limitar o comportamento atual ou futuro de *sujeitos* e *objetos* para garantir que as suas *ações* estejam alinhadas com os objetivos da empresa de acordo com o escopo de acesso de cada sujeito ou grupo de sujeitos, com as permissões, proibições ou obrigações que estes tenham sobre os

objetos e quais dados ou recursos lhe são concedidos (DUNLOP; INDULSKA; RAYMOND, 2002)(SARKIS, 2017).

As políticas de controle de acesso convencionais, inicialmente foram chamadas de *autorizações* e tinham a seguinte forma: {*sujeito*, *objeto*, *ação*}. Estas *autorizações* especificavam quais operações os *sujeitos* podiam executar sobre os *objetos* no contexto de um sistema (VIMERCATI; SAMARATI; JAJODIA, 2005) (SARKIS, 2017).

Com o desenvolvimento dos sistemas e das políticas, estas últimas passaram a ser direcionadas, principalmente, na especificação e administração de requisitos de controle de acesso expressos na forma de *proibições*, *permissões* e, posteriormente de *obrigações* que são as composições principais na aplicação destas políticas (SARKAR; BALI; SHARMA, 2017).

Hoje, cf. Ferraiolo e Kuhn (1992), “As decisões de controle de acesso geralmente são determinadas pelas funções que os usuários individuais desempenham como parte de uma organização. Isso inclui a especificação de funções, responsabilidades e qualificações”.

### 2.2.2 Modelos de políticas

Os autores Moffett e Sloman (1994) afirmam que um modelo de política deve ter os seguintes atributos fundamentais: {*modalidade*, *sujeito*, *objeto* e *ação*}. A particularidade da política compreende estabelecer uma *autorização*, uma *permissão* ou *proibição*.

Para Moffett e Sloman (1994), o *sujeito* da política é a quem ela é orientada. O *objeto* define o conjunto de objetos no qual a política está focada. A *ação* é estabelecida como procedimentos que podem ser efetuados em *objetos* no sistema. Outros trabalhos da literatura também consideram estes atributos apresentados aqui, com as mesmas conotações, para a definição de uma política, como o trabalho de Sarkis (2017).

Outros modelos de políticas, cada um com suas particularidades, são descritos em Lupu e Sloman (1999), também em Sloman e Lupu (2002) e Koch, Mancini e Parisi-Presicce (2002) além de Bui, Stoller e Le (2019) e Dunlop, Indulska e Raymond (2002), mas não serão utilizados neste trabalho conforme já explicitado na seção 2.2.

### 2.2.3 Modelo de Política utilizado

De acordo com Sarkis (2017, p. 36):

Definir uma política de controle de acesso não é uma tarefa simples, principalmente porque algumas vezes é necessário representar formalmente políticas complexas, tais como as que tem origem em práticas de leis e regulamentos organizacionais.

Desta forma, a definição da política deve combinar todos os diferentes regulamentos para ser executada e considerar todas as possíveis ameaças adicionais relativas ao uso de sistemas (VIMERCATI; SAMARATI; JAJODIA, 2005).

O modelo de política utilizado neste trabalho baseia-se inteiramente no paradigma proposto por Sarkis (2017) e Sarkis, Silva e Braga (2016) pelos motivos explicados na seção 2.2. Este padrão é também fundamentado e influenciado nos modelos propostos pelos autores Cuppens, Cuppens-Boulahia e Ghorbel (2007), e no trabalho de Elrakaiby, Cuppens e Cuppens-Boulahia (2012), bem como no artigo de Kalam et al. (2003).

Portanto, conforme Sarkis (2017, p.36) e Sarkis, Silva e Braga (2016):

Uma política é uma tupla da forma:

$$Policy = KP \times Org \times SR \times AA \times OV \times Ac \times Dc \quad (2.1)$$

Onde **KP** descreve o tipo de política (uma proibição (F), da palavra em inglês Forbidden; uma permissão (P); ou uma obrigação (O)). **Org.** relata o local (ambiente) onde a política deve ser cumprida, isto é, a organização na qual os sujeitos devem cumprir a política. **SR** descreve a quem (entidades) se destina a política (pode ser um sujeito  $s \in S$  ou um papel  $r \in R$ , ou seja,  $SR = S \cup R$ ). Um sujeito pode ser um usuário  $u \in U$  ou uma organização  $org \in Org$  representando o grupo de sujeitos que devem cumprir com a política, isto é,  $S = U \cup Org$ ). **AA** identifica uma ação  $a \in A$  ou uma atividade  $act \in Act$  (uma atividade é a união de várias ações relacionadas). **OV** relata um objeto  $o \in O$  ou uma visão  $v \in V$  que está sendo manipulada pela ação/atividade (uma visão é a união de vários objetos). **Ac** é a condição de ativação da política e **Dc** é a condição de desativação da política. Uma condição constitui a configuração para um evento, em termos de que a política deva seguir.

Em Sarkis (2017) foi definido *Ac* e *Dc* como datas, desta forma *Ac* é a data de ativação da política e *Dc* é a data de desativação.

Um exemplo de política, conforme descrita acima é:

[Permitted, UFAC, John Snow, Abertura, Documentos, 03/03/19, 05/09/20]

onde:

- ‘Permitted’ representa o **KP** (tipo de política);
- ‘UFAC’ retrata a **Org** (organização);
- ‘John Snow’ descreve o **SR** (Sujeito ou papel);
- ‘Abertura’ caracteriza a **AA** (Ação ou Atividade);

- ‘Documentos’ corresponde a **OV** (objeto ou visão — vários objetos);
- ‘03/03/19’ representa a **Ac** (condição de ativação);
- ‘05/09/20’ retrata a **Dc** (condição de desativação);

A [Figura 1](#) exemplifica o modelo de políticas utilizadas neste estudo para a mineração de dados e aprendizagem de máquina.

Figura 1 – Modelo das políticas utilizadas no estudo

```
Policie10-> [Permitted, Administrative_Unit, PROTOCOLIZADOR3, Close, ProcessDispatch, Sun Aug 18 20:06:14 BRT 15, Tue Dec 31 20:06:14 BRT 15]
Policie11-> [Permitted, Administrative_Unit, PROTOCOLIZADOR3, Create, ProcessDispatch, Sun Aug 18 20:06:14 BRT 15, Tue Dec 31 20:06:14 BRT 15]
Policie12-> [Permitted, Administrative_Unit, PROTOCOLIZADOR3, Record, ProcessDispatch, Sun Aug 18 20:06:14 BRT 15, Tue Dec 31 20:06:14 BRT 15]

Policie25-> [Forbidden, Institution, null, Record, Process, Sun Aug 18 20:06:14 BRT 15, Tue Dec 31 20:06:14 BRT 15]
Policie26-> [Forbidden, Institution, null, Generate, Process, Sun Aug 18 20:06:14 BRT 15, Tue Dec 31 20:06:14 BRT 15]
Policie27-> [Forbidden, Institution, PROTOCOLIZADOR3, Move, ProcNURCADesp, Sun Aug 18 20:06:14 BRT 15, Tue Dec 31 20:06:14 BRT 15]
Policie28-> [Forbidden, Institution, PROTOCOLIZADOR3, Acess, ProcNURCADesp, Sun Aug 18 20:06:14 BRT 15, Tue Dec 31 20:06:14 BRT 15]
Policie29-> [Forbidden, Institution, PROTOCOLIZADOR3, Record, ProcNURCADesp, Sun Aug 18 20:06:14 BRT 15, Tue Dec 31 20:06:14 BRT 15]

Policie43-> [Obliged, Administrative_Unit, null, Open, Process, Sun Aug 18 20:06:14 BRT 15, Tue Dec 31 20:06:14 BRT 15]
Policie44-> [Obliged, Administrative_Unit, null, Acess, Process, Sun Aug 18 20:06:14 BRT 15, Tue Dec 31 20:06:14 BRT 15]
Policie45-> [Obliged, Administrative_Unit, PROTOCOLIZADOR, Open, Process, Sun Aug 18 20:06:14 BRT 15, Tue Dec 31 20:06:14 BRT 15]
Policie46-> [Obliged, Administrative_Unit, PROTOCOLIZADOR, Acess, Process, Sun Aug 18 20:06:14 BRT 15, Tue Dec 31 20:06:14 BRT 15]
Policie47-> [Obliged, Administrative_Unit, PROTOCOLIZADOR3, Open, Process, Sun Aug 18 20:06:14 BRT 15, Tue Dec 31 20:06:14 BRT 15]
Policie48-> [Obliged, Administrative_Unit, PROTOCOLIZADOR3, Acess, Process, Sun Aug 18 20:06:14 BRT 15, Tue Dec 31 20:06:14 BRT 15]
Policie49-> [Obliged, Administrative_Unit, MARY, Open, Process, Sun Aug 18 20:06:14 BRT 15, Tue Dec 31 20:06:14 BRT 15]
```

Fonte: compilação do autor

Na próxima seção os conceitos de mineração de dados utilizado neste trabalho serão descritos.

## 2.3 Mineração de Dados

Uma das características de nossa era é produção de dados em grande volume, velocidade e variedade de todas as formas, por dispositivos espalhados em toda parte. Entretanto, dados, mesmo em grande quantidade, são apenas dados. É preciso produzir informação e conhecimento para explorar as vantagens que essa massa pode trazer. O dado necessita ser, de alguma forma, analisado, tratado para que informações e conhecimento possam ser, deles, extraídos ([AMARAL, 2016](#)) ([FERRARI; SILVA, 2017](#)).

Conforme [Fayyad, Piatetsky-Shapiro e Smyth \(1996\)](#):

Os computadores permitiram que os humanos coletassem mais dados do que podemos digerir, é natural [,portanto,] recorrer a técnicas computacionais para nos ajudar a desenterrar padrões e estruturas significativas a partir dos numerosos volumes de dados. Por isso, [a mineração de dados] é uma tentativa de resolver um problema que a era da informação digital transformou em realidade para todos nós: sobrecarga de dados.

Para [Silva, Peres e Boscaroli \(2017\)](#), a *mineração de dados* pode ser definida como um processo automatizado ou semiautomatizado de explorar grandes bases de dados de forma extensiva, com o objetivo de encontrar padrões relevantes que ocorrem nos dados e

que sejam significativos para embasar a absorção de informação importante, contribuindo para a geração de conhecimento.

Para Fayyad, Piatetsky-Shapiro e Smyth (1996), o termo “mineração de dados” tem sido usado por estatísticos, analistas de dados e comunidades de sistemas de informações ganhando popularidade no campo do banco de dados. Já o termo *descoberta de conhecimento em bancos de dados* [(KDD, da sigla em Inglês)] foi cunhada para enfatizar que o conhecimento é o produto final de uma descoberta baseada em dados. Está sendo utilizado nos campos de IA e aprendizado de máquina.

### 2.3.1 KDD - Knowledge Discovery in Databases

Assim, a mineração de dados é parte integrante de um processo mais amplo, conhecido como descoberta de conhecimento em bases de dados (*Knowledge Discovery in Databases*, ou *KDD*) (FAYYAD; PIATETSKY-SHAPIRO; SMYTH, 1996).

Embora se use *mineração de dados* como sinônimo de KDD, a terminologia é empregada para a etapa de *descoberta* do processo de KDD, que inclui a *seleção* e *integração* das bases de dados, a *limpeza* da base, a *seleção e transformação* dos dados, a *mineração* (propriamente) e a *avaliação* dos dados (FERRARI; SILVA, 2017) (SILVA; PERES; BOSCAROLI, 2017).

Assim, a mineração de dados é definida em termos de esforços para a descoberta de padrões em bases de dados. A partir destes padrões descobertos, há condições de se gerar conhecimento útil para um processo de tomada de decisão (ou a geração de conhecimento para esta tomada).

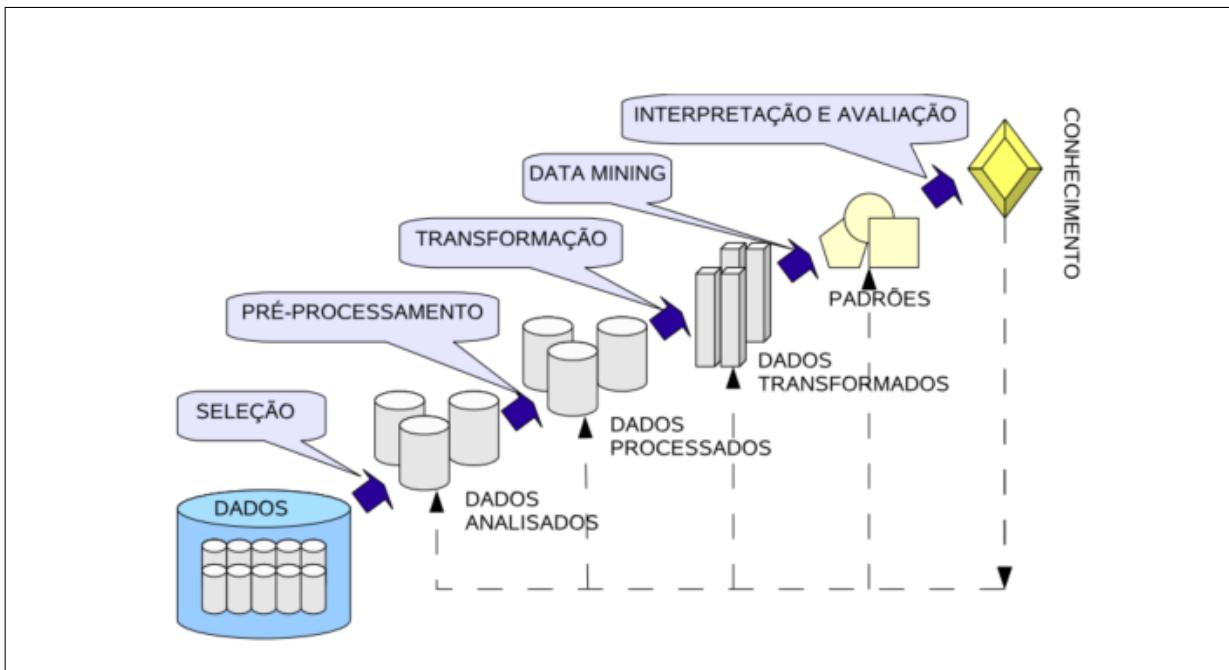
Mais especificamente, KDD (*Knowledge Discovery in Database*) é um processo de busca de conhecimento em bancos de dados e, de modo geral, consiste de uma sequência iterativa de passos (ou **etapas**)<sup>1</sup>: limpeza de dados; integração dos dados; seleção, transformação e mineração dos dados; avaliação dos padrões e apresentação e assimilação do conhecimento. Este processo é iterativo e, em alguma etapa, pode-se voltar para uma anterior (SILVA; PERES; BOSCAROLI, 2017).

A Figura 2 mostra o funcionamento iterativo do processo de KDD (*Knowledge Discovery in Database*) - Descoberta de Conhecimento em Bases de Dados.

Neste trabalho as tarefas de seleção e transformação dos dados farão parte da etapa chamada de pré-processamento de acordo com, Silva, Peres e Boscaroli (2017) e serão descritas com maior riqueza de detalhes no Capítulo 3.

<sup>1</sup> O processo de KDD, segundo (FAYYAD; PIATETSKY-SHAPIRO; SMYTH, 1996) é composto por: *Seleção de dados; Pré-processamento; Transformação; Mineração; Análise e assimilação de resultados*

Figura 2 – Etapas do processo de descoberta do conhecimento em bases de dados - KDD



Fonte: Vasconcelos e Carvalho (2018, p. 7)

### 2.3.2 Modelo de conhecimento

O termo **modelo de conhecimento** (ou hipótese) é utilizado na literatura (e neste trabalho) para fazer referência a um padrão ou conjunto de padrões descobertos (que é, enfim, o *propósito* do processo de KDD). Estes padrões são conhecimentos representados segundo as normas sintáticas de alguma linguagem formal. Estes padrões podem ser classificados em dois tipos: *preditivos* e *descritivos* (FERRARI; SILVA, 2017).

O intuito dos preditivos é resolver um problema específico de prever os resultados ou valores de um ou mais atributos, em função dos valores de outros atributos. Os descritivos (ou informativos) tem o intuito de apresentar informações interessantes e importantes sobre os dados que um especialista de domínio possa não conhecer (Goldschmidt; Passos, 2005).

Modelos de conhecimento compostos exclusivamente por padrões preditivos são chamados de *modelos preditivos*, enquanto que modelos descritivos são modelos de conhecimento compostos tão somente por padrões descritivos (SILVA; PERES; BOSCAROLI, 2017).

Para Minewiskan (2020),

Um modelo de mineração é criado aplicando-se um algoritmo a dados, mas é mais que um algoritmo ou um contêiner de metadados: é um conjunto de dados, estatísticas e padrões que podem ser aplicados a novos dados para gerar previsões e fazer inferências sobre relações.

Neste contexto, este trabalho se concentra, portanto, em criar modelos de forma a

detectar, mediante o uso de técnicas da mineração de dados (e aprendizagem de máquina) os conflitos entre as políticas de controle de acesso de um sistema. Diversos modelos serão desenvolvidos e confrontados usando-se vários algoritmos e técnicas analisados com métricas específicas.

### 2.3.2.1 Arquitetura do modelo

Segundo [Minewiskan \(2020\)](#), “Um modelo de mineração obtém dados de uma estrutura de mineração e analisa esses dados usando um algoritmo de mineração de dados”. Entretanto, é importante diferenciar a estrutura e o modelo de mineração. Ainda de acordo com [Minewiskan \(2020\)](#), a *estrutura* armazena informações que definem a fonte de dados, já um *modelo* de mineração armazena informações derivadas do processamento estatístico dos dados, como padrões encontrados em decorrência da investigação.

Assim, o modelo fica “limpo” até que os dados que foram guarneados pela estrutura de mineração sejam processados e avaliados. Depois de produzido o modelo contém *metadados*, resultados e associações e pode, então, ser utilizado para a obtenção de conhecimento.

A arquitetura pode conter também, variáveis, *hiperparâmetros*, definições do modelo, filtros utilizados e, claro, o algoritmo utilizado na tarefa de análise dos dados ([ACADEMY, 2020](#)).

## 2.4 Aprendizagem de máquina

Segundo [Goldschmidt e Passos \(2005\)](#), p. 10),

um dos passos do processo de KDD, o de extração de padrões (ou Mineração de Dados) utiliza métodos de Aprendizado de Máquina (AM) [ou *Machine Learning* - ML] para encontrar regularidades, padrões ou conceitos em conjuntos de dados.

A principal diferença, segundo os autores, [Goldschmidt e Passos \(2005\)](#) entre Aprendizagem de Máquina e KDD reside no fato de “grande parte da literatura em AM se concentra apenas no mecanismo de descoberta de padrões e/ou conceitos, sem se preocupar com o grau de utilidade”. Já em KDD, ainda segundo [Goldschmidt e Passos \(2005\)](#), “os padrões extraídos são avaliados para aferir sua utilidade para o usuário em relação à tomada de decisão”. Ou seja, o aprendizado na Aprendizagem de Máquina é um atividade-fim enquanto o aprendizado no KDD é uma atividade-meio para a obtenção do conhecimento.

### 2.4.1 Definição

Aprendizado de máquina ou *machine learning* é um braço da Inteligência Artificial que emprega técnicas e algoritmos na criação de modelos computacionais dos quais a característica principal é a capacidade de descobrir padrões em um grande volume de dados ou de melhorar o desempenho de uma determinada tarefa através da experiência (do *reforço*) (MOHRI; ROSTAMIZADEH; TALWALKAR, 2018) (ALPAYDIN, 2014) (SWAMYNATHAN, 2019)

Então, de acordo com Baeza-Yates e Ribeiro-Neto (2013, p. 278), “os padrões aprendidos, que podem ser bem complexos, são então usados para fazer previsões relativas a dados ainda não vistos e novos”.

Nas palavras de Arthur Lee Samuel Wiederhold e McCarthy (1992), considerado um dos pioneiros na área de inteligência artificial, aprendizado de máquina é “o campo de estudo que dá aos computadores a capacidade de aprender sem serem explicitamente programado” (SIMON, 2013, p. 89).

Aprendizado de máquina tem sido aplicado na automatização de funções que para os humanos são executadas intuitivamente, mas que são difíceis de definir formalmente (SARKAR; BALI; SHARMA, 2017).

Assim, de forma geral, a aprendizagem de máquina tem por objetivo estudar e desenvolver métodos computacionais para obter sistemas capazes de adquirir conhecimento de forma automatizada (LIMA; PINHEIRO; SANTOS, 2016).

A capacidade de determinados algoritmos de aprender a partir de exemplos é chamado de **aprendizado indutivo**. Estes algoritmos aprendem relacionamentos eventualmente existentes entre os dados, mostrando o resultado nos modelos de conhecimento gerado (Goldschmidt; Passos, 2005) (ALPAYDIN, 2014).

Conforme Baeza-Yates e Ribeiro-Neto (2013, p. 279), os algoritmos de aprendizado de máquina “são fundamentalmente dependentes de uma fase de aprendizado, a qual é usada para produzir um modelo ou uma função que codifica padrões presentes nos dados de entrada”.

Então, dependendo de qual é a abordagem de aprendizado usada, os algoritmos de aprendizado de máquina podem ser, basicamente de 3 principais tipos, que são: a aprendizagem supervisionada, a aprendizagem não-supervisionada e a aprendizagem por reforço<sup>2</sup> (RUSSELL; NORVIG, 2013) (BAEZA-YATES; RIBEIRO-NETO, 2013).

Na **aprendizagem não-supervisionada** o modelo/hipótese busca padrões na entrada, embora não seja fornecido nenhum *feedback* explícito. Portanto, na abordagem

<sup>2</sup> Há ainda os tipos de aprendizado *semissupervisionado* e a *transdução* (ou inferência transdutiva) que não serão discutidos neste trabalho

não-supervisionada não há, nos dados, uma classe, não há um rótulo prévio, ou seja, não existe a informação da saída desejada. O processo de aprendizado busca identificar regularidades entre os dados e não é necessária a divisão prévia dos dados em dados de treinamento, validação e teste. A tarefa mais comum de aprendizagem não supervisionada é o agrupamento. mas, os algoritmos de aprendizagem não-supervisionada incluem ainda, modelos de redes neurais, análise de componentes independentes e o já citado *clustering* (agrupamento) (RUSSELL; NORVIG, 2013) (SILVA; PERES; BOSCAROLI, 2017) (Goldschmidt; Passos, 2005) (AMARAL, 2016).

Na **aprendizagem supervisionada** o modelo/hipótese observa alguns exemplos de pares de entrada e saída, e aprende uma função (ou modelo) que faz o mapeamento entre a entrada e a saída. Portanto, ela compreende a abstração de um modelo a partir dos dados apresentados na forma de pares ordenados (*entrada, saída, saída desejada*). Há, assim, uma *classe*, ou um atributo especial com o qual se pode comparar e validar o resultado. Esta categoria de aprendizagem de máquina requer uma função de aprendizado dos dados de treinamento fornecidos como entrada. Esses dados, então, são usados para aprender uma função de classificação que pode, assim, ser usada para realizar previsões de classes para dados ainda não vistos ou novos (RUSSELL; NORVIG, 2013) (LUGER, 2015) (BAEZA-YATES; RIBEIRO-NETO, 2013).

Na **aprendizagem por reforço**, aprende-se a partir de uma série de reforços — recompensas ou punições. Não está disponível, geralmente, na aprendizagem por reforço, para o algoritmo de aprendizado de máquina, um conjunto de dados para treinamento. O aprendizado se dá, então, pela interação com o ambiente que se deseja atuar por um determinado período com o objetivo de melhorar o desempenho de uma determinada tarefa (RUSSELL; NORVIG, 2013) (AMARAL, 2016) (SILVA, 2019).

## 2.5 Algoritmos de classificação

A classificação é considerada uma das tarefas principais do processo de aprendizagem de máquina, sendo, inclusive, a tarefa mais comum (AMARAL, 2018) (FAYYAD; PIATETSKY-SHAPIRO; SMYTH, 1996).

Segundo, Amaral (2018, p. 86), “Na classificação, os dados devem possuir uma *classe* a qual queremos prever”. Conforme Rocha et al. (2012), “o termo *classe* deve ser usado quando existe informação sobre quantas e quais são as partições presentes em um conjunto de dados, bem como qual exemplar pertence a qual partição”.

Comumente, denomina-se *classificação* o processo pelo qual se determina uma função de mapeamento capaz de indicar a qual classe pertence algum exemplar de um domínio sob análise, baseando-se em um conjunto já classificado (SILVA; PERES; BOSCAROLI, 2017).

Assim, de acordo com [Kesavaraj e Sukumaran \(2013\)](#), classificação é uma técnica de mineração de dados (aprendizado de máquina) usada para prever a associação ao grupo para instâncias de dados. É, segundo [Amaral \(2016\)](#) e [Shazmeen, Mustafa e Baig \(2013\)](#), como citado anteriormente, a tarefa mais utilizada em mineração de dados. Além de ser a mais complexa e a que possui a maior quantidade de algoritmos disponíveis, conforme descrito em [Kesavaraj e Sukumaran \(2013\)](#).

A classificação é uma das tarefas *preditivas* de Mineração de Dados e aprendizado de máquina. Tarefas de predição consistem na análise de um *dataset* (conjunto de dados), descritos por atributos e rótulos associados com o objetivo de descobrir um **modelo** capaz de mapear corretamente cada um dos dados a seus rótulos apropriadamente. Esse objetivo é alcançado por meio de técnicas, normalmente, chamadas de supervisionadas. Este tipo de análise preditiva pode ser dividida em *categórica*, também chamada de *classificação* ou em *numérica*, também chamada de regressão. Cf. [Silva, Peres e Boscarioli \(2017\)](#) e [Kesavaraj e Sukumaran \(2013\)](#), também exposto em [Ferrari e Silva \(2017\)](#) e [Goldschmidt e Passos \(2005\)](#).

Formalmente, a tarefa de classificação pode ser descrita como a busca por uma função de mapeamento para um conjunto  $X$  de vetores de entrada (ou, exemplares — os dados)  $\vec{x}_i \in E^d$  para um conjunto finito de rótulos  $C$  de cardinalidade  $c$ . A função  $F$  é, então, definida como  $F : E^d \times W \rightarrow C$ , em que  $d$  é a dimensão do espaço  $E$ , ou seja, a quantidade de coordenadas do vetor  $\vec{x}_i$ , e  $W$  é um espaço de parâmetros ajustáveis por meio do algoritmo de indução supervisionada ([SILVA; PERES; BOSCAROLI, 2017](#)).

Pode ser dividida em, ao menos, duas categorias: *classificação binária* e *classificação multiclasse*. Na binária, a cardinalidade  $c$  é 2. Para o caso em que  $c > 2$ , o problema é considerado de múltiplas classes ([SILVA; PERES; BOSCAROLI, 2017](#)) ([KESAVARAJ; SUKUMARAN, 2013](#)).

Os textos de [Kesavaraj e Sukumaran \(2013\)](#), [Shazmeen, Mustafa e Baig \(2013\)](#), além dos de [Wolpert \(1996\)](#), [Kumar \(2012\)](#) e [Al-Radaideh e Nagi \(2012\)](#) trazem mais análises, técnicas, comparações e explicações mais aprofundadas de muitos algoritmos de classificação, entre eles, árvores de decisão, k-vizinhos mais próximos, Naive Bayes e Redes Bayesianas, Redes Neurais Artificiais, Máquinas de Vetores de Suporte (SVM) entre outros.

### 2.5.1 Teoria da aprendizagem e algoritmos de classificação

Sobre *teoria da aprendizagem* e *algoritmos de classificação* há uma discussão em [Russell e Norvig \(2013\)](#) sobre qual seria, em relação às hipóteses de modelos de aprendizagem, aquela (ou aquelas) que melhor se ajuste aos dados futuros. Os autores citam a *suposição de estacionariedade*, ou seja, que há uma distribuição de probabilidade

sobre os dados que permanece estacionária ao longo do tempo. Supõe-se, portanto que cada exemplo de ponto de dados (antes de conhecê-lo) é uma variável aleatória  $E_j$  cujo valor observado  $e_j = (x_j, y_j)$  é amostrado da distribuição e é independente dos exemplos anteriores.

Assim:

$$P(E_j|E_{j-1}, E_{j-2}, \dots) = P(E_j), \quad (2.2)$$

e cada exemplo tem uma distribuição de probabilidade anterior idêntica:

$$P(E_j) = P(E_{j-1}) = P(E_{j-2}) = \dots \quad (2.3)$$

Estes exemplos são chamados de *independentes e identicamente distribuídos* ou **i.i.d.** Esta suposição é, segundo os autores, necessária para *tentar a previsão sobre o futuro dos dados*. Há claro, ainda em [Russell e Norvig \(2013\)](#), um alerta sobre o fato de ser possível a aprendizagem ocorrer caso haja pequenas alterações (lentas) na distribuição.

Outro fato importante para a definição e avaliação da escolha da melhor hipótese (modelo) de um algoritmo de classificação é definir o “melhor ajuste”. Em seu conhecido livro de Inteligência Artificial, os autores [Russell e Norvig \(2013\)](#) definem a **taxa de erro** de uma hipótese como uma métrica importante para definir o “melhor ajuste” de um modelo/hipótese.

### 2.5.2 Taxa de erro

A taxa de erro é, assim, a proporção de erros que o algoritmo classificador comete — a proporção de vezes que  $h(x) \neq y$  para o exemplo  $(x, y)$  — sendo  $h(x)$  a função que mapeia uma *hipótese/modelo*  $h$  com a *previsão/valor* conhecido  $y$ . Nem sempre, como alerta, [Russell e Norvig \(2013\)](#), uma hipótese/modelo  $h$  que tenha uma taxa de erro baixa no conjunto de treinamento generaliza bem e se comporta eficientemente para dados não conhecidos. A forma de testar o algoritmo é importante. Para isso há, na literatura, algumas técnicas que são utilizadas como estratégia de treinamento, validação e teste.

### 2.5.3 Estratégias de validação

Como citado por [Russell e Norvig \(2013\)](#) e [Luger \(2015\)](#) entre diversos autores e, cf. [Silva, Peres e Boscaroli \(2017, p. 125\)](#),

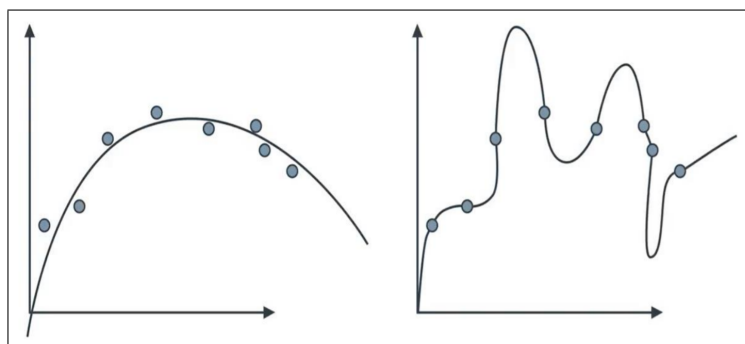
independentemente da medida de avaliação a ser usada para atestar a qualidade de um modelo, não é adequado avaliá-lo [apenas] por seu desempenho em relação aos exemplares apresentados no processo de treinamento (indução). É sempre necessário saber como o modelo se comporta quando aplicado a exemplares que ainda não conhece, ou seja, não usados no processo de sintonização de seus parâmetros.

Essa observação, claro, é porque modelos preditivos, dependendo de como são criados, podem levar ao ***overfitting*** (sobreajuste). O fenômeno do sobreajuste ocorre, cf. Silva, Peres e Boscarioli (2017) “quando o modelo preditivo é gerado de forma a representar os exemplares usados para sua geração com uma fidelidade mais alta que o necessário”.

Assim, modelos sobreajustados (ou superajustados) não são capazes de realizar previsões adequadas para dados novos. Busca-se, na construção de modelos preditivos, uma maior *generalização* e no caso do sobreajuste o fenômeno contrário ocorre.

A maior causa de sobreajuste é quando os dados de treinamento não representam fielmente os dados novos (ou de produção) ou por serem diferentes (caso de dados antigos, por exemplo) ou por não serem significativos (poucos dados)<sup>3</sup>. A Figura 3 mostra um modelo preditivo em que o lado direito representa um modelo sobreajustado e o lado esquerdo um modelo regularizado<sup>4</sup> para o mesmo *dataset*.

Figura 3 – Modelo sobreajustado e regularizado para o mesmo *dataset*.



Fonte: baseado no encontrado em Kasturi (2019)

Nas palavras de Amaral (2018, p. 95), “o processo de construção de um modelo de aprendizado de máquina busca, obviamente, maximizar a precisão e minimizar a taxa de erros”. Para tanto, a literatura cita diversas técnicas e estratégias para a avaliação de modelos preditivos. Autores diversos, como Silva, Peres e Boscarioli (2017), Amaral (2016), além de Grus e Nascimento (2016) e Ferrari e Silva (2017) citam, geralmente, como estratégia de treinamento, validação e teste as seguintes técnicas:

- Resubstituição;
- Holdout;
- Validação cruzada;
- Bootstrap;

<sup>3</sup> é possível também o sobreajuste devido a *ruídos* nos dados, pelo uso de um modelo de forma inapropriada ou de uma *classe rara* Amaral (2016, p.35)

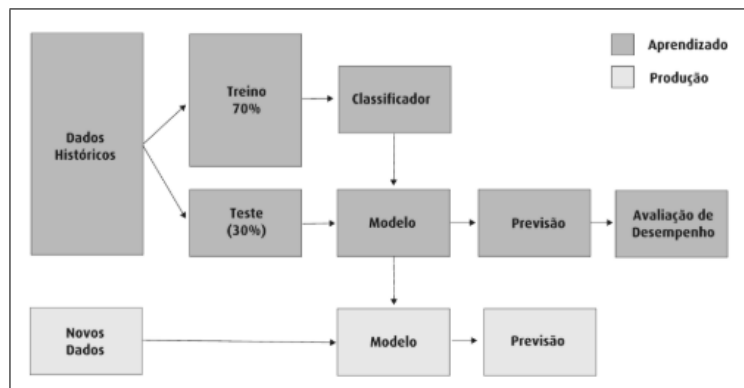
<sup>4</sup> As técnicas de ***regularização*** são usadas para reduzir o overfitting. As técnicas mais utilizadas são o decaimento de pesos (weight decay) ou regularização L2 e o custo quadrático. (ACADEMY, 2020).

Na **resubstituição**, segundo Silva, Peres e Boscarioli (2017), as medidas de avaliação dos classificadores são aplicadas no próprio conjunto de dados usados para indução do modelo. Essa técnica, embora tenha alguns vantagens discutidas em Ferrari e Silva (2017) e Silva, Peres e Boscarioli (2017), pode levar ao, já citado, sobreajuste (*overfitting*) e é discutido em Grus e Nascimento (2016), também em Amaral (2016) e Russell e Norvig (2013). Como já afirmado anteriormente, o sobreajuste é quando se produz um modelo de bom desempenho com os dados de treinamento, mas que não lida bem com novos dados.

Na técnica de **Holdout**, pressupõem-se uma divisão, ou criação de dois subconjuntos de dados distintos, a partir do conjunto de dados disponível pra uso na indução do modelo/hipótese. Um desses subconjuntos será usado para treinamento (indução) do modelo de previsão e o segundo, para teste após o término do treinamento e, consequentemente, na aplicação das medidas de avaliação do modelo/hipótese (SILVA; PERES; BOSCARIOLI, 2017)

A Figura 4 mostra o funcionamento da técnica de holdout de forma mais detalhada.

Figura 4 – Funcionamento da técnica holdout.



Fonte:(AMARAL, 2016)

Na estratégia de **validação cruzada**, todos os dados farão parte, em algum momento, do conjunto de dados usado no teste do modelo/hipótese. A ideia é que cada exemplo sirva duplamente — como dados de treinamento e dados de teste. Primeiro divide-se o conjunto em  $k$  subconjuntos iguais. Em seguida realiza-se  $k$  rodadas de aprendizagem; em cada iteração  $\frac{1}{k}$  dos dados é retido como conjunto de teste e os exemplos restantes são usados como treinamento.

Valores populares de  $k$  são 5 e 10 — o suficiente para uma estimativa estatisticamente provável que seja precisa a um custo 5-10 vezes maior no tempo de computação. Há também o extremo de  $k = n$ , também conhecido como **validação cruzada com omissão de um**. O método de validação cruzada permite que o modelo/hipótese seja avaliado uma série de vezes, cada série sendo conhecida como partição (ou *fold*). Ao final, a avaliação pode ser realizada aplicando medidas estatísticas como média, desvio-padrão e

intervalo de confiança ao conjunto de  $k$  avaliações obtidas ou somando-se os desempenhos obtidos pelos  $k$  modelos gerados e dividindo essa soma pelo número de exemplares original (RUSSELL; NORVIG, 2013)(SILVA; PERES; BOSCAROLI, 2017)(FERRARI; SILVA, 2017) (AMARAL, 2016).

A Figura 5 mostra um exemplo didático de como funciona a validação cruzada. Os dados que não fazem parte do conjunto de teste em cada rodada são utilizados no treinamento.

Figura 5 – Funcionamento da técnica *cross validation*



Fonte: (GUFOSSOWA, 2019)

Já a técnica de ***Bootstrap*** funciona de forma parecida à estratégia *holdout*. Ela também usa dois conjuntos, um de treinamento e outro para teste, porém durante o processo de formação dos subconjuntos, exemplares que já foram sorteados podem novamente serem contemplados, com probabilidade igual. É uma estratégia que permite, portanto, a reposição.

Neste trabalho, todos os algoritmos de classificação usados foram testados usando as técnicas de resubstituição, *holdout* (com taxas de 70-30, 75-25 e 60-40), além de *cross-validation* com 3, 5 e 10 folds.

Como explicado em Wolpert e Macready (1995) e Wolpert (1996) não existe um algoritmo de aprendizado superior a todos os demais quando considerados todos os problemas de classificação possíveis (teorema NFL, ou *No Free Lunch*), portanto, variações foram executadas nos experimentos em todas técnicas avaliadas, alterando-se os padrões para chegar a métricas e medidas de avaliação mais eficientes.

#### 2.5.3.1 Medidas de avaliação

Para Castro e Braga (2011),

Tradicionalmente, a métrica usada na avaliação e seleção de modelos de classificação é a acurácia (ou taxa de erro) estimada em relação a um dado conjunto de teste. Essa metodologia é justificada pela formulação padrão do problema do aprendizado supervisionado que visa a minimização da probabilidade do erro global.

Há, porém, conforme Silva, Peres e Boscarioli (2017), Amaral (2016), Kesavaraj e Sukumaran (2013) e Kumar (2012) diversas medidas usadas na avaliação de classificadores.

A que será usada neste trabalho (com o objetivo de minimizar a probabilidade do erro global) é a, já citada, acurácia ou taxa de classificações corretas.

A métrica acurácia é dada, portanto, por:

$$\text{Acurácia} = |y - f(\mathbb{N}) = 0|, \quad (2.4)$$

em que  $|equação|$  representa a contagem de vezes em que *equação* é verdadeiro,  $f$  é o modelo preditivo,  $\mathbb{N}$  é o subconjunto de dados sob o qual o modelo está sendo avaliado,  $f(equação)$  é a classificação fornecida pelo modelo preditivo para cada um dos exemplares (dos dados), e  $y$  é a classe esperada como resposta cf. Silva, Peres e Boscarioli (2017, p. 129).

A acurácia de um classificador também pode ser descrita em termos do **erro de generalização**  $\xi_g$ , e uma função de perda binária e, portanto, ser interpretada como a probabilidade de ocorrer uma classificação correta. Dessa forma:

$$\text{Acurácia}_g = 1 - \xi_g \quad (2.5)$$

Ou seja, a acurácia é, basicamente o número de acertos (positivos) dividido pelo número total de exemplos. Será a métrica mais usada para avaliar os classificadores neste trabalho.

Há, entretanto, em modelos preditivos que trabalham com dados numéricos (como as redes neurais e o SVM), pode-se utilizar uma função de perda contínua, capaz de medir o erro entre a resposta obtida pelo modelo preditivo e a resposta aguardada (SILVA; PERES; BOSCAROLI, 2017) (ACADEMY, 2020).

A função de perda também é conhecida, popularmente, como função de custo. Basicamente ela é a diferença entre os valores de rótulo de treinamento e a previsão feita pelo modelo. Os parâmetros do modelo devem, assim, serem estimados em relação à minimização da função de perda. Classificadores diferentes podem ser configurados com funções de perda diferentes. (REED; MARKSII, 1999) (MINEWISKAN, 2020) (SILVA, 2016) (SILVA; PERES; BOSCAROLI, 2017) (Goldschmidt; Passos, 2005) (GÉRON, 2019) (ACADEMY, 2020)

Para Reed e MarksII (1999)

A função de custo reduz todos os aspectos bons e ruins de um sistema complexo a um único número, um valor escalar, o que permite ranquear e comparar as soluções candidatas.

Algumas funções de perda (*loss functions*), comuns, neste contexto são, de acordo com Silva, Peres e Boscarioli (2017):

$$\text{Erro absoluto} = \sum_{\langle \vec{x}_i, y_i \rangle \in \aleph} |y_i - f(\vec{x}_i)| \quad (2.6)$$

$$\text{Erro quadrático} = \sum_{\langle \vec{x}_i, y_i \rangle \in \aleph} (y_i - f(\vec{x}_i))^2 \quad (2.7)$$

$$\text{Erro absoluto médio} = \sum_{\langle \vec{x}_i, y_i \rangle \in \aleph} |y_i - f(\vec{x}_i)|/m \quad (2.8)$$

$$\text{Erro médio quadrático} = \sum_{\langle \vec{x}_i, y_i \rangle \in \aleph} (y_i - f(\vec{x}_i))^2/m \quad (2.9)$$

Onde  $m$  é a quantidade de instâncias existentes em  $\aleph$ .

Silva, Peres e Boscarioli (2017), Amaral (2018) além de Deng et al. (2016) e Ruuska et al. (2018) afirmam que é importante analisar o tipo de erro que o modelo está cometendo e, principalmente, no caso de classificadores binários, é possível observar que, mesmo com uma acurácia alta o classificador pode não estar respondendo de forma adequada.

Para realizar esse tipo de análise, os autores citados no princípio deste parágrafo, citam que uma ferramenta adequada é a **matriz de confusão**.

Geralmente, uma matriz de confusão tem dimensões  $C \times C$ , em que  $C$  é o número de classes presentes no problema de classificação que está sendo avaliado. As linhas dessa matriz são indexadas seguindo as “classes esperadas” ( $y$ ), e as colunas seguindo as “classes preditas” ( $f(x)$  ou  $\hat{y}$ ).

Cada célula é um contador que é incrementado a depender do resultado da comparação de  $f(x)$  e  $y$ . As respostas corretas do modelo geram os valores que entram na diagonal principal da matriz (SILVA; PERES; BOSCAROLI, 2017, p. 130).

A Figura 6 demonstra o procedimento de preenchimento de uma matriz de confusão conforme a resolução de um problema hipotético de classificação.

Matrizes de confusão são, cf. Ruuska et al. (2018) e Silva, Peres e Boscarioli (2017), particularmente úteis para avaliação de classificadores binários. Neste caso, os valores são atribuídos conforme ilustrado na figura (neste caso, as duas classes estão definidas como “classe positiva” e “classe negativa”).

Cada célula, neste caso, possui o seguinte significado:

- Verdadeiro Positivo (VP): classificação correta na classe positiva. A instância pertence à classe positiva e o modelo classificou na classe positiva.

Figura 6 – Preenchimento de uma matriz de confusão

Problema sob resolução		Classe Esperada (y)	Classe Predita ( $f(x)$ )		
$f(x)$	y		Classe 1	Classe 2	Classe 3
1	1		3	1	1
1	1			3	1
1	1				1
2	1				
2	2				
2	2				
3	1				
3	2				
3	3				

Fonte: Silva, Peres e Boscarioli (2017, p. 130)

Figura 7 – Matriz de confusão para o caso de um classificador binário

		<i>Classe Predita(<math>f(x)</math>)</i>	
		<i>positivo</i>	<i>negativo</i>
<i>Classe Esperada (y)</i>	<i>positivo</i>	<i>Verdadeiros Positivos (VP)</i>	<i>Falsos Negativos (FN)</i>
	<i>negativo</i>	<i>Falsos Positivos (FP)</i>	<i>Verdadeiros Negativos (VN)</i>

Fonte: Silva, Peres e Boscarioli (2017, p. 131)

- Falso Positivo (FP): classificação incorreta na classe negativa. A instância pertence à classe negativa, mas o classificador a classificou como pertencente à classe positiva.
- Verdadeiro Negativos (VN): classificação correta na classe negativa. A instância pertence a classe negativa e o modelo classificou na classe negativa.
- Falso Negativo (FN): classificação incorreta na classe negativa. Classificação incorreta na classe negativa. A instância pertence à classe positiva, mas o classificador a classificou como pertencente à classe negativa.

Os algoritmos que serão descritos nas próximas seções foram escolhidos neste trabalho porque foram descritos por Wu et al. (2007) como alguns dos principais na área da Mineração de Dados e são reconhecidos por serem utilizados em diversos outros trabalhos.

## 2.6 Naïve Bayes

Os algoritmo Naïve Bayes é um classificador probabilístico baseado na aplicação do Teorema de Bayes<sup>5</sup>. É um dos mais utilizados em tarefas de classificação por apresentar bom desempenho em problemas de classificação tanto com dados categóricos quanto com dados numéricos. (SILVA; PERES; BOSCAROLI, 2017) (AMARAL, 2018) (Goldschmidt; Passos, 2005) (BRUCE; BRUCE, 2019).

Recebe o nome de “ingênuo” (naïve) porque ele considera como hipótese que os atributos previsores são *estaticamente independentes* entre si, o que, em muitos casos práticos, não ocorre. Entretanto, a prática mostra que o classificador é efetivo mesmo em casos em que os atributos previsores não são estaticamente independentes. (SILVA; PERES; BOSCAROLI, 2017) (Goldschmidt; Passos, 2005) (BRUCE; BRUCE, 2019).

Portanto, o Naïve Bayes usa a probabilidade de observação dos valores previsores, dado um resultado, para estimar a probabilidade de observar o resultado  $Y = i$ , dado um conjunto de valores preditores. Usa a probabilidade posterior que é a probabilidade de um resultado após a informação preditora ter sido incorporada.

A classificação usando o algoritmo Naïve Bayes funciona da seguinte forma (usando todo o conjunto de dados para prever os resultados) (BRUCE; BRUCE, 2019):

1. Para uma resposta binária  $Y = i$  ( $i = 0$  ou  $1$ ), é estimada as probabilidades condicionais individuais para cada preditor  $P(X_j|Y) = i$ ; estas são as probabilidades de o valor previsor estar no registro quando se observa  $Y = i$ . Essa probabilidade é estimada pela proporção de valores  $X_j$  entre os registros  $Y = i$  no conjunto de treinamento;
2. Essas probabilidades são multiplicadas uma pela outra, e então pela proporção de registros pertencentes a  $Y = i$ ;
3. Os passos 1 e 2 são repetidos para todas as classes;
4. É estimado uma probabilidade para o resultado  $i$  assumindo o valor calculado no passo 2 para cada classe  $i$  e dividindo-o pela soma de tais valores para todas as classes;
5. É atribuído o registro à classe com a maior probabilidade para esse conjunto de valores preditores.

<sup>5</sup> Criado por Thomas Bayes (1701-1761), usa a probabilidade condicional que é a probabilidade de se observar algum evento (por exemplo  $X = i$ ) dado algum outro evento (por exemplo,  $Y = i$ ), escrito como  $P(X_i|Y_i)$  (BRUCE; BRUCE, 2019)

O algoritmo pode, também, ser escrito como uma equação para a probabilidade de se observar um resultado  $Y = i$ , dado um conjunto de valores previsores  $X_1, \dots, X_p$ :

$$P(X_1, X_2, \dots, X_p) \quad (2.10)$$

O valor da Equação 2.10 é um fator de escalonamento para a garantia de que a probabilidade esteja entre 0 e 1 e não dependa de:

$$\begin{aligned} P(X_1, X_2, \dots, X_p) &= P(Y = 0)(P(X_1|Y = 0)P(x_2|Y = 0)\dots P(X_p|Y = 0)) + P(Y = 1) \\ &\quad (P(X_1|Y = 1)P(X_2|Y = 1)\dots P(X_p|Y = 1)) \end{aligned} \quad (2.11)$$

Segundo Bruce e Bruce (2019), o Naïve Bayes “é conhecido por produzir estimativas enviesadas. No entanto, no que o objetivo seja *ordenar* os registros conforme a probabilidade de  $Y = 1$ , as estimativas de probabilidade não enviesadas não são necessária” e o classificador produz bons resultados.

## 2.7 K-NN — K-vizinhos mais próximos

O algoritmo KNN, ou ***k*-vizinhos mais próximos** é um método de classificação supervisionada que serve para estimar a função de densidade  $F(x/C_j)$  dos atributos previsores  $x$  para cada classe  $C_j$ . É um método estatístico não-paramétrico<sup>6</sup>. (SILVA; PERES; BOSCAROLI, 2017) (Goldschmidt; Passos, 2005)

É usado para classificação e regressão. Ele estima o valor da função de densidade de probabilidade diretamente da probabilidade *a posteriori* de que um elemento  $x$  pertença a uma classe  $C_j$  a partir da informação proporcionada pelo conjunto de treinamento. (SILVA; PERES; BOSCAROLI, 2017) (BRUCE; BRUCE, 2019).

No processo de aprendizagem, nenhuma suposição é feita sobre a distribuição das variáveis previsoras (por isso ele é *não-paramétrico*). (SILVA; PERES; BOSCAROLI, 2017) (Goldschmidt; Passos, 2005) (WU et al., 2007) (BRUCE; BRUCE, 2019).

É um estilo de processamento conhecido como “avaliação preguiçosa” (*lazy evaluation*) já que não existe um trabalho prévio de análise e construção de um modelo de classificação (pois o mesmo é baseado nas instâncias existentes — o que pode, dispensar muito tempo dependendo do tamanho do *dataset* (conjunto de dados) disponível para o treinamento. (SILVA; PERES; BOSCAROLI, 2017).

<sup>6</sup> o termo estatística não-paramétrica designa-se a estatísticas que não possuem dados ou população com estruturas ou parâmetros característicos ou é definido como uma função de uma amostra que não tem dependência de parâmetros (BRUCE; BRUCE, 2019)

Segundo (Goldschmidt; Passos, 2005), “o K-NN considera que os registros do conjunto de dados correspondem a pontos no  $R^n$ , em que cada atributo corresponde a uma dimensão deste espaço”.

E prossegue: Goldschmidt e Passos (2005, p. 117 e 118)

No método k-NN, o conjunto de dados é armazenado. Quando um novo registro deve ser classificado, este registro é comparado a todos os registros do conjunto de treinamento para identificar  $k$  vizinhos mais próximos, *i.e.*, mais semelhantes, de acordo com alguma métrica. A classe do novo registro é determinada por inspeção das classes desses vizinhos mais próximos, de acordo com a métrica selecionada. A resposta do método é a classe mais frequente entre os vizinhos mais próximos.

É, desta forma, um aprendizado baseado em instâncias (*instance-based learning*) já que a classificação de um exemplar cuja classe é desconhecida é realizada a partir da comparação desse exemplar com aqueles que possuem uma classe já conhecida. (SILVA; PERES; BOSCAROLI, 2017, p. 80). A padronização (mostrada em Equação 3.1) pode melhorar consideravelmente a exatidão e precisão do algoritmo. (BRUCE; BRUCE, 2019).

Os exemplos de treinamento são vetores em um espaço de característica multi-dimensional, cada exemplo é descrito em termos de  $p$  atributos considerando  $q$  classes para classificação. Os valores de atributo para a  $i$ -ésimo instância (onde  $1 \leq i \leq n$ ) são representados pelo vetor  $p$ -dimensional: (BRUCE; BRUCE, 2019) (ALPAYDIN, 2014) (KESAVARAJ; SUKUMARAN, 2013).

$$x_i = (x_{1i}, x_{2i}, \dots, x_{pi}) \in X \quad (2.12)$$

Embora o processo possa ser custoso, dependendo do tamanho do conjunto de dados de treinamento, a lógica que o implementa é simples: (SILVA; PERES; BOSCAROLI, 2017) (BRUCE; BRUCE, 2019) (Goldschmidt; Passos, 2005)

Considerando um conjunto de dados de um problema de classificação e um novo registro a ser classificado. Considere também que foi definido um valor para a quantidade de vizinhos a ser examinada, ou seja, o valor do parâmetro  $k$ . Sendo assim, o algoritmo k-NN segue os passos subsequentes:

1. Cálculo da distância da nova instância (do novo registro) para cada uma das instâncias existentes no conjunto de dados;
2. Identificação daquelas  $k$  instâncias do conjunto de dados que apresentaram a menor distância em relação ao novo registro (ou seja, os mais similares);
3. Verificação da classe mais frequente entre os  $k$  registros identificados no passo anterior;

4. Atribuir à nova instância esta classe.

Há, na literatura, várias formas de medir distâncias entre duas instâncias sendo a escolha de qual usar variando de acordo com o problema. As principais métricas de distância são: (SILVA; PERES; BOSCAROLI, 2017) (ALPAYDIN, 2014) (KESAVARAJ; SUKUMARAN, 2013)

- Euclidiana;
- Minkowsky;
- Chebishev;
- Manhattan.

A distância Euclidiana é dada por:

$$D_E(p, q) = \sqrt{(p_1 - q_1)^2 + \cdots + (p_n - q_n)^2} = \sqrt{\sum_{i=1}^n (p_i - q_i)^2} \quad (2.13)$$

É a mais utilizada por representar a distância física entre pontos em um espaço  $d$ -dimensional.

A de Minkowski é dada por:

$$D_M(p, q) = \left( \sum_{i=1}^n |p_i - q_i|^r \right)^{\frac{1}{r}} \quad (2.14)$$

A distância de Minkowski é uma métrica para o espaço Euclidiano que serve de generalização para outras distâncias, como a própria Euclidiana e a Manhattan.

A distância de Chebyshev é dada por:

$$D_C(p, q) = \max_i(|p_i - q_i|) \quad (2.15)$$

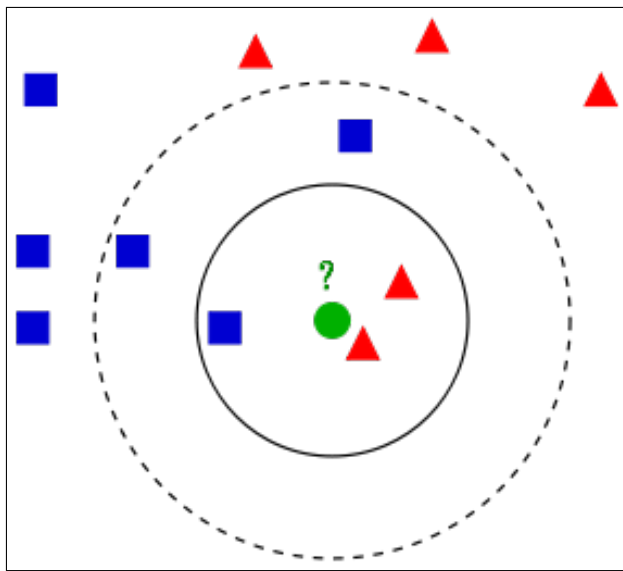
E a de Manhattan é dada por:

$$D_M(p, q) = \sum_i^n |p_i - q_i| \quad (2.16)$$

Nestes casos,  $p = (p_1, \dots, p_n)$  e  $q = (q_1, \dots, q_n)$  representam dois pontos  $n$ -dimensionais e na Equação 2.14,  $r$  é uma constante.

No exemplo da Figura 8, a instância a ser classificada é o círculo verde. Para  $k = 3$ , o círculo verde seria classificado com a classe do triângulo, pois há apenas um quadrado e 2 triângulos, dentro do círculo que os contém. Se  $k = 5$  será classificado com a classe quadrada, pois há 2 triângulos e 3 quadrados, dentro do círculo externo. Neste

Figura 8 – Exemplo do algoritmo k-NN



Fonte: distribuído sob GPL no endereço: <https://bit.ly/3oKQLE1>

exemplo, as distâncias mostradas na Equação 2.13, na Equação 2.15, na Equação 2.14 e na Equação 2.16 seriam calculados entre o círculo verde e todas as outras figuras (instâncias). Este exemplo é 2D, logo, cada ponto teria seu valor em  $x$  e em  $y$ . Para dimensões maiores a abordagem é a mesma, contudo, a visualização das amostras no espaço é um pouco mais complicada. (SILVA; PERES; BOSCAROLI, 2017) (GRUS; NASCIMENTO, 2016) (Goldschmidt; Passos, 2005).

A escolha de  $k$  depende dos dados. Geralmente, grandes valores de  $k$  reduzem o efeito do ruído na classificação, mas criam limites entre classes semelhantes. Um bom  $k$  pode ser selecionado através de otimização. O caso especial em que se prevê que a classe seja a classe mais próxima do exemplo de treinamento (quando  $k = 1$ ) é denominado Algoritmo do Vizinho Mais Próximo.

Na próxima seção serão descritos alguns conceitos envolvendo as RNA's, Redes Neurais Artificiais.

## 2.8 Redes Neurais Artificiais - RNA

As redes neurais instituem um campo da ciência da computação, parte da área da inteligência artificial, que busca efetivar modelos matemáticos que se assemelhem às redes neurais biológicas. Elas apresentam capacidade de adaptar seus parâmetros como resultado da interação com o meio externo (FERNEDA, 2006)(RUSSELL; NORVIG, 2013).

### 2.8.1 Definição

Para Santos (2013, p. 41)

Uma rede neural artificial consiste de um sistema composto por neurônios dispostos em camadas, interligados através de pesos sinápticos construindo um sistema que simula o cérebro humano, inclusive seu comportamento. É uma técnica computacional que apresenta um modelo inspirado na estrutura neural de organismos inteligentes e que adquire conhecimento através da experiência.

De acordo com Lima, Pinheiro e Santos (2016, p. 47), “redes neurais podem ser caracterizadas como modelos computacionais com capacidades de adaptar, aprender, generalizar, agrupar ou organizar dados”.

Inicialmente, portanto, se desenvolveram como uma estratégia de simular os processos mentais humanos, como reconhecimento de imagens e sons, e após, como instrumento tecnológico e eficiente para muitas tarefas (JIN; CHEU; SRINIVASAN, 2002).

Para Obaidat e Macchairolo (1994), as redes neurais artificiais podem ser usadas efetivamente para prover soluções para um amplo espectro de aplicações, incluindo mapeamento de padrões e classificação, análise e codificação de imagens, processamento de sinais, otimização, manipulação de grafos, reconhecimento de caracteres, reconhecimento automático de alvo, fusão de dados, processamento de conhecimento, controle de qualidade, mercado de ações, processamento de hipotecas, triagem de créditos para empréstimos entre muitos outros problemas.

### 2.8.2 Modelo de neurônio artificial

Desde a década de 1940 com o trabalho de McCulloch e Pitts (1943) que se busca um modelo computacional que simule o cérebro humano e suas conexões. O interesse pela pesquisa nesta área cresceu e se desenvolveu durante os anos 50 e 60. É dessa época que Rosenblatt (1958) sugeriu um método de aprendizagem para as redes neurais artificiais chamado *perceptron*.

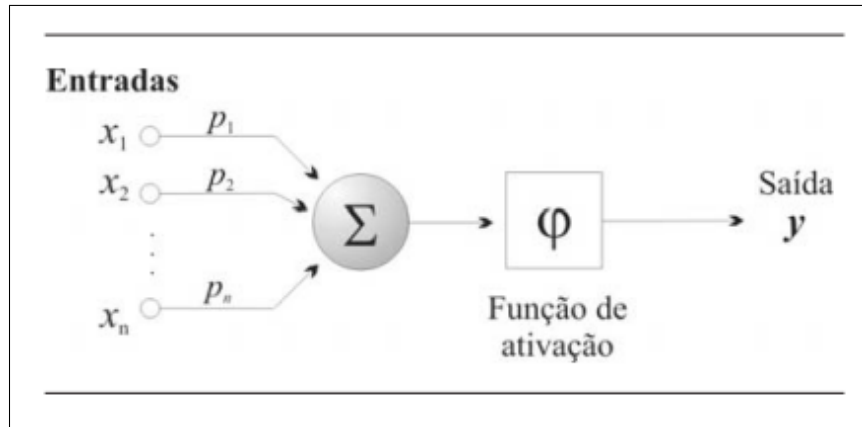
Até o final da década de 1960 muitos trabalhos foram feitos usando o perceptron como modelo, mas ao final desta década, Minsky e Papert (1969) apresentaram significativas limitações do perceptron.

A pesquisa diminui consideravelmente nos anos seguintes (o chamado inverno da IA), porém durante os anos 80, a excitação ressurge mediante os avanços metodológicos importantes e, também, ao aumento dos recursos computacionais disponíveis. O modelo de neurônio artificial da Figura 9 é uma simplificação do apresentado por Haykin (2001, p. 36).

O modelo da Figura 9 é composto por três elementos:

- um conjunto de  $n$  conexões de entrada ( $x_1, x_2, \dots, x_n$ ), caracterizadas por pesos ( $p_1, p_2, \dots, p_n$ );

Figura 9 – Modelo matemático de um neurônio



Fonte: Haykin (2001, p. 36)

- um somador ( $\Sigma$ ) para acumular os sinais de entrada;
- uma função de ativação ( $\varphi$ ) que, no caso específico do neurônio apresentado por McCulloch-Pitts em Mcculloch e Pitts (1943) é uma função de limiar (FERNEDA, 2006) (LIMA; PINHEIRO; SANTOS, 2016).

O comportamento das conexões entre os neurônios é simulado através de seus pesos ( $p_1, p_2, \dots, p_n$ ). Os valores podem ser positivos ou negativos (dependendo se a conexão é *inibitiva* ou *excitativa*).

O efeito de um sinal proveniente de um neurônio é determinado pela multiplicação do valor do sinal recebido pelo peso da conexão correspondente ( $x_i \times p_i$ ).

Então é efetuada a soma dos valores  $x_i \times p_i$  de todas as conexões e o valor resultante é enviado para a função de ativação que define a saída ( $y$ ) do neurônio. cf. Russell e Norvig (2013) e Mcculloch e Pitts (1943), além de Minsky e Papert (1969), Ferneda (2006) e Haykin (2001)

Matematicamente, a saída  $y_k$  do neurônio mostrado na Figura 9 é dada pela expressão abaixo:

$$Y_k = \varphi(u_k) \quad \text{onde} \quad u_k = \sum_{i=1}^n P_{ki} X_i \quad (2.17)$$

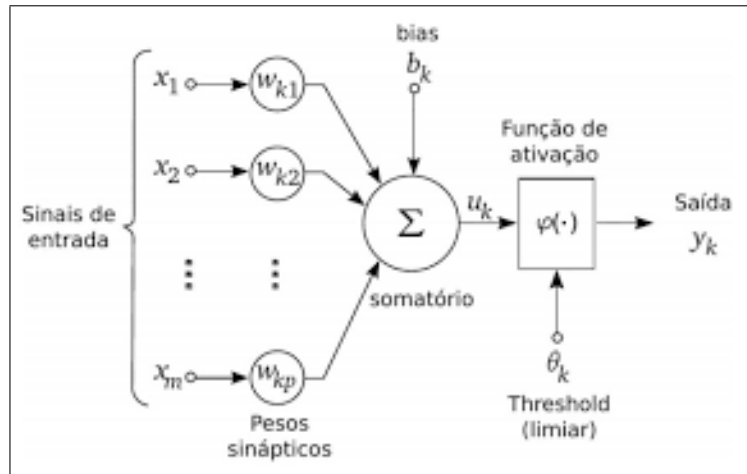
A função de ativação proposta inicialmente por McCulloch e Pitts em seu trabalho seminal, Mcculloch e Pitts (1943) é uma função de limiar:

$$y_k = \varphi(u_k) = \begin{cases} 1, & \text{se } u_k > 0 \\ 0, & \text{se } u_k \leq 0 \end{cases} \quad (2.18)$$

Uma alteração importante neste modelo foi a introdução de um parâmetro polarizador (*bias* ou *offset*)  $b_k$ , conforme a Figura 10 cujo objetivo é deslocar o valor da

informação referente à entrada líquida  $u_k$ , de forma a verter a função de ativação no eixo correspondente ao valor de  $u_k$ . Assim a saída  $y_k = \varphi(u_k)$ .

Figura 10 – Adição de um *offset* (*bias*) no modelo do neurônio



Fonte: [Lima, Pinheiro e Santos \(2016, p. 58\)](#)

Dessa forma, o polarizador (*bias*) pode ser tratado como mais um peso da rede. Basta considerar um nova entrada do tipo  $x_0 = 1$ , com um peso associado  $w_0 = b_k$ , assim a representação fica sendo, considerando os pesos como  $w$ , de acordo com a [Figura 10](#):

$$u_k = w_0 + w_1 x_1 + w_2 x_2; \quad y_k = \varphi(u_k) \quad (2.19)$$

Assim, esse neurônio pode ser empregado, segundo, [Lima, Pinheiro e Santos \(2016, p. 58\)](#), para “separar classes distintas de padrões de entradas para aplicações de classificações de padrões”. E prossegue: “se a entrada líquida for maior que o limiar, o padrão dessa entrada pertence à classe 1, caso contrário, pertence à classe 0”. Analisando matematicamente o modelo *perceptron*, se percebe que ele pode ser considerado um típico caso de discriminador linear.

A fronteira de decisão para um *perceptron* como o da [Figura 10](#), dada duas entradas e a função de ativação mostrada na [Equação 2.18](#) será, então, uma reta cuja equação é definida por:

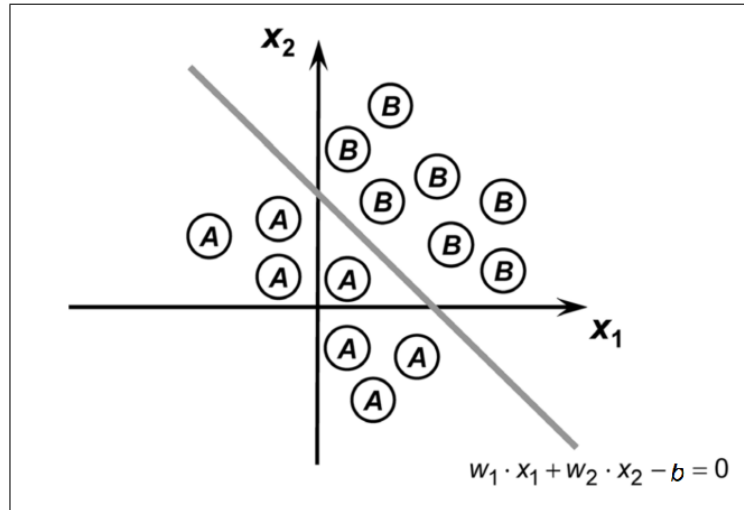
$$w_1 x_1 + w_2 x_2 - b = 0 \quad (2.20)$$

Portanto, cf. [Silva \(2016\)](#), “pode-se concluir que o Perceptron se comporta como um classificador de padrões cuja função é dividir classes que sejam linearmente separáveis”.

A [Figura 11](#) mostra uma reta posicionada na fronteira de separação entre as classes. Para este tipo de problema o perceptron é um classificador adequado.

As redes neurais artificiais (**RNA**) se formam quando diversos neurônios se combinam. De forma resumida, “uma rede neural artificial (RNA) pode ser vista como um

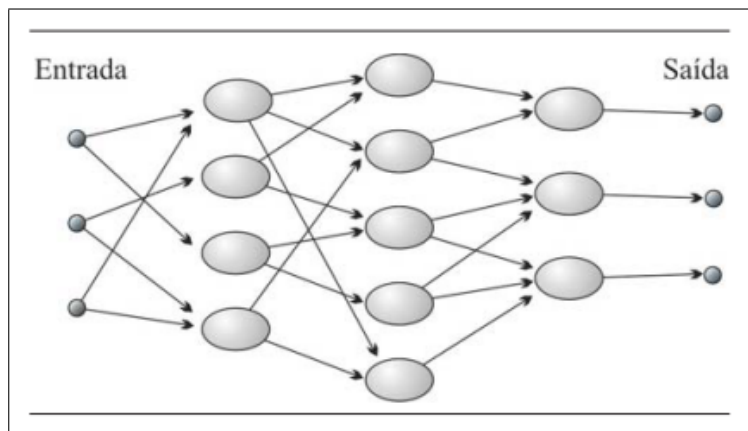
Figura 11 – Fronteira de separação (perceptron com duas entradas)



Fonte: Silva (2016, p. 62)

grafo onde os nós são os neurônios e as ligações fazem a função das sinapses". Isto está demonstrado na Figura 12.

Figura 12 – Representação simplificada de uma RNA



Fonte: Ferneda (2006, p.26)

As redes neurais artificiais se diferem pelas suas arquiteturas e pela forma como os pesos associados às conexões são ajustados durante o processo de aprendizado. A *arquitetura* de uma rede neural restringe o tipo de problema no qual a rede poderá ser utilizada, e é definida pelo número de camadas (camada única ou múltiplas camadas), pelo número de nós em cada camada, pelo tipo de conexão entre os nós (*feedforward* ou *feedback*) e por sua topologia (HAYKIN, 2001, p. 46-49).

O desenvolvimento de uma rede neural artificial consiste em determinar sua arquitetura, ou seja, os números de camadas e de neurônios em cada camada, bem como o ajuste dos pesos na fase conhecida como treinamento (HAGAN; DEMUTH; BEALE, 1996) (HAYKIN, 2001).

Uma das características mais importantes de uma rede neural artificial é a habilidade de aprender através de exemplos e fazer inferências sobre o que aprendeu, melhorando, assim, o seu desempenho. As RNA's utilizam um algoritmo de aprendizagem que serve, basicamente, para ajustar os pesos de suas conexões (HAYKIN, 2001) (FERNEDA, 2006) (LIMA; PINHEIRO; SANTOS, 2016) (RUSSELL; NORVIG, 2013).

Aqui também há, cf. explicitado na seção 2.4, duas formas básicas de aprendizado, o supervisionado e o não-supervisionado.

### 2.8.3 Redes do tipo Perceptron de múltiplas camadas

As arquiteturas do tipo perceptron de múltiplas camadas (MLP) são os modelos de redes neurais mais utilizados e conhecidos. Elas, basicamente, consistem de uma camada de entrada e uma ou mais camadas intermediárias (ou ocultas) além, claro da camada de saída (uma ou mais unidades sensoriais - neurônios) (HAYKIN, 2001).

Os sinais de entrada são propagados camada a camada pela rede em uma direção, ou seja, da entrada para a saída (*feedforward*). Esta arquitetura retrata uma generalização do perceptron. Portanto, segundo Silva (2016, p. 26),

As redes Perceptron de múltiplas camadas (PMC) são caracterizadas pela presença de pelo menos uma camada intermediária (escondida) de neurônios, situada entre a camada de entrada e a respectiva camada neural de saída.

Desta forma, elas possibilitam elevadas possibilidades de aplicações em muitas áreas do conhecimento, entre as principais: aproximação universal de funções, reconhecimento de padrões, identificação e controle de processos, previsões de séries temporais, otimização de sistemas entre muitos outros (HAYKIN, 2001).

A Figura 13 ilustra uma rede do tipo perceptron de multicamadas. O treinamento deste tipo de rede é do tipo supervisionado e, geralmente, se utiliza um algoritmo muito popular chamado *retropropagação* do erro (*error backpropagation*). Este algoritmo é baseado numa regra de aprendizagem que “corrigé” o erro durante o treinamento (HAYKIN, 2001).

Substancialmente, o método de *retropropagação* é constituído de duas etapas: uma fase de propagação do sinal no sentido tradicional (*feedforward*) e uma de retropropagação do erro (*backpropagation*) de todas as camadas e seus respectivos pesos. Na fase de ida, os vetores de dados e pesos são aplicados às unidades de entrada, e seu efeito se propaga pela rede, camada por camada (HAGAN; DEMUTH; BEALE, 1996) (HAYKIN, 2001).

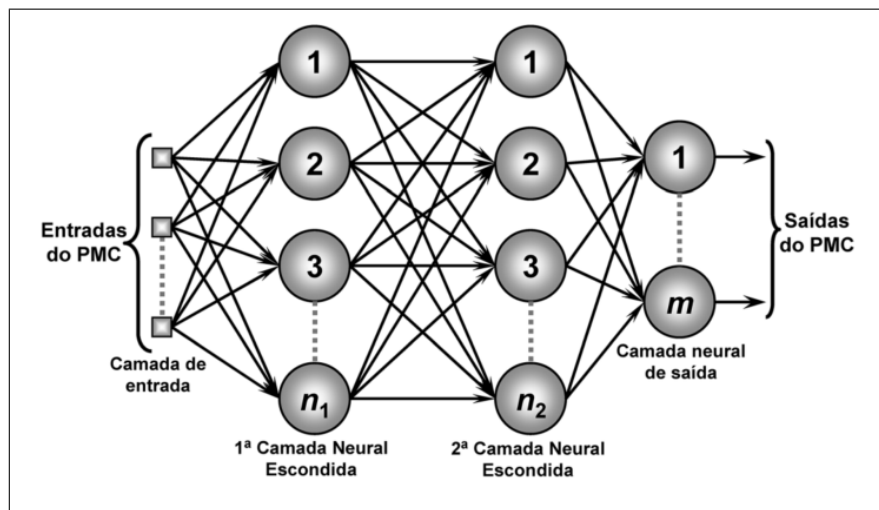
Após isso, um conjunto de saídas é produzido como resposta da rede. Na retropropagação os pesos são ajustados de acordo com uma regra de correção de erro (normalmente uma função matemática como a Equação 2.6, a Equação 2.8, a Equação 2.7 ou Equação 2.9,

sendo esta última uma das mais utilizadas em muitas arquiteturas, na prática) (HAYKIN, 2001) (HAGAN; DEMUTH; BEALE, 1996) (YEUNG; BOTVINICK; COHEN, 2004).

A resposta da rede em um instante é subtraída da saída desejada (*target*) para produzir um valor de erro. Este valor de erro é propagado da saída para a entrada, camada a camada, de onde vem o nome “*retropropagação* do erro”. Os pesos são, então, redefinidos de forma que a distância entre a resposta da rede e a resposta desejada seja reduzida (o erro seja minimizado). O processo é repetido diversas vezes até que uma tolerância global de erro seja assumida. Cada iteração é denominada época (*epoch*) (HAYKIN, 2001) (HAGAN; DEMUTH; BEALE, 1996) (MINSKY; PAPERT, 1969).

Uma arquitetura de um MLP (*Multi-Layer Perceptron* - Perceptron Multicamadas), possui, portanto três propriedades distintas: a função de ativação, o número de camadas ocultas e forma das conexões (totalmente conectada ou não).

Figura 13 – Rede Perceptron de multicamadas



Fonte: Silva (2016, p. 92)

#### 2.8.4 Funções de ativação

Como visto na subseção 2.8.2, o modelo perceptron, lida bem com problemas linearmente separáveis, mas tem problemas ao lidar com problemas não-lineares (HAYKIN, 2001).

Para dar capacidade representativa às redes neurais artificiais, são essenciais as diferentes funções de ativação, pois só assim elas conseguirão lidar um componente de não-linearidade, como o são a maioria dos problemas práticos (HAGAN; DEMUTH; BEALE, 1996).

Ao se introduzir ativações não-lineares, a superfície de custo da rede neural deixa de ser convexa fazendo com que a otimização se torne mais difícil (MINSKY; PAPERT, 1969) (HAYKIN, 2001).

As principais funções de ativação, utilizadas na literatura ena prática, são, portanto:

#### 2.8.4.1 Função de ativação limiar

Foi proposta na primeira definição de rede com neurônios artificiais ([ROSENBLATT, 1958](#)). O modelo de neurônio usado por RosenBlatt foi o mesmo sugerido por [McCulloch e Pitts \(1943\)](#).

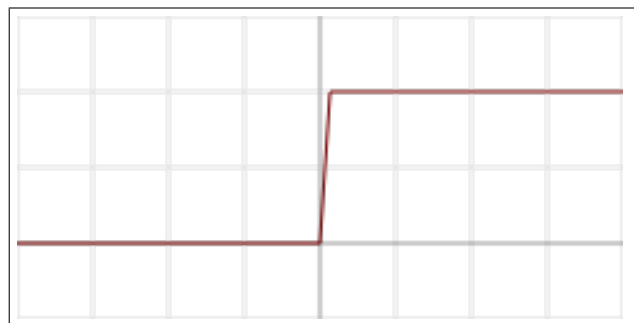
Neste modelo as saídas são binárias, ou seja, assumem, normalmente o valor 0 ou 1. A saída é 1 se o valor da entrada líquida for superior a um determinado valor chamado *thereshold*. Na maioria das vezes, esse valor é zero.

Matematicamente:

$$y_k = y = f_i(a_i(t)) = \begin{cases} 1, & \text{se } a_i(t) \geq 0 \\ 0, & \text{se } a_i(t) < 0 \end{cases} \quad (2.21)$$

A [Figura 14](#) mostra o ‘funcionamento’ da função de ativação limiar. Eventualmente podem ser utilizados os valores -1 e 1. Uma rede de camada simples que utiliza este tipo de ativação é o perceptron simples.

Figura 14 – Função de ativação Limiar



Fonte: Adaptado de [Haykin \(2001\)](#)

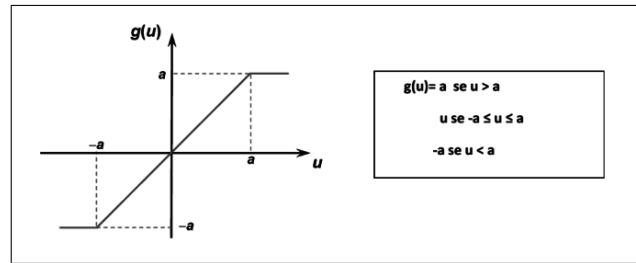
#### 2.8.4.2 Função de ativação linear

A saída do neurônio, neste caso, é representada por uma função linear da forma descrita na [Figura 15](#). Redes que usam este tipo de função de ativação apresentam apenas uma camada de entrada e uma de saída. Possuem, portanto, uma série de representações quanto ao que são capazes de representar ([LIMA; PINHEIRO; SANTOS, 2016](#)).

#### 2.8.4.3 Funções de ativação semilineares

As funções de ativação mais usadas deste tipo são a função logística e a tangente hiperbólica. Elas são populares por conta de suas derivadas (que são necessárias nas etapas de treinamento, particularmente no *Gradiente Descent* — descida do gradiente) poderem ser expressas a partir das próprias funções.

Figura 15 – Função de ativação Linear

Fonte: Adaptado de [Haykin \(2001\)](#)

Estas funções, tanto a logística (ou *sigmoide*) e a tangente hiperbólica, respectivamente, podem ser expressas pelas equações 2.22 abaixo, onde  $a$  representa a entrada líquida da unidade (HAYKIN, 2001) (LIMA; PINHEIRO; SANTOS, 2016).

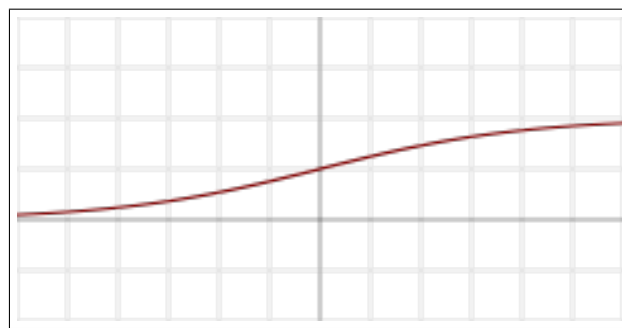
$$f(a) = \frac{1}{1 + e^{(-2\beta a)}} \quad g(a) = \tanh(\beta a) \quad (2.22)$$

E as respectivas derivadas das funções 2.22 acima são dadas por:

$$f'(a) = 2\beta f(1 - f) \quad g'(a) = \beta(1 - g^2) \quad (2.23)$$

A [Figura 16](#) mostra o comportamento da função sigmoide e a [Figura 17](#) demonstra o da função tangente hiperbólica.

Figura 16 – Função de ativação Logística (sigmoide)

Fonte: Adaptado de [Haykin \(2001\)](#)

#### 2.8.4.4 Função de ativação ReLu

A função ReLU é a unidade linear retificada. É definida como, [Academy \(2020\)](#):

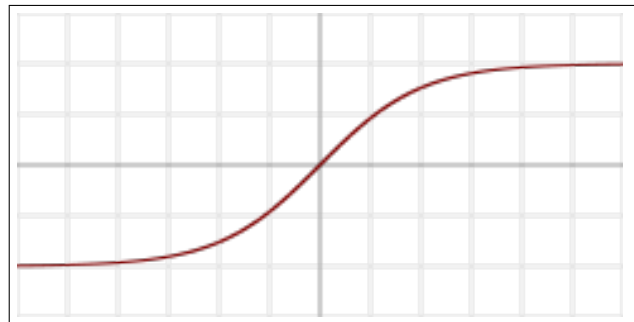
$$ReLU(x) = \max(0, x) \quad (2.24)$$

Sua derivada é dada por:

$$ReLU'(x) = \begin{cases} 1, & \text{se } x > 0 \\ 0, & \text{caso contrário} \end{cases} \quad (2.25)$$

Conforme, [Academy \(2020\)](#),

Figura 17 – Função de ativação Tangente Hiperbólica



Fonte: Adaptado de [Haykin \(2001\)](#)

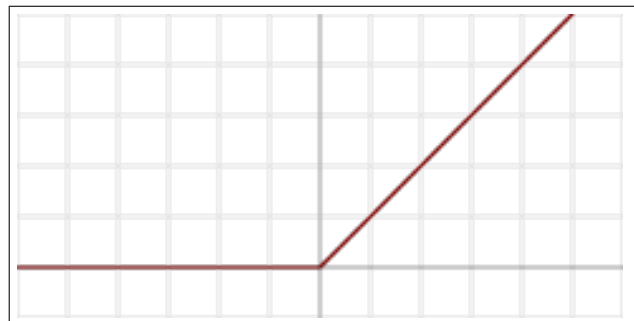
ReLU é a função de ativação mais amplamente utilizada ao projetar redes neurais atualmente. Primeiramente, a função ReLU é não linear, o que significa que podemos facilmente copiar os erros para trás e ter várias camadas de neurônios ativados pela função ReLU.

Ainda, de acordo com [Academy \(2020\)](#):

A principal vantagem de usar a função ReLU sobre outras funções de ativação é que ela não ativa todos os neurônios ao mesmo tempo. [...] Se [...] a entrada for negativa, ela será convertida em zero e o neurônio não será ativado. Isso significa que, ao mesmo tempo, apenas alguns neurônios são ativados, tornando a rede esparsa e eficiente e fácil para a computação.

A [Figura 18](#) demonstra o comportamento da função de ativação ReLu em função da entrada

Figura 18 – Função de ativação ReLu - unidade linear retificada



Fonte: Adaptado de [Haykin \(2001\)](#)

Redes com a função ReLU são mais fáceis de otimizar porque a função é parecida com a função identidade. A única diferença é que a ReLU produz zero em metade de seu domínio ([HAGAN; DEMUTH; BEALE, 1996](#)).

### 2.8.5 Otimização

Redes Neurais tem uma etapa iterativa em que os pesos são ajustados e se pode realizar otimizações para melhorar o erro e incrementar o modelo ([HAYKIN, 2001](#)).

Normalmente, o fluxo de treinamento se resume nos seguintes passos iterativos:

1. Operar a entrada na rede
2. Cálculo da função de perda (*loss function*) ou outra função de cálculo de erro
3. Cálculo do gradiente
4. Atualização dos pesos
5. Volta para o passo 1

Este processo é repetido até que um hiperparâmetro de tolerância seja alcançado para o cálculo dos erros mediante a *loss function* ou outra função de cálculo do erro.

O cálculo do gradiente descrito anteriormente diz respeito, cf. [Academy \(2020\)](#) a um dos mais usados algoritmos para otimizar a tarefa de aprendizagem dos pesos de uma rede neural.

De acordo com [Academy \(2020\)](#):

A Descida do Gradiente é uma ferramenta padrão para otimizar funções complexas iterativamente dentro de um programa de computador. Seu objetivo é: dada alguma função arbitrária, encontrar um mínimo. Para alguns pequenos subconjuntos de funções – aqueles que são convexos – há apenas um único *minimum* que também acontece de ser global. Para as funções mais realistas, pode haver muitos mínimos, então a maioria dos mínimos são locais.[...] É preciso] que a otimização encontre o “melhor” *minimum* e não fique preso em mínimos sub-ótimos (um problema comum durante o treinamento do algoritmo).

O algoritmo consiste basicamente de subtrair o valor do gradiente  $\nabla f$  dos pesos  $w$  da rede, assim:

$$w_i = w_i - \alpha \times \nabla f_i \quad (2.26)$$

Sendo  $\alpha$  o multiplicador que nos permite controlar o tamanho do passo de otimização.  $\nabla f$  é a derivada da função de ativação no ponto específico.  $\alpha$  é um hiperparâmetro conhecido como taxa de aprendizado e repreenta a *velocidade* em que a rede neural “aprende” os melhores pesos para o problema específico ([HAYKIN, 2001](#)).

Uma iteração consiste em um passo de otimização como o descrito em [2.8.5](#) e corresponde a uma ligação sináptica de *forward* na rede e uma de *backpropagation*. Isto constitui uma **época**. Normalmente, muitas épocas são necessárias, visto que o aprendizado em uma rede neural é, geralmente, lento para que a otimização evite os mínimos locais.

Na próxima seção, conceitos sobre SVM (Support Vector Machines) serão descritos e explorados. Este será o segundo algoritmo utilizado neste trabalho para sustentar a hipótese, juntamente com as RNA’s.

## 2.9 SVM - Support Vector Machines

Segundo [Cortes e Vapnik \(1995\)](#), o algoritmo SVM (*Support Vector Machines*) é um dos mais efetivos para a tarefa de classificação.

Conforme [Goldschmidt e Passos \(2005\)](#),

No algoritmo SVM, o conjunto de dados de entrada é utilizado para construir uma *função de decisão*  $f(x)$ , tal que:

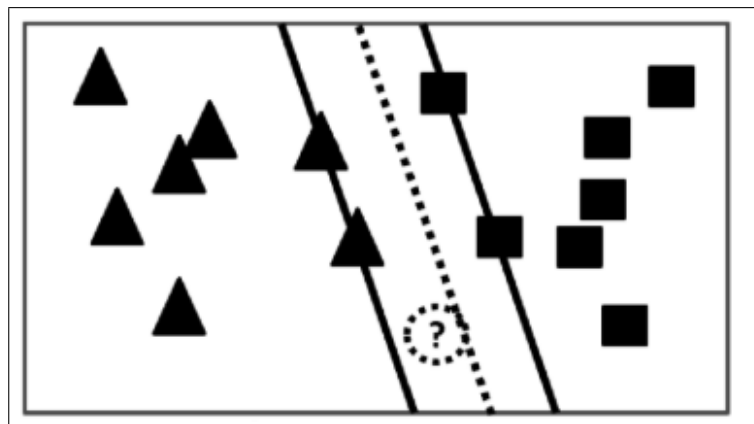
$$\begin{aligned} \text{Se } f(x_i) \geq 0, \text{ então } y_i = 1 \\ \text{Se } f(x_i) < 0, \text{ então } y_i = -1 \end{aligned} \quad (2.27)$$

O algoritmo SVM constrói os denominados classificadores lineares, que separam o conjunto de dados por meio de um *hiperplano* que é a generalização do conceito de *plano* para dimensões maiores que três.

Assim, SVM, cf. [Amaral \(2016, p. 45\)](#) “são um algoritmo de classificação que maximizam as margens entre instâncias mais próximas, dessa forma, é criado um vetor otimizado que é então utilizado para classificar novas instâncias”.

Conforme se vê na [Figura 19](#), os dois vetores *não pontilhados* são as margens otimizadas. As instâncias por onde as margens otimizadas passam são os vetores de suporte. O vetor pontilhado é a referência para classificar novas instâncias. Assim, a nova instância, na [Figura 19](#) é classificada como triângulo.

Figura 19 – Vetores de Suporte



Fonte: [Amaral \(2016, p. 45\)](#)

Seguindo o estudo de [Mukkamala, Janoski e Sung \(2002\)](#) há duas razões principais que levaram os autores do artigo citado de usarem SVMs para detecção de intrusão: o primeiro é a velocidade já que a performance é prioritariamente uma das características mais importantes para sistemas de detecção de intrusos.

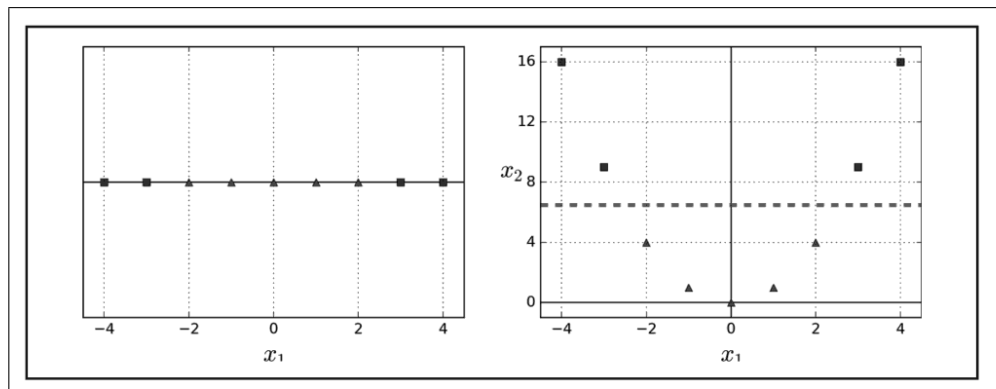
A segunda razão é a escalabilidade, pois, cf. os autores, SVMs são relativamente indiferentes ao número de *data points* e a complexidade da classificação não depende da dimensionalidade do espaço de características. Dependendo da aplicação, ainda conforme

os autores, uma vez que os dados estão classificados em duas classes, um algoritmo de otimização adequado pode ser usado, se necessário, para identificação de mais características.

Embora os classificadores lineares SVM sejam eficientes e funcionem surpreendentemente bem em muitos casos, alguns conjuntos de dados não são linearmente separáveis. Adicionar mais características (dimensões), como as polinomiais é uma abordagem válida para lidar com os conjuntos de dados não lineares; em alguns casos, isso pode resultar em um conjunto de dados linearmente separável. (GÉRON, 2019, p. 153)

Na Figura 20 observa-se que na plotagem à esquerda um conjunto de dados simples com apenas uma característica  $x_1$ . Esse conjunto não é linearmente separável (como a imagem mostra), mas se for adicionada uma segunda característica  $x_2 = (x_1)^2$ , o conjunto de dados resultante será linearmente separável.

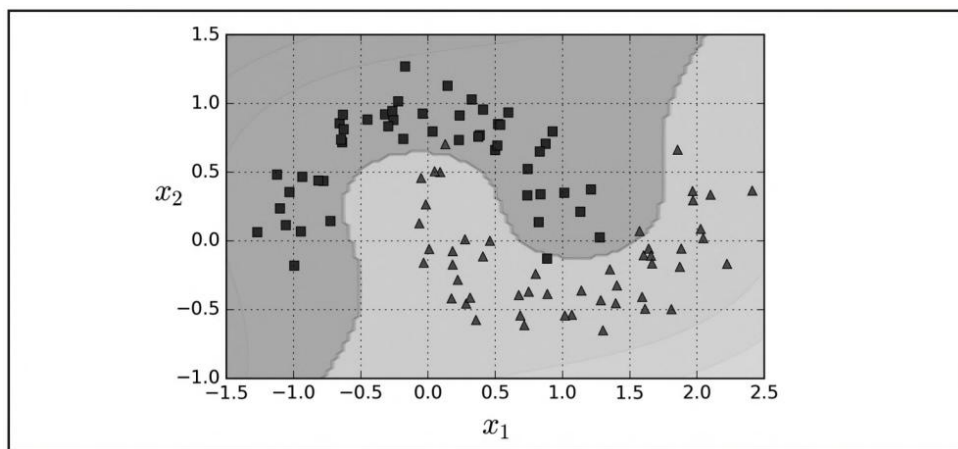
Figura 20 – Adição de características para tornar um conjunto linearmente separável



Fonte: Géron (2019, p. 153)

Isto pode ser visualizado na Figura 21 que também mostra a adição de características para tornar um problema linearmente separável.

Figura 21 – Classificador Linear SVM com o uso de características polinomiais



Fonte: Géron (2019, p. 154)

Neste trabalho, também foi usado, com eficácia que suportasse a hipótese (cf. se vê

no [Capítulo 3](#)) o algoritmo SVM.

Ainda vou escrever aqui nesta seção sobre SVM acerca de: kernel, RBF Gaussiana, complexidade, função de decisão, Hinge Loss, otimização por meio de multiplicadores de Lagrange, modelo de estimativa de função e otimização matemática.

## 2.10 Trabalhos Relacionados

Esta seção expõe alguns dos principais trabalhos encontrados na literatura que estão, de alguma forma, relacionados a esta dissertação. Foram estudadas e analisados trabalhos acerca das políticas de segurança da informação, abordando a detecção de conflitos em diversos contextos como identificação e resolução de conflitos aéreos, rodoviários e de *normas* além de trabalhos sobre mineração de dados e técnicas de aprendizagem de máquina tanto em conjunturas distintas como regressão e classificação quanto para localização e solução de conflitos, no caso específico das políticas computacionais, principalmente sendo usadas em registros de patentes americanas fechadas — o que, de certa forma, evidencia o quanto este tema está na vanguarda.

Todos os trabalhos descritos foram base para o estudo, amadurecimento bibliográfico e aprofundamento teórico sobre o problema e as soluções propostas neste trabalho, principalmente aqueles relacionados a intrusões, detecção de conflitos aéreos e as soluções baseadas em aprendizado de máquina, usando classificadores utilizados neste trabalho, como k-NN, Naïve Bayes, Random Forest, redes neurais e máquinas de vetores de suporte (SVM) pois serviram de inspiração e ofereceram estímulo para que as técnicas pudessem ser extrapoladas para o uso na detecção de conflitos em políticas, tema desta de dissertação.

Como forma de organização, os trabalhos serão divididos em 4 seções:

- Verificação Detecção de conflitos;
- Mineração de Políticas;
- Resolução de outros tipos conflitos e
- mineração de dados e aprendizagem de máquina em geral.

### 2.10.1 Verificação e Detecção de conflitos

#### 2.10.1.1 [Sarkis \(2017\)](#)

Estes são os trabalhos-base no estudo da detecção de conflitos, da determinação do modelo das políticas utilizadas e analisadas além de serem a fonte de algumas das principais definições empregadas nesta dissertação. [Sarkis \(2017\)](#) propõe uma abordagem para detectar conflitos indiretos entre políticas. Assim, as contribuições deste trabalho

incluem: a definição da política utilizada; o conjunto de relacionamentos que podem ocorrer entre os atributos que compõem uma política (organização, sujeitos, papéis, objetos, visões, ação e atividades); o conjunto de regras de propagação e de regras de conflitos (utilizados nos conflitos indiretos). Uma ferramenta foi desenvolvida, o “Conflict Detector” que recebe como entrada um conjunto de políticas de controle de acesso, um conjunto de relacionamentos entre os atributos destas políticas e fornece como saída, no caso da existência de conflitos, a identificação do conflito e as políticas conflitantes.

#### 2.10.1.2 Vijayalakshmi e Jayalakshmi (2020)

Este artigo analisa e detecta as anomalias importantes nas políticas de controle de acesso baseadas em atributos—ABAC. Apresenta uma abordagem que usa o nível de prioridade para evitar o conflito nas políticas. Esta abordagem agrupa as regras das políticas ABAC com base no nível de prioridade e semelhança com a técnica de agrupamento, e detecta as anomalias em cada cluster em vez de todas as regras.

#### 2.10.1.3 Zheng e Xiao (2019)

Aborda o controle de acesso baseado em atributos (ABAC) nos contextos da computação em nuvem e Internet das coisas. Cita que os conflitos entre as de políticas ocorrem com frequência devido à sua grande escala e expressão complexa. O trabalho propõe, então, um novo método para detectar conflitos entre regras ABAC com o auxílio da conversão de regras em um conjunto de sequências binárias. Em seguida, a detecção de conflito é alcançada através da operação bit a bit AND da sequência binária, o que melhora a eficiência da detecção.

#### 2.10.1.4 Yahiaoui, Zinedine e Harti (2018)

Também aborda o controle de acesso baseado em atributos (ABAC) afirmando que este pode trazer grandes benefícios no contexto de compartilhamento e proteção de dados confidenciais. Declara também que esses sistemas são complexos de analisar e geralmente sofrem de anomalias e conflitos entre as políticas de segurança. Neste artigo, os autores lidam com o problema de várias políticas fornecerem respostas conflitantes (permitir / negar) para uma mesma solicitação de acesso e é proposta uma estrutura que pode apoiar os administradores de segurança com ferramentas para analisar, detectar e resolver continuamente quaisquer possíveis conflitos nos sistemas ABAC.

#### 2.10.1.5 Silvestre (2017)

Este trabalho estuda a verificação de conflitos entre múltiplas normas em sistemas multiagentes (SMA). As normas, nesta tese, são semelhantes às políticas, inclusive em suas definições, mas restritas a um contexto de agentes autônomos. Para a resolução de conflitos,

o autor usa uma estratégia de aplicação de filtros para suavizar o custo computacional e utiliza transformação deôntica para análise de diversas normas ao mesmo tempo.

#### 2.10.1.6 [Sun et al. \(2011\)](#)

Este artigo propõe uma estrutura para políticas e mecanismos de controle de acesso que preservam a privacidade e descreve algoritmos para problemas conflitantes de políticas de acesso. O mecanismo reforça a política de acesso aos dados que contêm informações de identificação pessoal. O principal componente da estrutura é o *propósito* envolvido nos modelos de controle de acesso (PAC) que fornecem suporte para expressar políticas complexas relacionadas à privacidade, levando em consideração recursos como objetivos, condições e obrigações. Os autores comentam que podem surgir problemas de conflito de políticas quando novas políticas de acesso são geradas e podem entrar em conflito com as políticas existentes. A estrutura da política de controle de acesso, incluindo condições e obrigações, é estudada. Com base na política de acesso, os modelos de autorização e as operações de política são analisados. E, também os conflitos entre as políticas.

#### 2.10.1.7 [Hwang et al. \(2010\)](#)

Como [Sarkis \(2017\)](#), os autores também desenvolvem uma ferramenta para resolver o problema da detecção de conflitos, chamada ACPT (Teste de Política de Controle de Acesso), que ajuda a modelar e implementar políticas corretamente durante a modelagem, implementação e verificação de políticas.

#### 2.10.1.8 [Shu, Yang e Arenas \(2009\)](#)

Este artigo propõe um método otimizado para detectar os conflitos entre regras estatisticamente conflitantes em uma política ABAC. O método inclui duas técnicas de otimização: redução de regras e busca binária. As políticas ABAC são fartamente explicadas e exploradas neste trabalho.

#### 2.10.1.9 [He e Antón \(2009\)](#)

Os autores afirmam que a especificação de políticas de controle de acesso não é uma parte explícita do processo de desenvolvimento de software e geralmente é isolada das atividades de análise de requisitos, deixando, assim, os sistemas vulneráveis a violações de segurança porque as políticas são especificadas sem garantir a conformidade com os requisitos do sistema. No artigo, então, é apresentado o método ReCAPS (Análise de Controle de Acesso com Base em Requisitos e Especificação de Política) para derivar e especificar políticas de controle de acesso e discutir esforços de validação. O método integra a especificação de política no processo de desenvolvimento de software e garante a

consistência entre os artefatos de software além de fornecer orientação prescritiva sobre como especificar políticas de controle de acesso.

#### 2.10.1.10 Ferraiolo, Atluri e Gavrilis (2011)

Neste artigo, os autores propõem uma estrutura de controle de acesso, conhecida como Policy Machine (PM), que muda a maneira como a política é expressa e aplicada. trabalha com políticas de Controle de Acesso Discricionário e Controle de Acesso Baseado em Funções.

#### 2.10.1.11 Mohan et al. (2012)

Neste artigo os autores propõem e avaliam duas estratégias, uma para detectar inconsistências de políticas para evitar possíveis ataques de inferência e outra para detectar conflitos de políticas dentro do contexto de dados armazenados em bancos de dados biomédicos derivados de ontologias biomédicas.

### 2.10.2 Mineração de políticas

#### 2.10.2.1 Bui, Stoller e Li (2019)

O contexto do estudo é o controle de acesso baseado em relacionamento (ReBAC) que, segundo os autores, fornece um alto nível de expressividade e flexibilidade que promove a segurança e o compartilhamento de informações. O ReBAC é como uma extensão orientada a objetos do controle de acesso baseado em atributos (ABAC) em que os relacionamentos são expressos usando campos que se referem a outros objetos e as expressões de caminho são usadas para seguir cadeias de relacionamentos entre objetos. Este artigo apresenta dois algoritmos para mineração de políticas ReBAC: um algoritmo guloso guiado por heurísticas e um algoritmo evolutivo baseado em gramática. Os autores afirmam que os algoritmos de mineração de políticas ReBAC têm potencial para reduzir significativamente o custo de migração de sistemas de controle de acesso legados para ReBAC, automatizando parcialmente o desenvolvimento de uma política ReBAC a partir de uma política de controle de acesso existente.

#### 2.10.2.2 Chakraborty, Sandhu e Krishnan (2019)

O artigo aborda a tecnologia de controle de acesso baseado em atributo (ABAC) focando no problema de converter políticas de sistemas de controle de acesso já implantados para ABAC. Diversas variações desse problema geral podem ser definidas, em particular, o problema de mineração de política ABAC. Neste artigo, os autores formalizam o problema de existência do ABAC RuleSet neste contexto e desenvolvem um algoritmo e uma análise

de complexidade para sua solução. Introduzimos ainda a noção de Correção de inviabilidade do conjunto de regras ABAC junto com um algoritmo para a solução.

#### 2.10.2.3 Kalaskar e Barkade (2018)

Neste artigo, os autores propõem uma técnica conhecida como algoritmo de FP-Growth para minerar regras de associação no contexto de uso desse algoritmo ter a capacidade de reduzir o custo de migração para ABAC. O artigo mostra o algoritmo na mineração de políticas ABAC.

#### 2.10.2.4 Xu e Stoller (2013)

O controle de acesso baseado em funções (RBAC) é amplamente usado, mas tem limitações notáveis, o que leva a uma mudança para o controle de acesso baseado em atributos (ABAC). No entanto, o custo de desenvolver uma política ABAC pode ser um obstáculo significativo para a migração do RBAC para o ABAC. Este artigo apresenta a primeira definição formal do problema de mineração de políticas ABAC a partir de políticas RBAC e dados dos atributos, e o primeiro algoritmo projetado especificamente para extrair uma política ABAC de uma política RBAC e dados dos atributos.

#### 2.10.2.5 Hachana, Cuppens-Boulahia e Cuppens (2015)

Neste artigo, os autores fazem uma abordagem de mineração de políticas por meio de um processamento adicional para uma mineração de políticas de controle de acesso à rede. Desenvolvem o problema de integração de políticas Net-RBAC resultantes da mineração de políticas em vários firewalls. Além disso, mostram como verificar as propriedades de segurança relacionadas à consistência da implantação nos firewalls. Usam, portanto, a mineração de dados em políticas de controle de acesso em um contexto de regras de um firewall (na realidade, de vários firewalls).

#### 2.10.2.6 Martin e Tao Xie (2006)

Segundo os autores, para aliviar a carga de implementação e manutenção de aspectos de controle de acesso em um sistema, uma tendência crescente entre os desenvolvedores é escrever políticas de controle de acesso em uma linguagem de especificação, como XACML e integrar as políticas com aplicativos através do uso de um ponto de decisão de política ( PDP). Para garantir que as políticas especificadas reflitam as esperadas, pesquisas desenvolveram ferramentas de verificação de políticas; no entanto, seus aplicativos na prática ainda são limitados, sendo restringidos pelo conjunto limitado de recursos de linguagem de política suportados e a indisponibilidade de propriedades de política. Este artigo apresenta uma abordagem de mineração de dados para o problema de verificar se as políticas de controle de acesso expressas refletem os verdadeiros desejos do autor

da política. Foi desenvolvida uma ferramenta para investigar essa abordagem gerando solicitações automaticamente, avaliando essas solicitações para obter respostas e aplicando o aprendizado de máquina aos pares de solicitação-resposta para inferir propriedades de política. Essas propriedades inferidas facilitam a inspeção do comportamento da política. Os resultados mostram que algoritmos de aprendizado de máquina podem fornecer informações valiosas sobre as propriedades básicas da política e ajudar a identificar solicitações específicas de exposição a bugs.

### 2.10.3 Detecção e Resolução de outros tipos conflitos

#### 2.10.3.1 [Lupu e Sloman \(1999\)](#)

Os autores deste trabalho discorrem sobre conflitos no gerenciamento de sistemas distribuídos com base em políticas de controle de acesso. O artigo analisa os conflitos de políticas, concentrando-se nos problemas de detecção e resolução dos mesmos. Discute-se, no artigo, os vários relacionamentos de precedência que podem ser estabelecidos entre as políticas e é apresentado uma ferramenta de análise de conflitos que faz parte de uma estrutura de gerenciamento baseada em funções, porém, sem usar mineração de dados ou aprendizagem de máquina.

#### 2.10.3.2 [Chen \(2011\) e Christodoulou e Kontogeorgou \(2008\)](#)

O artigo de [Chen \(2011\)](#) trabalha com a identificação e a resolução de conflitos de voo com base em *redes neurais*. No artigo, o autor considera os problemas de detecção e resolução de conflitos no gerenciamento de tráfego aéreo (ATM - *Air Traffic Management*) sob a perspectiva da geometria computacional e fornece algoritmos para resolver esses problemas além de propor um método que pode rotear várias aeronaves, sem conflitos, através do espaço aéreo, usando um esquema de roteamento priorizado no espaço-tempo através do uso de conjunto de soluções ótimas por meio de uma rede neural. Já o trabalho de [Christodoulou e Kontogeorgou \(2008\)](#) aborda a detecção de conflitos sobre a ótica da prevenção de colisões no voo livre de aeronaves comerciais usando redes neurais com exemplos preparados por meio de programação não linear.

### 2.10.4 Mineração de dados e aprendizagem de máquina

#### 2.10.4.1 [Guerrero-Higueras, DeCastro-Garcia e Matellan \(2018\)](#)

[Guerrero-Higueras, DeCastro-Garcia e Matellan \(2018\)](#) aborda um método para construir modelos de *aprendizagem de máquina* com o objetivo de detectar ataques cibernéticos em RTLSs (*Real Time Location Systems* - sistemas de localização em tempo real) em um ambiente de cibersegurança para sistemas robóticos usando técnicas de *Machine Learning*. O artigo mostra que os ciberataques nos sistemas de localização em tempo real

para sistemas robóticos podem ser detectados por um sistema criado usando o aprendizado supervisionado. Além disso, mostra que alguns tipos de ciberataques em sistemas de localização em tempo real, especificamente negação de serviço e falsificação (*DoS* e *Spoofing*), podem ser detectados por um sistema construído usando técnicas de aprendizado de máquina. Oito classificadores e algoritmos preditores conhecidos foram avaliados neste artigo e a análise de validação cruzada mostrou que os classificadores MLP (*Multi Layer Perceptron*) funcionam melhor que os outros obtendo maior acurácia e menor erro, sendo também o modelo com menor *overfitting* e maior *sensibilidade*<sup>7</sup>. Este artigo inspirou a hipótese desta proposta de dissertação.

#### 2.10.4.2 Bui, Stoller e Le (2019)

Bui, Stoller e Le (2019) versa acerca de mineração de dados em políticas de controle de acesso, especificamente do modelo ReBAC (*Relationship-Based Access Control* - controle de acesso baseado em *relacionamento*), mas não foca na detecção de conflitos entre as políticas, e sim, na propagação de seus relacionamentos na criação de novas políticas. No artigo, os algoritmos de mineração de política do ReBAC propostos puderam reduzir significativamente o custo da migração dos sistemas de controle de acesso legados para o ReBAC, automatizando parcialmente o desenvolvimento de uma nova política do ReBAC.

#### 2.10.4.3 Obaidat e Macchairolo (1994) e Mukkamala, Janoski e Sung (2002)

Obaidat e Macchairolo (1994) aborda um sistema de rede neural multicamadas para segurança de acesso a computadores com o objetivo de identificar usuários do mesmo. Os vetores de entrada foram compostos pelos intervalos de tempo entre pressionamentos de teclas sucessivos criados pelos usuários ao digitar uma sequência conhecida de caracteres. Usando aprendizado supervisionado, cada vetor de entrada foi classificado em uma das várias classes, identificando assim o usuário que digitou a sequência de caracteres. Neste artigo, uma precisão máxima de classificação de 97,5% foi alcançada usando um classificador de padrões baseado em rede neural multicamadas *feedforward* treinada usando *backpropagation*, o algoritmo de retropropagação. Essa abordagem visa melhorar a segurança do acesso ao computador. Este artigo trouxe contribuições para esta proposta de dissertação na maneira de construir a arquitetura da rede neural e também no ajuste dos *hiperparâmetros*. Na mesma linha, o artigo de Mukkamala, Janoski e Sung (2002) estuda a detecção de invasões usando redes neurais e máquinas de vetores de suporte e a ideia central é descobrir padrões úteis ou características que descrevam o comportamento intrusivo de um usuário em um sistema e os autores usam este conjunto de características para construir classificadores que puderam reconhecer anomalias e intrusões conhecidas em tempo real. É usado um conjunto de dados de referência de uma competição de KDD

<sup>7</sup> Sensibilidade é a proporção de verdadeiros positivos: a capacidade do sistema em predizer corretamente a condição para casos que realmente a têm - É também conhecida como **Recall**.

(*Knowledge Discovery in Databases* — Descoberta de Conhecimento em Bases de Dados) projetada pela DARPA (Defense Advanced Research Projects Agency), e é demonstrado que classificadores eficientes e precisos podem ser construídos para detectar invasões. Ao final é comparado o desempenho de redes neurais e máquinas de vetores de suporte para a detecção de intrusões. Nesta proposta de dissertação, baseando-se neste artigo de [Mukkamala, Janoski e Sung \(2002\)](#) também serão avaliados os desempenhos de redes neurais e máquinas de vetores de suporte, mas para detecção de conflitos em políticas.

#### 2.10.4.4 [Jin, Cheu e Srinivasan \(2002\)](#) e [Debar, Becker e Siboni \(1992\)](#)

O trabalho de [Jin, Cheu e Srinivasan \(2002\)](#) aborda o desenvolvimento e uso de uma rede neural probabilística construtiva (**CPNN** - *Constructive Probabilistic Neural Network*) na detecção de incidentes em rodovias, incluindo a construção e adaptação dos modelos. Esta CPNN foi estruturada com base no modelo Gaussiano de mistura e treinada por um algoritmo de ajuste dinâmico de decaimento (para correção dos erros). Os incidentes em rodovias, como colisões de veículos, podem ser extrapolados para um modelo de conflito entre agentes de um sistema. O modelo foi treinado e avaliado sobre um banco de dados de incidentes simulados em Singapura e adaptado para a rodovia I-880 na Califórnia sendo então investigada em ambientes on-line e off-line. Este artigo citado compara o desempenho do modelo CPNN e um modelo de rede neural probabilística básica (**BPNN** - *Basic Probabilistic Neural Network*). Já o artigo de [Debar, Becker e Siboni \(1992\)](#) estuda um componente de rede neural para um sistema de detecção de intrusão. O modelo *aprende* os hábitos que um usuário tem enquanto trabalha com o computador e emite avisos quando o comportamento atual não é consistente com os padrões *aprendidos* anteriormente. O modelo de rede neural é usado para modelar o comportamento do usuário como uma característica componente para o sistema de detecção de intrusão.

#### 2.10.5 Relacionamento dos trabalhos com a dissertação

Na detecção de conflitos em políticas, usam-se, comumente, abordagens como as de [Sarkis \(2017\)](#) e [Mohan et al. \(2012\)](#) — estritamente analíticas e formais, baseadas em análise de ontologias entre os atributos que compõem uma política e os relacionamentos e regras de propagação destas políticas ou mesmo estratégias como as de [Wang et al. \(2010\)](#) e [Ferraiolo, Atluri e Gavrila \(2011\)](#) que usam uma arquitetura que pode ser empregada como uma máquina de proteção de propósito geral usando métodos matemáticos formais para atingir seus objetivos. Dentro do conjunto de modelos formais, envolvendo relacionamentos, na detecção de conflitos, há também o trabalho de [Sun et al. \(2011\)](#), que usa o “propósito envolvido nos modelos de controle de acesso” para atingir seu fim. *Estes, fatalmente, analisam as políticas em pares ou em grupos sem filtros de agrupamentos.*

Existem os métodos baseados em requisitos como os propostos por [He e Antón](#)

(2009) que integram a especificação de política no processo de desenvolvimento de software, garantindo, assim, a consistência entre os artefatos de software e fornecendo orientação prescritiva sobre como especificar ACPs (*Access Control Policies*) — políticas de controle de acesso, mas que *tem o inconveniente de ocorrer durante o desenvolvimento e a fase de análise do sistema e não em tempo de execução do mesmo*.

Há, na literatura especializada são encontrados procedimentos como os descritos em Silvestre (2017) que utilizam lógica deôntica<sup>8</sup> para encontrar os conflitos. Estas abordagens citadas definem tipos de conflitos que podem ocorrer entre políticas computacionais e os tentam detectá-los, cada uma usando uma perspectiva específica.

Para detectar os conflitos entre políticas, nestes trabalhos citados anteriormente, estas foram analisadas, geralmente, em pares (e sem filtros para agrupamentos — quando os há) e mesmo quando foram verificadas múltiplas normas ou políticas, como em Silvestre (2017), *toda a base precisou ser “consultada” ou “varrida” novamente a cada conjunto de novas instâncias de políticas inseridas ou analisadas no sistema* (para que o conflito seja ou não detectado).

Porém, de acordo com Shoham e Tennenholz (1995) *esta forma de analisar políticas em pares é um problema NP-completo*, ou seja, ainda não foi provado que esta classe de problemas pode ser resolvida *em tempo polinomial*, sendo assim, *são tratados como computacionalmente custosos* a cada vez que uma instância nova de política é analisada (em tempo de execução, sendo, normalmente, exponencial).

Hwang et al. (2010), assim como Sarkis (2017), também desenvolve uma ferramenta, chamada ACPT (Access Control Test Policy), que ajuda a modelar e implementar políticas corretamente durante a modelagem, implementação e verificação de políticas, mas tem a desvantagem (ao menos em termos de custo computacional) de, também, verificar as políticas em pares (ou, ainda, até em grupos maiores) ou não contemplar essa análise em tempo de execução.

Há as técnicas e algoritmos de aprendizagem de máquina juntamente com as de mineração de dados foram utilizadas com resultados promissores na detecção de conflitos, principalmente em Obaidat e Macchairolo (1994), Chen (2011), bem como em Christodoulou e Kontogeorgou (2008) e Jin, Cheu e Srinivasan (2002). Estes estudos abordam problemas variados como detecção de colisões em voos, segurança de acesso computacional, incidentes em rodovias e intrusão de sistemas — todos de alguma forma relacionados à conflitos entre normas, regras, políticas ou direção e que são problemas que podem, tomadas as devidas precauções, serem extrapolados para o problema descrito e estudado neste trabalho.

Já os trabalhos de Bui, Stoller e Li (2019), Hachana, Cappens-Boulahia e Cappens

<sup>8</sup> A lógica *deôntica* é um tipo de lógica usada para analisar de modo formal as normas e as proposições que tratam dessas normas (SILVESTRE, 2017)

(2015), Kalaskar e Barkade (2018), Martin e Tao Xie (2006), Chakraborty, Sandhu e Krishnan (2019) e os de Xu e Stoller (2013) e Xu e Stoller (2014) que analisam, de formas diferentes, aspectos relacionados com a mineração de dados em políticas de controle de acesso. Entretanto, a maioria dos trabalhos citados tem a desvantagem de abordarem o conflito de políticas, em si, de forma mais periférica e secundária (até acidental), sendo que em nenhum destes trabalhos, o foco principal é a detecção de conflitos entre políticas propriamente ditas (sejam eles quais forem), concentrando-se primordialmente seja em migração/conversão de políticas de um modelo para outro; ou no problema de políticas refletirem fielmente o desejo do autor e até mesmo em outros contextos (muito específicos), como o gerenciamento de firewalls ou mesmo usando abordagens particulares demais, com o foco em regras de associação (que não se aplicam ou resolvem diretamente o problema investigado nesta dissertação).

Neste trabalho, propõem aplicar a mineração de dados com técnicas de aprendizagem de máquina, como possibilidade de solução na detecção de conflitos entre o crescente número de políticas computacionais de uma organização, tanto em tempo de design, quanto em tempo de execução (com prioridade para este último), buscando evitar o custo computacional elevado, se aproveitando, pois, da “história” temporal das políticas da organização, mediante o conhecimento adquirido, “treinado” e otimizado pelos algoritmos de aprendizagem de máquina. *Estes, pois, são os diferenciais deste trabalho e no que ele pode contribuir dentro do escopo deste problema.*

# 3 Experimentos/Resultados

Neste capítulo serão descritas as 3 abordagens diferentes que foram utilizadas e em cada uma delas, os principais algoritmos de classificação que foram utilizados. A primeira parte dos experimentos focaram em determinar quais os classificadores apresentaram melhor acurácia para a resolução do problema descrito na [subseção 1.1.2](#). A base para experimentos foi pequena, de apenas 68 políticas. Em seguida, dois outros datasets foram utilizados, um com 281 e outro com 430 políticas, o definitivo, em que a maioria dos experimentos foi realizada.

## 3.1 Forma geral dos experimentos

A forma geral de como a estrutura dos experimentos foram realizados para o problema proposto na [subseção 1.1.2](#) é a seguinte:

1. Definição do problema;
2. Coleta de dados;
3. Pré-processamento dos dados;
4. Engenharia e seleção de atributos;
5. Modelagem: definição, configuração e arquitetura da rede (ou modelagem dos hiperparâmetros do SVM);
6. Treinamento (Aprendizagem da rede neural e do SVM);
7. Testes e validação do modelo;
8. Avaliação e ajuste do modelo;
9. Apresentação dos resultados;

Este modelo de método experimental foi adaptado daqueles propostos em [Lima, Pinheiro e Santos \(2016\)](#), [Silva \(2016\)](#) e [Haykin \(2001\)](#). O item 1 já foi descrito na [subseção 1.1.2](#). As próximas seções trazem os passos 2 a 9.

## 3.2 Base de dados, pré-processamento e recursos computacionais

### 3.2.1 Datasets

Esta seção detalha os pormenores dos conjunto de dados (*datasets*) utilizados nos experimentos do Capítulo 3. Arquivos de dados com políticas de controle de acesso reais são difíceis de conseguir, até mesmo para fins acadêmicos, pois, como explicitado na seção 2.1, essas informações são valiosas e por questões estritas de segurança esses dados não são compartilhados.

Trabalhos relacionados, como os de (SARKIS, 2017) e (SILVESTRE, 2017), da mesma maneira, usaram formas de geração automática de políticas ou normas. Esta dissertação usou a mesma abordagem. Todos os *datasets* utilizados neste trabalho foram gerados com o mesmo programa, escrito em Python, chamado `geracao_politicas.py` e disponibilizado em <https://bit.ly/3qkJKks>.

A Figura 22 mostra o início do programa de geração automática de políticas.

Já as Figura 23 e Figura 24 demonstra a segunda e a terceira partes do programa de geração de políticas.

Para os experimentos iniciais, um arquivo de políticas foi gerado randomicamente a partir do proposto em Sarkis (2017) e, de acordo com o exposto na subseção 2.2.3. O arquivo gerado possui, inicialmente, cerca de 68 políticas nomeadas (constituindo a *fase de seleção*<sup>1</sup> da Mineração de Dados) e da fase coleta de dado do método proposto anteriormente.

Este arquivo foi usado nos testes preliminares da hipótese descrita na subseção 1.1.4 deste trabalho. Para este problema da detecção de conflitos diretos serão usadas técnicas de aprendizagem supervisionada. Para tanto, ao arquivo com as políticas, no *pré-processamento* foi acrescentada uma coluna rotulando os conflitos da seguinte forma: **1**: *conflito direto* e **0**: *sem conflito*. Esta estratégia é a mesma utilizada no trabalho de Davy, Jennings e Strassner (2008) onde ele usa um modelo de matriz de controle de acesso usando operações lógicas AND e OR para identificação de conflitos.

A figura 25 demonstra o aspecto do arquivo das políticas geradas para os experimentos deste trabalho. Na imagem, pode-se notar a *classe* (coluna) criada para guiar o aprendizado supervisionado dos algoritmos utilizados no estudo.

Ainda na fase de *pré-processamento*, a coluna 9 (Conflito) foi transformada do tipo de dado *Numérico para Nominal*. Para isso foi usado o software WEKA (descrito em Witten et al. (2016)) aplicado o filtro *NumericToNominal* do software. Além disso, tanto o primeiro atributo quanto as datas de ativação e desativação da política foram removidos, pois, dentro do escopo estudado neste trabalho, eles não influenciariam nos

<sup>1</sup> cf. seção 2.3 deste trabalho.

Figura 22 – Parte do programa para geração de políticas automaticamente

```

1 #Geração das políticas
2 """
3 Autor : Edkallenn Lima
4 Data : 18/04/2019
5 Função : Gera automaticamente as políticas de controle
6           de acesso. As políticas são geradas a partir
7           de listas com os valores das mesmas.
8           As instâncias geradas são todas randômicas.
9 Obs. :
10 """
11 from random import randint
12 import pandas as pd
13 import numpy as np
14
15 def get_aleatorio(max):
16     return randint(0,max-1)
17
18 def gera_uma_politica(num_politica):
19     #str = '';
20     numero = repr(num_politica+1)
21     string = 'Policy' + numero + ', ' \
22             + acesso[get_aleatorio(tamAcesso)] + ', ' \
23             + org[get_aleatorio(tamAcesso)] + ', ' \
24             + sujeito[get_aleatorio(tamAcesso)] + ', ' \
25             + acao[get_aleatorio(tamAcesso)] + ', ' \
26             + objeto[get_aleatorio(tamAcesso)]
27     #print(string)
28     return string
29
30 def exibe_politicas(array_politicas):
31     for i in range(0,len(array_politicas)):
32         linha = array_politicas[i]
33         print(linha)
34
35 def gera_politicas(politicas, quant):
36     for i in range(0,quant):
37         politicas.append(gera_uma_politica(i))

```

Fonte: compilação do autor

resultados finais. O primeiro atributo é o “nome” da política, na forma “PolicyXY”, onde XY é um número inteiro sequencial, iniciando em 1. O dataset, ao final, ficou com seis atributos, 5 previsores (Acesso, Organizacao, Sujeito, Acao e Objeto) e uma classe (o atributo ‘Conflito’).

Figura 23 – Segunda parte do programa para geração de políticas automaticamente

```

39 #listas com as opções das políticas
40 acesso = ["Permitted", "Forbidden", "Obliged"] #KP
41 org = ['UFAC', 'CCET', 'CCSJA', 'Administrative_Unit', 'CFET', 'Uninorte',
42         'Comite_Etica_Em_Pesquisa', 'CPA', 'Unidade_Administrativa',
43         'FAMETA', 'IFAC'] #ORG
44 sujeito = ['Secretario_de_Curso_Academico', 'Sandra_Maria_Soares_da_Rocha',
45             'Outro_Usuario', 'Secretario_de_Centros_Academicos',
46             'Jaider_Moreira_de_Almeida', 'Secretarios', 'Grupo_IPTU',
47             'Socorro_Pontes', 'Jose_Rodrigues_Bardalles', 'Grupo_Almoxarifado',
48             'Usuario_Qualquer', 'Joao_Josino',
49             'Secretario_de_Unidade_Administrativa', 'PROTOCOLIZADOR3',
50             'PROTOCOLIZADOR1', 'Joao_Paulo', 'Joao_Calvino', 'Maria_Das_Dores',
51             'Professor', 'Coordenador', 'Pro_Reitora_Academica',
52             'Setor_Administrativo', 'Joana_Siqueira', 'Francisco_Jose_Souza',
53             'FranciscoJose_Souza', 'Marcos_Ponte', 'Marcos_Ponts',
54             'Secretario_e_Unidade_Administrativa', 'Estagiario3',
55             'Estagiario1', 'Vanessa_Lima', 'Janaina_Souza',
56             'Usuario_Terceirizado', 'Jorge_Jesus', 'Aline_Moreira',
57             'Raimundo_Nonato', 'Francisco_Mendes', 'Italo_Calvino',
58             'Vanessa_Souza', 'Eliana_Maria_de_Souza', 'Francisco_Carlos',
59             'Raimunda_Souza', 'Marcos_Pontes', 'Ana_Ester'] #SR
60 acao = ['Abertura', 'Solicitar', 'Acessar', 'Gerar', 'Calcular',
61           'Matricular', 'Solicitacao', 'Analise', 'Requisitar', 'Criar',
62           'Inserir', 'Cadastrar', 'Nova', 'Alterar', 'Efetivar',
63           'LancarMedia', 'VoltarLancamento', 'SolicitacaoAbertura',
64           'Cancelamento', 'Acess', 'Record', 'Create', 'Generate', 'Open',
65           'Close'] #AA
66 objeto = ['Documentos', 'Produtos', 'Almoxarifado', 'Materiais',
67             'Planilhas_de_Calculo', 'IPTU', 'Portal_do_Aluno', 'Aluno',
68             'Central_de_Copias', 'Central_de_Copias_Analise', 'Material',
69             'Guia_de_Requisicao', 'Convencao', 'MatriculaAluno', 'Notas',
70             'Process', 'ProcNURCADesp', 'ProcessDispatch', 'BuildDispatch',
71             'FGTS', 'entral_de_Copias', 'Biblioteca'] #OV
72

```

Fonte: compilação do autor

### 3.2.2 Recursos computacionais

Dois **ambientes computacionais** foram utilizados para as tarefas de mineração: um **notebook** Intel Core i5 vPro-8350U (8<sup>a</sup> Geração de 64 bits com 1.70GHz e 8 GB de RAM, com SSD de 256 GB rodando Windows 10 Pro.

O outro ambiente foi uma **Estação de Trabalho** Intel Core i7 vPro-6700 de 8<sup>a</sup> geração de 64 bits com 3.40 Ghz e 20 GB de RAM, com HD de 1 TB rodando o Windows 10 Pro.

### 3.2.3 Experimentos iniciais - arquivo com 68 políticas

O arquivo de 68 políticas criado com o programa descrito em 22 está disponível no endereço: <https://bit.ly/3io2PJf>. A Figura 26 mostra como ficou o arquivo com 68 políticas após a execução do pré-processamento.

Figura 24 – Terceira Parte do programa para geração de políticas automaticamente

```

73 tamAcesso = len(acesso)
74 tamOrg = len(org)
75 tamSujeito = len(sujeito)
76 tamAcao = len(acao)
77 tamObjeto = len(objeto)
78
79 politicas = []
80 quantidade_gerada = 100
81 gera_politicas(politicas, quantidade_gerada)
82
83 teste = pd.DataFrame(np.array(politicas), columns=['politica'])
84 teste.to_csv('politicas_geradas.csv', index=False)
85
86 #retira as aspas
87 with open("politicas_geradas.csv", "rt") as fin:
88     with open("politicas_geradas_out.csv", "wt") as fout:
89         for line in fin:
90             fout.write(line.replace("\\"", ""))
91
92 #altera a primeira linha pelas colunas corretas
93 from io import StringIO
94 buffer = StringIO()
95
96 with open('politicas_geradas_out.csv', 'r') as stream:
97     for index, line in enumerate(stream):
98         # index == 0 representa a primeira linha do arquivo:
99         buffer.write('Politica,Acesso,Organizacao,Sujeito,Acao,Objeto\n' if index == 0 else line)
100
101 with open('politicas_geradas_final.csv', 'w') as stream:
102     stream.write(buffer.getvalue())

```

Fonte: compilação do autor

Figura 25 – Aspecto do arquivo das políticas geradas para os experimentos

```

1 Politica,Acesso,Organizacao,Sujeito,Acao,Objeto,DataAtivacao,DataDesativacao,Conflito
2 Policy01, Permitted,UFAC, Secretario_de_Curso_Academico, Abertura, Documentos, Tue Mar 24 16:23:59 GMT-05:00 2015, Thu Sep 24 16:23:59 GMT-05:00 2020,0
3 Policy02, Forbidden,UFAC, Sandra_Maria_Soares_da_Rocha, Abertura, Documentos, Tue Mar 24 16:23:59 GMT-05:00 2015, Thu Sep 24 16:23:59 GMT-05:00 2020,0
4 Policy03, Permitted,UFAC, null, Solicitar, Produtos, Tue Mar 24 16:23:59 GMT-05:00 2015, Thu Sep 24 16:23:59 GMT-05:00 2020,0
5 Policy04, Forbidden,UFAC, Secretario_de_Centros_Academicos, Solicitar, Produtos, Tue Mar 24 16:23:59 GMT-05:00 2015, Thu Sep 24 16:23:59 GMT-05:00 2020,0
6 Policy05, Permitted,UFAC, null, Acessar,Almoxarifado, Tue Mar 24 16:23:59 GMT-05:00 2015, Thu Sep 24 16:23:59 GMT-05:00 2020,0
7 Policy06, Forbidden,UFAC, Jaider_Moreira_da_Almeida, Acessar,Almoxarifado, Tue Mar 24 16:23:59 GMT-05:00 2015, Thu Sep 24 16:23:59 GMT-05:00 2020,0
8 Policy07, Permitted,UFAC, Secretarios, Solicitar, Materiais, Tue Mar 24 16:23:59 GMT-05:00 2015, Thu Sep 24 16:23:59 GMT-05:00 2020,0
9 Policy08, Forbidden,UFAC, Secretario_de_Centros_Academicos, Solicitar, Materiais, Tue Mar 24 16:23:59 GMT-05:00 2015, Thu Sep 24 16:23:59 GMT-05:00 2020,0
10 Policy09, Permitted,UFAC, Grupo_IPTU, Gerar, Planilhas_de_Calculo, Tue Mar 24 16:23:59 GMT-05:00 2015, Thu Sep 24 16:23:59 GMT-05:00 2020,0
11 Policy10, Permitted,UFAC, Grupo_IPTU, Calcular, IPTU, Tue Mar 24 16:23:59 GMT-05:00 2015, Thu Sep 24 16:23:59 GMT-05:00 2020,1
12 Policy11, Forbidden,UFAC, Grupo_IPTU, Calcular, IPTU, Tue Mar 24 16:23:59 GMT-05:00 2015, Thu Sep 24 16:23:59 GMT-05:00 2020,1
13 Policy12, Permitted,UFAC, Socorro_Pontes, Acessar, Portal_do_Aluno, Tue Mar 24 16:23:59 GMT-05:00 2015, Thu Sep 24 16:23:59 GMT-05:00 2020,0
14 Policy13, Permitted,UFAC, Socorro_Pontes, Matricular,Aluno, Tue Mar 24 16:23:59 GMT-05:00 2015, Thu Sep 24 16:23:59 GMT-05:00 2020,0
15 Policy14, Permitted,UFAC, Jose_Rodrigues_Bardalles, Solicitacao, Central_de_Copias, Tue Mar 24 16:23:59 GMT-05:00 2015, Thu Sep 24 16:23:59 GMT-05:00 2020,0
16 Policy15, Permitted,UFAC, Jose_Rodrigues_Bardalles, Analise, Central_de_Copias_Analise, Tue Mar 24 16:23:59 GMT-05:00 2015, Thu Sep 24 16:23:59 GMT-05:00 2020,0
17 Policy16, Permitted,CET, Jose_Rodrigues_Bardalles, Solicitacao, Central_de_Copias, Tue Mar 24 16:23:59 GMT-05:00 2015, Thu Sep 24 16:23:59 GMT-05:00 2020,0
18 Policy17, Permitted,CCSA, Jose_Rodrigues_Bardalles, Analise, Central_de_Copias, Tue Mar 24 16:23:59 GMT-05:00 2015, Thu Sep 24 16:23:59 GMT-05:00 2020,0
19 Policy18, Permitted,UFAC, Grupo_Almoxarifado, Requisitar, Material, Tue Mar 24 16:23:59 GMT-05:00 2015, Thu Sep 24 16:23:59 GMT-05:00 2020,0
20 Policy19, Forbidden,UFAC, Grupo_Almoxarifado, Criar, Guia_de_Requisicao, Tue Mar 24 16:23:59 GMT-05:00 2015, Thu Sep 24 16:23:59 GMT-05:00 2020,0
21 Policy20, Forbidden,UFAC, Grupo_Almoxarifado, Inserir, Guia_de_Requisicao, Tue Mar 24 16:23:59 GMT-05:00 2015, Thu Sep 24 16:23:59 GMT-05:00 2020,0
22 Policy21, Permitted,UFAC, Usuario_Qualquer, Cadastrar, Convencao, Tue Mar 24 16:23:59 GMT-05:00 2015, Thu Sep 24 16:23:59 GMT-05:00 2020,1
23 Policy22, Forbidden,UFAC, Usuario_Qualquer, Nova, Convencao, Tue Mar 24 16:23:59 GMT-05:00 2015, Thu Sep 24 16:23:59 GMT-05:00 2020,1
24 Policy23, Forbidden,UFAC, Usuario_Qualquer, Alterar, Convencao, Tue Mar 24 16:23:59 GMT-05:00 2015, Thu Sep 24 16:23:59 GMT-05:00 2020,1
25 Policy24, Forbidden,UFAC, Usuario_Qualquer, Cadastrar, Convencao, Tue Mar 24 16:23:59 GMT-05:00 2015, Thu Sep 24 16:23:59 GMT-05:00 2020,1
26 Policy25, Permitted,UFAC, Usuario_Qualquer, Nova, Convencao, Tue Mar 24 16:23:59 GMT-05:00 2015, Thu Sep 24 16:23:59 GMT-05:00 2020,1
27 Policy26, Permitted,UFAC, Usuario_Qualquer, Alterar, Convencao, Tue Mar 24 16:23:59 GMT-05:00 2015, Thu Sep 24 16:23:59 GMT-05:00 2020,1
28 Policy27, Permitted,UFAC, Socorro_Pontes, Solicitar, MatriculaAluno, Tue Mar 24 16:23:59 GMT-05:00 2015, Thu Sep 24 16:23:59 GMT-05:00 2020,0
29 Policy28, Permitted,UFAC, Socorro_Pontes, Efetivar, MatriculaAluno, Tue Mar 24 16:23:59 GMT-05:00 2015, Thu Sep 24 16:23:59 GMT-05:00 2020,0
30 Policy29, Permitted,UFAC, Joao_Josino, LancarMedia, Notas, Tue Mar 24 16:23:59 GMT-05:00 2015, Thu Sep 24 16:23:59 GMT-05:00 2020,1
31 Policy30, Permitted,UFAC, Joao_Josino, VoltarLancamento, Notas, Tue Mar 24 16:23:59 GMT-05:00 2015, Thu Sep 24 16:23:59 GMT-05:00 2020,0
32 Policy31, Forbidden,UFAC, Joao_Josino, LancarMedia, Notas, Tue Mar 24 16:23:59 GMT-05:00 2015, Thu Sep 24 16:23:59 GMT-05:00 2020,1
33 Policy32, Permitted,UFAC, Joao_Josino, VoltarLancamento, Notas, Tue Mar 24 16:23:59 GMT-05:00 2015, Thu Sep 24 16:23:59 GMT-05:00 2020,0
34 Policy33, Permitted,UFAC, Secretario_de_Unidade_Administrativa, SolicitacaoAbertura, Documentos, Tue Mar 24 16:23:59 GMT-05:00 2015, Thu Sep 24 16:23:59 GMT-05:00 2020,0
35 Policy34, Forbidden,UFAC, Secretario_de_Unidade_Administrativa, Cancelamento, Documentos, Tue Mar 24 16:23:59 GMT-05:00 2015, Thu Sep 24 16:23:59 GMT-05:00 2020,0

```

Fonte: compilação do autor

### 3.2.4 Resultados - Arquivo com 68 políticas

Logo após, experimentos foram realizados de forma preliminar no *dataset* envolvendo os diversos algoritmos com alguns parâmetros sendo alterados (a maioria com pequena ou nenhuma variação) para se chegar às técnicas finais que foram utilizadas nos posteriores

Figura 26 – Aspecto do arquivo com 68 políticas após o pré-processamento

	Acesso	Organizacao	Sujeito	Acao	Objeto	Conflito
2	Permitted	UFAC	Secretario_de_Curso_Academico	Abertura	Documentos	0
3	Forbidden	UFAC	Sandra_Maria_Soares_da_Rocha	Abertura	Documentos	0
4	Permitted	UFAC	Outro_Usuario	Solicitar	Produtos	0
5	Forbidden	UFAC	Secretario_de_Centros_Academicos	Solicitar	Produtos	0
6	Permitted	UFAC	Outro_Usuario	Acessar	Almoxarifado	0
7	Forbidden	UFAC	Jaider_Moreira_de_Almeida	Acessar	Almoxarifado	0
8	Permitted	UFAC	Secretarios	Solicitar	Materiais	0
9	Forbidden	UFAC	Secretario_de_Centros_Academicos	Solicitar	Materiais	0
10	Permitted	UFAC	Grupo_IPTU	Gerar	Planilhas_de_Calculo	0
11	Permitted	UFAC	Grupo_IPTU	Calcular	IPTU	1
12	Forbidden	UFAC	Grupo_IPTU	Calcular	IPTU	1
13	Permitted	UFAC	Socorro_Pontes	Acessar	Portal_do_Aluno	0
14	Permitted	UFAC	Socorro_Pontes	Matricular	Aluno	0

Fonte: compilação do autor

experimentos e que serão explicitadas a seguir.

Utilizando-se a ferramenta WEKA descrita em (WITTEN et al., 2016) para as últimas fases da Mineração de Dados, foram utilizados alguns algoritmos de classificação que segundo Wu et al. (2007) são alguns dos mais utilizados na Mineração de Dados. Para avaliar o desempenho definiu-se o método *cross-validation* com 10 folds. Em seguida suas acuráncias foram comparadas.

A tabela 1 mostra o resultado destes experimentos:

Tabela 1 – Acurácia dos classificadores

Classificador/Algoritmo	Acurácia
Multi Layer Perceptron	0.9705
SVM kernel linear	0.9705
Random Forest	0.9542
J48	0.9411
K* (K-star)	0.9411
Trees LMT	0.9117
IBk (KNN, com k =1)	0.8970
JRip	0.8970
Nayve Bayes	0.8674
Random Tree	0.7794

Fonte: Elaborada pelo autor mediante experimentos

As figuras 27 e 28 mostram os resultados das classificações do arquivo de políticas usando, respectivamente, os classificadores/algoritmos: *SVM* e o *MultiLayer Perceptron* (que foram os principais citados nos trabalhos relacionados, cf. descrito na seção 2.10). Cf. mostrado na Tabela 1, os classificadores SVM e MultiLayerPerceptron ficaram empata-

dos em relação à acurácia. Provavelmente, a base pequena possa ter, de alguma forma, influenciado no resultado.

Figura 27 – Saída do software WEKA. Classificador: SVM

```
==> Classifier model (full training set) ==>

LibSVM wrapper, original code by Yasser EL-Manzalawy (= WLSVM)

Time taken to build model: 0 seconds

==> Stratified cross-validation ==
==> Summary ==>

Correctly Classified Instances      66          97.0588 %
Incorrectly Classified Instances   2           2.9412 %
Kappa statistic                   0.9344
Mean absolute error               0.0294
Root mean squared error          0.1715
Relative absolute error          6.6784 %
Root relative squared error     36.5941 %
Total Number of Instances        68

==> Detailed Accuracy By Class ==>

      TP Rate  FP Rate  Precision  Recall   F-Measure  MCC      ROC Area  PRC Area  Class
0,957    0,000    1,000     0,957    0,978     0,936    0,978    0,986     0
1,000    0,043    0,917     1,000     0,957    0,936    0,978    0,917     1
Weighted Avg.  0,971    0,014    0,973     0,971    0,971    0,936    0,978    0,964

==> Confusion Matrix ==>

  a  b  <-- classified as
44  2 |  a = 0
  0 22 |  b = 1
```

Fonte: compilação do autor

Figura 28 – Saída do software WEKA. Classificador: *MultiLayer Perceptron*

```
==> Stratified cross-validation ==
==> Summary ==>

Correctly Classified Instances      66          97.0588 %
Incorrectly Classified Instances   2           2.9412 %
Kappa statistic                   0.9344
Mean absolute error               0.0574
Root mean squared error          0.1664
Relative absolute error          13.029 %
Root relative squared error     35.5106 %
Total Number of Instances        68

==> Detailed Accuracy By Class ==>

      TP Rate  FP Rate  Precision  Recall   F-Measure  MCC      ROC Area  PRC Area  Class
0,957    0,000    1,000     0,957    0,978     0,936    0,996    0,998     0
1,000    0,043    0,917     1,000     0,957    0,936    0,996    0,992     1
Weighted Avg.  0,971    0,014    0,973     0,971    0,971    0,936    0,996    0,996

==> Confusion Matrix ==>

  a  b  <-- classified as
44  2 |  a = 0
  0 22 |  b = 1
```

Fonte: compilação do autor

Assim, com uma acurácia de 97,05% na classificação dos conflitos diretos, tanto o algoritmo Multilayer Perceptron (que implementa uma rede neural sigmoide multicamadas) quanto o SVM tiveram a maior acurácia, com 95,7% de *TP rate*(taxa de *True Positives* ou verdadeiros positivos) para a classe 0 (não há conflito) e, somente, 4,3% de *FP rate*(taxa de Falsos Positivos) para a classe 1 (quando há conflito direto). Nos experimentos realizados (assim como se esperava inicialmente na hipótese deste trabalho — baseado em evidências

da literatura), estes modelos algorítmicos foram os mais eficientes para a detecção de conflitos diretos.

A interface visual do WEKA é interessante para observar o comportamento inicial dos algoritmos, mas para as arquiteturas de redes neurais e seus diversos parâmetros, configurações e quantidade de camadas ocultas, entre outras configurações levaram a outros experimentos com outras abordagens. Para isso e com o objetivo de evitar o *overfitting*, como explicado na [subseção 2.5.3.1](#) novos procedimentos e ferramentas foram adotados, incluindo, alterando a estratégia de validação.

### 3.3 Outros experimentos - arquivos com 281 e 430 políticas

Foi gerado, então, dois novos arquivos de políticas, também randomicamente, e, ainda, a partir do proposto em [Sarkis \(2017\)](#) e, cf. o exposto na [subseção 2.2.3](#) usando o software demonstrado em [22](#). Os arquivos gerados agora, possui, 281 e 430 políticas nomeadas. O arquivo de 281 políticas está disponível em <https://bit.ly/2MW1GwA>.

Figura 29 – Parte do arquivo com 281 políticas após o pré-processamento

265	Permitted	Unidade_Administrativa	Secretarios	Record	BuildDispatch	0
266	Permitted	CPA	Joao_Paulo	Analise	Central_de_Copias	0
267	Permitted	CFET	Joao_Calvino	Requisitar	Material	0
268	Forbidden	CFET	Joao_Calvino	Criar	Guia_de_Requisicao	0
269	Forbidden	CFET	Joao_Calvino	Inserir	Guia_de_Requisicao	0
270	Forbidden	IFAC	Ana_Ester	Generate	Process	0
271	Obliged	IFAC	Ana_Ester	Open	Process	1
272	Permitted	Unidade_Administrativa	Professor	Solicitacao	Central_de_Copias	0
273	Permitted	Unidade_Administrativa	Professor	Analise	Central_de_Copias_Analise	0
274	Permitted	Comite_Etica_Em_Pesquisa	Professor	Solicitacao	Central_de_Copias	0
275	Permitted	CPA	Professor	Analise	Central_de_Copias	0
276	Permitted	IFAC	Professor	Requisitar	Material	0
277	Permitted	IFAC	Coordenador	Requisitar	Material	0
278	Permitted	IFAC	Coordenador	Solicitacao	Central_de_Copias	0

Fonte: compilação do autor

Os mesmos filtros anteriores foram aplicados:

- a coluna 9 (Conflito) foi transformada do tipo de dado *Numérico para Nominal*. Este atributo é a classe;
- O primeiro atributo, o “nome” da política, na forma “PolicyXY”, onde XY é um número inteiro sequencial, iniciando em 1 foi removido;
- Tanto as datas de ativação quanto de desativação da política foram removidas;
- O dataset, ao final, ficou com seis atributos, 5 previsores (Acesso, Organizacao, Sujeito, Acao e Objeto) e uma classe (o atributo ‘Conflito’).

Os resultados para os algoritmos (ainda usando a ferramenta Weka) foram os seguintes:

Para o MultiLayer Perceptron, a Tabela 2 mostra como as acuráncias ficaram com os arquivos com quantidades diferentes de políticas.

Tabela 2 – Acurácia do MLP

Qtd. de Políticas	Acurácia
68	97.05
281	98.73
430	99.28

Fonte: Elaborada pelo autor mediante experimentos

Para o classificador SVM, a Tabela 3 mostra como as acuráncias ficaram com os arquivos com quantidades diferentes de políticas.

Tabela 3 – Acurácia do SVM

Qtd. de Políticas	Acurácia
68	97.05
281	96.40
430	99.28

Fonte: Elaborada pelo autor mediante experimentos

Mesmo com uma leve queda na acurácia do SVM no arquivo de 281 políticas, percebe-se que, quanto maior o número de políticas, é crescente a acurácia do classificador e, portanto, melhor é a classificação.

### 3.3.1 Experimentos com Pandas, NumPy e sklearn - arquivo de 430 políticas

Outros experimentos foram realizados utilizando as bibliotecas Pandas, descrita em McKinney (2010), NumPy, pormenorizada em Oliphant (2006) e sklearn, detalhado em Pedregosa et al. (2011) além do Notebook Jupyter, caracterizado em Kluyver et al. (2016).

O notebook criado demonstra o treinamento de uma rede neural Rede Neural Multicamadas usando o classificador **MLPClassifier** da biblioteca **sklearn**.

No arquivo, é demonstrado os experimentos na construção de uma arquitetura de uma rede neural com a estratégia de testes *holdout* sendo a divisão da base (split) em atributos previsores e classe com cerca de 75% da base sendo usada para treinamento da rede e 25% para teste.

Há também um pré-processamento importante focado em um tratamento dos dados categóricos do *dataset* e sua conversão para dados numéricos e divisão da base original em dois conjuntos de dados (previsores e classe).

Todos os atributos categóricos do dataset de políticas (o maior, com 430 instâncias) foram transformados para numéricos sendo um dicionário de dados construído para isso utilizando uma técnica chamada codificação, semelhante à da classe LabelEncoder da biblioteca `sklearn`. Basicamente, o processo codifica rótulos de destino com valores entre 0 e  $n$ -classes – 1. Isto é importante, pois alguns algoritmos só trabalham com valores numéricos (como o MultiLayerPerceptron, o SVM entre outros).

Os passos foram os seguintes:

Primeiramente a base foi importada da seguinte forma, como demonstrado na [Figura 30](#) mostrando o aspecto inicial do dataset.

Figura 30 – Aspecto do dataset importado

In [4]:	<code>base.shape</code>																																											
<b>Out[4]:</b>	(281, 6)																																											
In [5]:	<code>base.head()</code>																																											
<b>Out[5]:</b>	<table border="1"> <thead> <tr> <th></th> <th>Acesso</th> <th>Organizacao</th> <th>Sujeito</th> <th>Acao</th> <th>Objeto</th> <th>Conflito</th> </tr> </thead> <tbody> <tr> <td>0</td> <td>Permitted</td> <td>UFAC</td> <td>Secretario_de_Curso_Academico</td> <td>Abertura</td> <td>Documentos</td> <td>0</td> </tr> <tr> <td>1</td> <td>Forbidden</td> <td>UFAC</td> <td>Sandra_Maria_Soares_da_Rocha</td> <td>Abertura</td> <td>Documentos</td> <td>0</td> </tr> <tr> <td>2</td> <td>Permitted</td> <td>UFAC</td> <td>Outro_Usuario</td> <td>Solicitar</td> <td>Produtos</td> <td>0</td> </tr> <tr> <td>3</td> <td>Forbidden</td> <td>UFAC</td> <td>Secretario_de_Centros_Academicos</td> <td>Solicitar</td> <td>Produtos</td> <td>0</td> </tr> <tr> <td>4</td> <td>Permitted</td> <td>UFAC</td> <td>Outro_Usuario</td> <td>Acessar</td> <td>Almoxarifado</td> <td>0</td> </tr> </tbody> </table>			Acesso	Organizacao	Sujeito	Acao	Objeto	Conflito	0	Permitted	UFAC	Secretario_de_Curso_Academico	Abertura	Documentos	0	1	Forbidden	UFAC	Sandra_Maria_Soares_da_Rocha	Abertura	Documentos	0	2	Permitted	UFAC	Outro_Usuario	Solicitar	Produtos	0	3	Forbidden	UFAC	Secretario_de_Centros_Academicos	Solicitar	Produtos	0	4	Permitted	UFAC	Outro_Usuario	Acessar	Almoxarifado	0
	Acesso	Organizacao	Sujeito	Acao	Objeto	Conflito																																						
0	Permitted	UFAC	Secretario_de_Curso_Academico	Abertura	Documentos	0																																						
1	Forbidden	UFAC	Sandra_Maria_Soares_da_Rocha	Abertura	Documentos	0																																						
2	Permitted	UFAC	Outro_Usuario	Solicitar	Produtos	0																																						
3	Forbidden	UFAC	Secretario_de_Centros_Academicos	Solicitar	Produtos	0																																						
4	Permitted	UFAC	Outro_Usuario	Acessar	Almoxarifado	0																																						

Fonte: compilação do autor

A partir daí, foram selecionados da base todas as linhas dos atributos do *dataset* que estavam com os tipos *object*. Foram procurados valores nulos e não foram encontrados.

Foi utilizada uma técnica que transforma um atributo categórico com  $k$  valores em uma representação numérica com valores inteiros para cada  $k$  valor chamada *label encoder*, ou seja, ela codifica os rótulos de destino com valores entre 1 e  $n$ -classes – 1. Há vantagens e desvantagens nessa abordagem. Elas estão discutidas em detalhes em [Sarkar, Bali e Sharma \(2017\)](#).

A [Figura 31](#) demonstra como este procedimento foi realizado para o atributo que representa o acesso (Permitido, Proibido e Obrigatório).

Uma função para realizar o encode automático foi criada. Ela está disponível em <https://bit.ly/3qoILsX>.

Em seguida a base foi dividida em atributos previsores e a classe. Os previsores são as colunas que representam a política em si e a classe é a representação binária do conflito.

Figura 31 – Engenharia de atributos - dados categóricos textuais

In [15]:	#Usando dicionarios para trocar os valores das colunas acesso = {"Acesso": {"Permitted":1, "Forbidden": 2, "Obliged": 3}} obj_df.replace(acesso, inplace=True) obj_df.head()																																				
Out[15]:	<table border="1"> <thead> <tr> <th></th> <th>Acesso</th> <th>Organizacao</th> <th>Sujeito</th> <th>Acao</th> <th>Objeto</th> </tr> </thead> <tbody> <tr> <td>0</td> <td>1</td> <td>UFAC</td> <td>Secretario_de_Curso_Academico</td> <td>Abertura</td> <td>Documentos</td> </tr> <tr> <td>1</td> <td>2</td> <td>UFAC</td> <td>Sandra_Maria_Soares_da_Rocha</td> <td>Abertura</td> <td>Documentos</td> </tr> <tr> <td>2</td> <td>1</td> <td>UFAC</td> <td></td> <td>Outro_Usuario</td> <td>Produtos</td> </tr> <tr> <td>3</td> <td>2</td> <td>UFAC</td> <td>Secretario_de_Centros_Academicos</td> <td>Solicitar</td> <td>Produtos</td> </tr> <tr> <td>4</td> <td>1</td> <td>UFAC</td> <td></td> <td>Outro_Usuario</td> <td>Almoxarifado</td> </tr> </tbody> </table>		Acesso	Organizacao	Sujeito	Acao	Objeto	0	1	UFAC	Secretario_de_Curso_Academico	Abertura	Documentos	1	2	UFAC	Sandra_Maria_Soares_da_Rocha	Abertura	Documentos	2	1	UFAC		Outro_Usuario	Produtos	3	2	UFAC	Secretario_de_Centros_Academicos	Solicitar	Produtos	4	1	UFAC		Outro_Usuario	Almoxarifado
	Acesso	Organizacao	Sujeito	Acao	Objeto																																
0	1	UFAC	Secretario_de_Curso_Academico	Abertura	Documentos																																
1	2	UFAC	Sandra_Maria_Soares_da_Rocha	Abertura	Documentos																																
2	1	UFAC		Outro_Usuario	Produtos																																
3	2	UFAC	Secretario_de_Centros_Academicos	Solicitar	Produtos																																
4	1	UFAC		Outro_Usuario	Almoxarifado																																

Fonte: compilação do autor

Figura 32 – Aspecto dos atributos previsores

In [39]:	previsores																																																																																			
Out[39]:	<table border="1"> <thead> <tr> <th></th> <th>Acesso</th> <th>Organizacao</th> <th>Sujeito</th> <th>Acao</th> <th>Objeto</th> </tr> </thead> <tbody> <tr> <td>0</td> <td>1</td> <td></td> <td>5</td> <td>25</td> <td>13</td> <td>5</td> </tr> <tr> <td>1</td> <td>2</td> <td></td> <td>5</td> <td>38</td> <td>13</td> <td>5</td> </tr> <tr> <td>2</td> <td>1</td> <td></td> <td>5</td> <td>2</td> <td>4</td> <td>11</td> </tr> <tr> <td>3</td> <td>2</td> <td></td> <td>5</td> <td>33</td> <td>4</td> <td>11</td> </tr> <tr> <td>4</td> <td>1</td> <td></td> <td>5</td> <td>2</td> <td>8</td> <td>12</td> </tr> <tr> <td>...</td> <td>...</td> <td></td> <td>...</td> <td>...</td> <td>...</td> <td>...</td> </tr> <tr> <td>276</td> <td>1</td> <td></td> <td>2</td> <td>6</td> <td>1</td> <td>2</td> </tr> <tr> <td>277</td> <td>1</td> <td></td> <td>8</td> <td>6</td> <td>1</td> <td>2</td> </tr> <tr> <td>278</td> <td>2</td> <td></td> <td>2</td> <td>16</td> <td>8</td> <td>16</td> </tr> <tr> <td>279</td> <td>1</td> <td></td> <td>2</td> <td>5</td> <td>1</td> <td>20</td> </tr> <tr> <td>280</td> <td>2</td> <td></td> <td>2</td> <td>29</td> <td>9</td> <td>1</td> </tr> </tbody> </table> <p>281 rows x 5 columns</p>		Acesso	Organizacao	Sujeito	Acao	Objeto	0	1		5	25	13	5	1	2		5	38	13	5	2	1		5	2	4	11	3	2		5	33	4	11	4	1		5	2	8	12	...	...		...	...	...	...	276	1		2	6	1	2	277	1		8	6	1	2	278	2		2	16	8	16	279	1		2	5	1	20	280	2		2	29	9	1
	Acesso	Organizacao	Sujeito	Acao	Objeto																																																																															
0	1		5	25	13	5																																																																														
1	2		5	38	13	5																																																																														
2	1		5	2	4	11																																																																														
3	2		5	33	4	11																																																																														
4	1		5	2	8	12																																																																														
...	...		...	...	...	...																																																																														
276	1		2	6	1	2																																																																														
277	1		8	6	1	2																																																																														
278	2		2	16	8	16																																																																														
279	1		2	5	1	20																																																																														
280	2		2	29	9	1																																																																														

Fonte: compilação do autor

O aspecto dos atributos previsores ficou como o mostrado na [Figura 32](#). Já a classe ficou com o aspecto da [Figura 33](#).

Em seguida os atributos foram transformados usando padronização para manter as variáveis na mesma ordem de grandeza. Na padronização, a média se iguala a 0 e o desvio-padrão se mantém em 1. A fórmula da padronização é a seguinte:

$$z = \frac{x - \mu}{\sigma} \quad (3.1)$$

onde  $\mu$  é a média aritmética e  $\sigma$  é o desvio-padrão dos dados. Como todos os dados estão agora em formato numérico, é um passo importante.

O código para a padronização foi o [Código 3.1](#), abaixo:

#### Código 3.1 – Código da Padronização

```
10 from sklearn.preprocessing import StandardScaler
11 scaler = StandardScaler()
12 previsores_transformados = scaler.fit_transform(previsores)
```

Assim os dados foram padronizados e ficaram na mesma escala. Todos os algoritmos que foram padronizados utilizaram este mesmo algoritmo. Foi gerado, então um novo conjunto de dados de treinamento com 75% do *dataset* (sendo escolhidos randomicamente). Deixando, assim, 25% da base para validação.

Figura 33 – Aspecto do atributo classe

```
In [ ]: classe
Out[ ]: array([0, 0, 0, 0, 0, 0, 0, 0, 1, 1, 0, 0, 0, 0, 0, 0, 0, 0, 0, 0, 0, 0, 0, 0, 1, 1,
1, 1, 1, 0, 0, 1, 0, 1, 0, 0, 0, 1, 1, 1, 1, 1, 1, 1, 1, 1, 1, 1, 1, 1, 1, 1,
1, 1, 0, 0, 0, 0, 0, 0, 0, 0, 0, 0, 0, 0, 0, 0, 0, 0, 0, 0, 0, 0, 0, 0, 0, 0, 0, 0,
0, 0, 0, 0, 0, 0, 0, 0, 0, 1, 1, 1, 0, 0, 0, 0, 0, 0, 0, 0, 0, 0, 0, 0, 0, 0, 0, 0,
1, 1, 1, 1, 1, 0, 0, 1, 0, 1, 0, 0, 0, 1, 1, 1, 1, 1, 1, 1, 1, 1, 1, 1, 1, 1, 1,
1, 1, 1, 1, 1, 0, 0, 0, 0, 0, 0, 0, 0, 0, 0, 0, 0, 0, 0, 0, 0, 0, 0, 0, 0, 0, 0, 0, 0,
1, 1, 1, 1, 1, 0, 0, 0, 0, 0, 0, 0, 0, 0, 0, 0, 0, 0, 0, 0, 0, 0, 0, 0, 0, 0, 0, 0, 0,
0, 0, 0, 0, 1, 0, 0, 0, 0, 0, 0, 0, 0, 0, 0, 0, 0, 0, 0, 1, 1, 1, 0, 0, 0, 0, 0, 0, 0, 0,
0, 0, 0, 0, 1, 1, 1, 1, 1, 0, 0, 1, 0, 0, 1, 0, 0, 0, 0, 0, 0, 0, 0, 0, 0, 0, 1, 1, 1,
1, 1, 1, 1, 1, 1, 0, 0, 0, 0, 0, 0, 0, 0, 0, 0, 0, 0, 0, 0, 0, 0, 0, 0, 0, 0, 0, 0, 0, 0,
1, 0, 0, 0, 0, 0, 0, 0, 0, 1, 0, 0, 0, 0, 0, 0, 0, 0, 0, 0, 0, 0, 0, 0, 0, 0, 0, 0, 0, 1,
1, 1, 0, 0, 0, 0, 0, 0, 0, 0, 1, 1, 1, 1, 1, 1, 1, 1, 1, 1, 1, 1, 1, 1, 1, 1, 1, 1, 1, 1,
0, 0, 1, 1, 1, 1, 1, 1, 1, 1, 1, 1, 1, 1, 1, 1, 1, 1, 1, 1, 1, 1, 1, 1, 1, 1, 1, 1, 1, 1, 1,
0, 0, 0, 0, 0, 0, 0, 0, 0, 0, 0, 0, 0, 0, 0, 0, 0, 0, 0, 0, 0, 0, 0, 0, 0, 0, 0, 0, 0, 0, 0, 0,
```

Fonte: compilação do autor

Logo em seguida, um modelo de Multi-Layer Perceptron foi criado usando o classificador **MLPClassifier** da biblioteca **sklearn** com os seguintes hiperparâmetros, mostrados no [Código 3.2](#):

#### Código 3.2 – Hiperparâmetros do MLPClassifier

```
10 verbose = True ,
11 max_iter=10000,
12 tol = 0.000010 ,
13 solver = 'adam' ,
14 hidden_layer_sizes=(32) ,
15 shuffle=False ,
16 activation='relu' ,
17 batch_size=40
```

Onde, respectivamente estão configuradas, o número máximo de épocas de treinamento (10000), a tolerância (0.000010), a função de otimização de peso ('adam' refere-se a

um otimizador estocástico baseado em gradiente descendente), a quantidade de neurônios na única camada oculta, se as amostras devem ser embaralhadas em cada iteração (marcado como falso) e a função de ativação da camada oculta (função de ativação ReLU).

A Figura 34 mostra o código no notebook e as iterações finais onde o classificador indica que a função de perda no treinamento não melhorou mais do que a tolerância,  $tol = 0.000010$  por 10 épocas consecutivas e, portanto, ele encerrou as iterações.

Figura 34 – Código do **MLPClassifier** com as primeiras iterações

```
In [ ]: import random
random.seed(42)
from sklearn.neural_network import MLPClassifier
classificador = MLPClassifier(
    verbose = True,
    max_iter=10000,
    tol = 0.000010,
    solver = 'adam',
    hidden_layer_sizes=(32),
    shuffle=False,
    activation='relu',
    batch_size=40
)
classificador.fit(previsores_treinamento, classe_treinamento)

Iteration 1, loss = 4.34947175
Iteration 2, loss = 3.23204901
Iteration 3, loss = 2.22792699
Iteration 4, loss = 1.46255093
Iteration 5, loss = 1.08155719
Iteration 6, loss = 0.96505404
Iteration 7, loss = 0.92027858
Iteration 8, loss = 0.87434168
Iteration 9, loss = 0.82498906
Iteration 10, loss = 0.78195139
Iteration 11, loss = 0.74830926
Iteration 12, loss = 0.72129424
```

Fonte: compilação do autor

A Figura 35 mostra algumas métricas de validação após o modelo criado realizar as previsões na base de teste (25% do dataset ou 71 políticas). Nela, pode-se perceber a acurácia do classificador em 95.77%, classificando, conforme a matriz de confusão mostrada na mesma figura, somente 3 previsões incorretas. Estes resultados apresentam uma sensibilidade (*recall*) de 97.7%. Levando-se em conta que o modelo se aprimora conforme a quantidade de instâncias aumenta, de acordo com o pressuposto no *teorema da aproximação universal Hagan, Demuth e Beale (1996)*, pode se considerar este como um modelo satisfatório.

Já a figura Figura 36 mostra a convergência da função de perda.

A Figura 37 mostra a dimensionalidade dos dados após transformados pelo processo de padronização e dá uma visão geral de 3 atributos, ***sujeito***, ***ação*** e ***objeto*** e o impacto na difusão dos conflitos no espaço após os atributos categóricos terem sido, todos, transformados para uma representação numérica.

Foi criado um script que, com parâmetros padrão dos classificadores, roda um experimento sobre a base. O script esá disponível em <https://bit.ly/3bFJaTM>. O resultado

Figura 35 – Validações para o modelo MLPClassifier

**Precisão e matriz de confusão (holdout - 75%/25%)**

```
In [ ]: from sklearn.metrics import confusion_matrix, accuracy_score
precisao = accuracy_score(classe_teste, previsoes)
matriz = confusion_matrix(classe_teste, previsoes)
print(matriz)
print('Precisão: {}%'.format(precisao * 100))

[[67  1]
 [ 1 39]]
Precisão: 98.14814814814815%
```

**Métricas com os dados da matriz de confusão acima:**

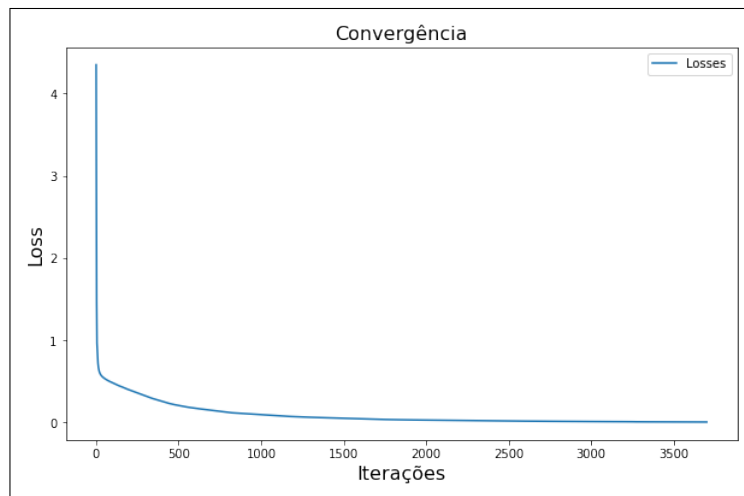
```
[  
    [67  1] | 68  
    [ 1 39] | 40  
    -----  
    68  40
]
Precisão: 98.14814814814815%
```

**Parâmetros**

- Sensibilidade: 98.5%
- Especificidade: 97.5%
- Acurácia: 98.1%
- Correlação de Matthews: 0.96
- Eficiência: 98.0%
- Valor Preditivo Positivo: 98.5%
- Valor Preditivo Negativo: 97.5%

Fonte: compilação do autor

Figura 36 – Convergência da Loss Function - MLPClassifier

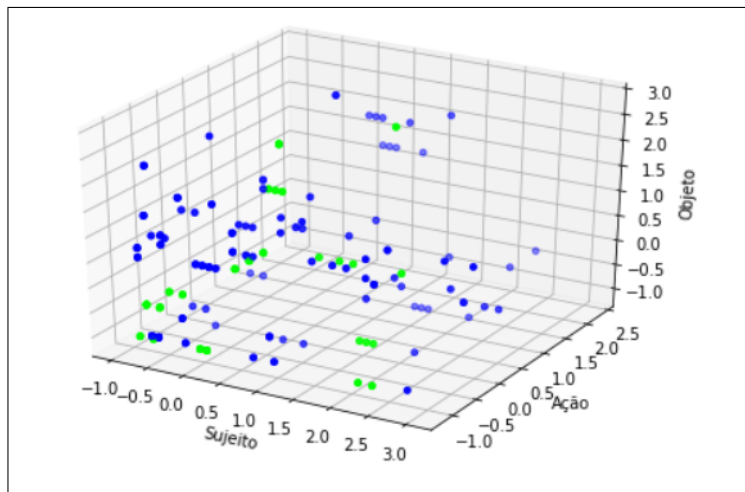


Fonte: compilação do autor

pode ser visualizado na Figura 38.

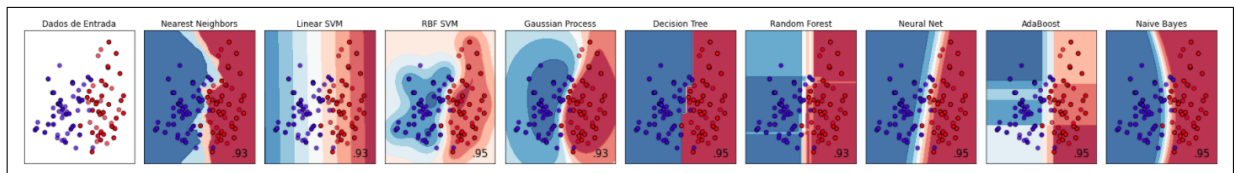
O notebook com todos os experimentos restantes (Naïve Bayes, Keras, K-NN, SVM, Random Forest e Árvores de Decisão) pode ser visualizado em <https://bit.ly/3nJHYky>. Na Tabela 4 com as acurárias destes classificadores conforme ficou demonstrada nos experimentos.

Figura 37 – Dimensionalidade dos dados: atributos sujeito, ação e objeto



Fonte: compilação do autor

Figura 38 – Comparação visual entre alguns classificadores



Fonte: compilação do autor

Tabela 4 – Acurácia dos classificadores - dataset 430 políticas

Classificador/Algoritmo	Acurácia
Random Forest	0.9900
Árvore de Decisão	0.9900
MLPClassifier	0.9814
SVM RBF	0.9814
Keras (MLP)	0.9629
k-NN (com k=5)	0.8796
SVM kernel linear	0.8055
Naïve Bayes	0.7314

Fonte: Elaborada pelo autor mediante experimentos

### 3.3.2 Experimentos com TensorFlow e Pytorch

De acordo com Géron (2019, p. 233), o *TensorFlow* é uma biblioteca de software para cálculo numérico de código aberto especialmente adequada e ajustada para o Aprendizado de Máquina em larga escala. Foi desenvolvido pela *Google Brain Team* para uso intensivo de redes neurais profundas. O código fonte foi liberado em 2015 e está à disposição no link: <https://github.com/tensorflow/tensorflow>.

É possível usar computação paralela em várias CPU's ou GPU's além de suportar

computação distribuída para que seja possível o treinamento e o uso de redes neurais em grandes conjuntos de treinamento dividindo os cálculos por centenas de servidores em um período de tempo razoável (GÉRON, 2019).

Entre suas características importantes destacam-se: rodar em diversos sistemas operacionais (e inclusive na nuvem); diversas APIs públicas para criação, treinamento e avaliação de arquiteturas de diferentes tipos de redes neurais; diversas outras API's de alto nível foram construídas com base no TensorFlow como o *Keras* e o *Pretty Tensor*; implementações em C++ altamente eficientes para operações de Aprendizado de Máquina; nós de otimização avançados para procura por parâmetros que minimizem uma função de custo; usa extensões CUDA, uma API destinada a computação paralela, GPGPU, e computação heterogênea, criada pela Nvidia que dá acesso ao conjunto de instruções virtuais da GPU e a elementos de computação paralela (GÉRON, 2019).

Os cálculos no *TensorFlow* são expressos como grafos de fluxo de dados , seu nome deriva das operações que as redes neurais realizam em arranjos de dados multidimensionais, chamados de “tensores”(generalização matemática de escalares, vetores e matrizes) (KADIMISETTY, 2018).

Foi realizado, assim, no escopo deste trabalho experimentos com a base de dados de com 281 políticas já citada anteriormente. O notebook completo está disponível online no endereço: <https://bit.ly/33BmCzt>. Foi todo construído no ambiente Google Collab que é um serviço de nuvem gratuito hospedado pelo Google para incentivar a pesquisa de Aprendizado de Máquina e Inteligência Artificial, similar ao Jupyter Notebook, é uma lista de células que podem conter textos explicativos ou códigos executáveis e suas saídas (SANTOS, 2020).

Neste modelo os hiperparâmetros principais, cf. Thenmozhi, Kalaivani e Aravindan (2018) foram ajustados como: tamanho do batch em 20 (analisa, computa e reajusta os pesos de 20 instâncias de cada vez, por época), o número de GPU's trabalhando em conjunto para 4, a taxa de aprendizado em 0.00001, o decaimento dos pesos em 0.000005 e o número de épocas padrão em 30 (apenas para testes inciais).

Para o processo de validação, usou-se o *holdout* com a separação em 75% das instâncias para o treinamento da rede neural e 25% para teste, predição e validação. Na figura 39 pode-se visualizar como o processo foi realizado,inclusive com a quantidade de instâncias em cada conjunto de dados (na linha 2 é feita a randomização do dataset original para evitar o overfitting e balancear a probabilidade da distribuição).

O pacote `torch.util.data` do PyTorch possui a classe abstrata `Dataset`. Ela permite que seja implementado o próprio dataset reescrevendo os métodos:

- `__init__(self)`: Define a lista de amostras do dataset

Figura 39 – Separação dos dados de teste e treino

```
[78] 1 torch.manual_seed(1)
2 indices = torch.randperm(len(dados_com_rotulos)).tolist() # a
3
4 #separando os dados de teste e treino
5 train_size = int(0.7*len(dados_com_rotulos))
6 df_train    = dados_com_rotulos.iloc[indices[:train_size]]
7 df_test     = dados_com_rotulos.iloc[indices[train_size:]]
8
9 print('Treino : ', len(df_train), ' - Teste: ', len(df_test))
10 display(df_test.head())
11
12 df_train.to_csv('politicas_train.csv', index=False)
13 df_test.to_csv('politicas_test.csv', index=False)
14
15 !ls
```

↳ Treino : 196 - Teste: 85

Fonte: compilação do autor

- `__getitem__(self, idx)`: Carrega uma amostra, aplica as devidas transformações e retorna uma tupla (dado, rótulo)
- `__len__(self)`: Retorna a quantidade de amostras do dataset

Dessa forma, a Figura 40 mostra a elaboração de uma classe chamada `Politicas` que implementa uma classe-filha que herda da superclasse, `Dataset` descrita acima.

Figura 40 – Implementação da classe Politicas

```
1 class Politicas(Dataset):
2     def __init__(self, csv_path):
3         self.dados = pd.read_csv(csv_path).to_numpy()
4
5     def __getitem__(self, idx):
6
7         sample = self.dados[idx][0:5]    # [2:14] são as colunas do dataset
8         label  = self.dados[idx][-1:]    # [-1:]
9
10        # converte pra tensor
11        sample = torch.from_numpy(sample.astype(np.float32))
12        label  = torch.from_numpy(label.astype(np.float32))
13
14        return sample, label
15
16    def __len__(self):
17        return len(self.dados)
```

Fonte: compilação do autor

Em seguida, dois objetos `DataLoader` são criados, um para a base de treinamento e um para a base de teste. Em seguida, a Rede Neural Multicamadas é instanciada mediante a criação de uma classe chamada `MLP` que herda da classe `nn.Module` que representa um módulo genérico de uma rede neural.

A arquitetura da rede é configurada dentro da classe que a cria sendo: uma *camada linear* de entrada, duas *camadas lineares ocultas com 32 neurônios* em cada camada usando a função de ativação `ReLU` e *uma camada linear de saída com dois neurônios*,

representando os dois rótulos do atributo que é a classe, neste caso específico, o atributo binário **conflito** que será predito.

É criada, no mesmo código da classe MLP, uma função que faz o avanço (feed-forward) das computações na rede e, ao final, é instanciada uma variável chamada **net** com as variáveis descritas:

- 5 atributos/neurônios na camada linear de entrada;
- 2 camadas ocultas com 32 neurônios cada; e
- 2 camadas de saída representando as variáveis preditas

Na mesma linha que cria o objeto **net** é feito o *cast* da rede na GPU para que ela possa, ao ser treinada, fazer uso dos poderes computacionais em paralelo da API, CUDA. A [Figura 41](#) mostra o código descrito aqui.

Em seguida é definida uma *loss function*(função de perda ou de custo). É criado um critério que mede o erro médio quadrático (norma matricial ao quadrado) entre cada elemento na entrada  $x$  e o destino  $y$ , cf. [Equação 2.9](#) da página [48](#).

O otimizador utilizado é o Adam, um algoritmo para otimização estocástica descrito em [Kingma e Ba \(2017\)](#) passando para o algoritmo os valores da taxa de aprendizado e do decaimento de pesos mostrado anteriormente nesta seção.

Figura 41 – Implementação da classe que modela a arquitetura da rede

```

1 class MLP(nn.Module):
2
3     def __init__(self, input_size, hidden_size, out_size):
4         super(MLP, self).__init__()
5
6         self.features = nn.Sequential(
7             nn.Linear(input_size, hidden_size),
8             nn.ReLU(),
9             nn.Linear(hidden_size, hidden_size),
10            nn.ReLU()
11        )
12        self.out      = nn.Linear(hidden_size, out_size)
13
14    def forward(self, x):
15
16        feature = self.features(x)
17        output  = self.out(feature)
18
19        return output
20
21 input_size  = len(train_set[0])    # quantidade de atributos *importantes*
22 hidden_size = 32                  # variaveis que serão preditas
23 out_size    = 2
24
25 net = MLP(input_size, hidden_size, out_size).to(args['device']) #cast na GPU

```

Fonte: compilação do autor

O fluxo de treinamento desta arquitetura de rede neural multicamadas proposta neste experimento segue o algoritmo iterativo:

- Iterar nas épocas

- Iterar nos batches (a quantidade de instâncias simultâneas)
- Cast dos dados no dispositivo de hardware (GPU)
- Forward na rede e cálculo da *loss function*
- Cálculo do gradiente e atualização dos pesos

Esse conjunto de passos é responsável pelo processo iterativo de otimização de uma rede. A validação, entretanto, é apenas a aplicação da rede em dados nunca antes vistos para estimar a qualidade do modelo no mundo real.

Três funções, portanto, são criadas, uma para modelar o treinamento da rede neural, uma para o teste e validação e outra que agrupa as duas primeiras em uma só para executar o algoritmo descrito anteriormente. Então, para finalizar o experimento com o TensorFlow, o PyTorch, CUDA e o Google Collaboratory, *foi realizado um treinamento com 500 épocas da rede neural* explanada nesta seção e os resultados tanto do treino quanto do teste e validação foram armazenados.

As figuras 42, 43 e 44 mostram as três funções citadas anteriormente.

Figura 42 – Implementação da função de treino da rede

```
def train(train_loader, net, epoch):
    net.train()

    epoch_loss = []
    for batch in train_loader:
        dado, rotulo = batch

        # Cast na GPU
        dado = dado.to(args['device'])
        rotulo = rotulo.to(args['device'])

        # Forward
        pred = net(dado)
        loss = criterion(pred, rotulo)
        epoch_loss.append(loss.cpu().data)

        # Backward
        loss.backward()
        optimizer.step()

    epoch_loss = np.asarray(epoch_loss)

    print("Epoca %d, Loss: %.4f +- %.4f" % (epoch, epoch_loss.mean(), epoch_loss.std()) )

    return epoch_loss.mean()
```

Fonte: compilação do autor

Figura 43 – Implementação da função de teste da rede

```

def test(test_loader, net, epoch):
    net.eval()
    with torch.no_grad():
        epoch_loss = []
        for batch in test_loader:
            dado, rotulo = batch
            # Cast na GPU
            dado = dado.to(args['device'])
            rotulo = rotulo.to(args['device'])

            # Forward
            pred = net(dado)
            loss = criterion(pred, rotulo)
            epoch_loss.append(loss.cpu().data)

        epoch_loss = np.asarray(epoch_loss)

    print('***** Validate *****')
    print("Epoca %d, Loss: %.4f +- %.4f" % (epoch, epoch_loss.mean(), epoch_loss.std()))
    return epoch_loss.mean()

```

Fonte: compilação do autor

Figura 44 – Implementação da função que mescla o treino e o teste em uma só

```

def forward(loader, net, epoch, mode):
    if mode == "train":
        net.train()
    else:
        net.eval()

    epoch_loss = []
    for batch in loader:
        dado, rotulo = batch

        # Cast na GPU
        dado = dado.to(args['device'])
        rotulo = rotulo.to(args['device'])

        # Forward
        pred = net(dado)
        loss = criterion(pred, rotulo)
        epoch_loss.append(loss.cpu().data)

    if mode == "train":
        # Backward
        loss.backward()
        optimizer.step()

    epoch_loss = np.asarray(epoch_loss)
    print("Epoca %d, Loss: %.4f +- %.4f" % (epoch, epoch_loss.mean(), epoch_loss.std()))

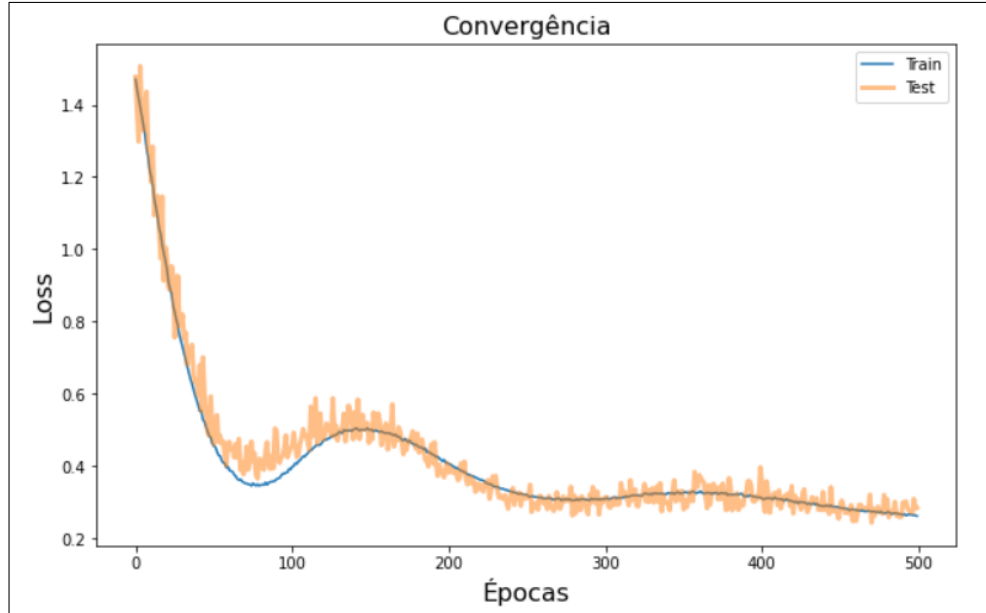
```

Fonte: compilação do autor

Como esclarecimento e interpretação visual foi construída, pois, a Figura 45 com os dados de armazenados de treino e teste (média da *loss function* ou função de custo de cada iteração dentro da época) que mostra um comparativo das épocas de teste e treino da rede neural e a convergência de ambas, retratando a acurácia e a validade do modelo deste experimento.

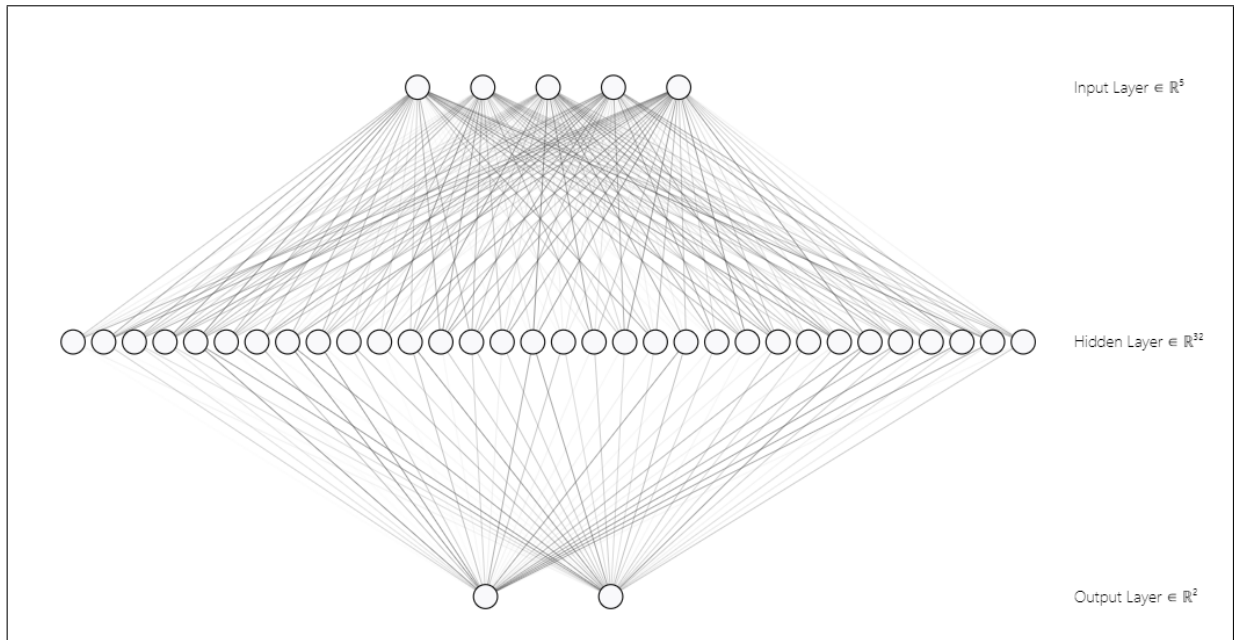
A arquitetura da rede neural construída e mostrada na Figura 41 pode ser visualizada na Figura 46 abaixo:

Figura 45 – Convergência das épocas entre o treino e o teste da MLP



Fonte: compilação do autor

Figura 46 – Arquitetura da rede neural



Fonte: compilação do autor

### 3.4 Teste da detecção de conflitos em tempo de execução

Para fins de avaliação, foi realizado um teste com um dos modelos dos experimentos (o Random Forest que obteve a maior acurácia) para demonstrar a detecção de conflito em tempo de execução.

Foi gerado um conjunto pequeno de 3 instâncias com o programa `geracao_politicas.py`

resultando no seguinte [Código 3.3](#):

Código 3.3 – Instâncias geradas aleatoriamente

```

10 politicas_teste =
11 [
12   'Obliged', 'UFAC', 'Secretario_de_Curso_Academico', 'Acessar', 'Produtos',
13   'Permitted', 'UFAC', 'Secretario_de_Curso_Academico', 'Acessar', 'Documentos'
14   ,
15   'Obliged', 'CCSJA', 'Outro_Usuario', 'Abertura', 'Almoxarifado'
16 ]

```

Então a lista foi convertida para um DataFrame, tipo de dados do Pandas, no seguinte [Código 3.4](#):

Código 3.4 – Conversão para DataFrame

```

10 policies_test = pd.DataFrame(np.array(politicas_teste).reshape(3,5),
11                               columns = list("ABCDE"))
11 policies_test.columns = [ 'Acesso', 'Organizacao', 'Sujeito', 'Acao', 'Objeto']

```

O dataframe **policies\_test** passou pelo processo de encodificação com a função **ManualEncoder.py** que resultou no DataFrame mostrado na [Figura 47](#).

Figura 47 – Data Frame com instâncias de teste aleatórias

	Acesso	Organizacao	Sujeito	Acao	Objeto
0	3	5	25	8	11
1	1	5	25	8	5
2	3	11	2	13	12

Fonte: compilação do autor

Foram realizadas as queries (consultas) no dataset mostradas na [Figura 48](#)

Figura 48 – Data Frame com instâncias de teste aleatórias

[ ] 1 dados.query("Sujeito=='Secretario_de_Curso_Academico' & Organizacao=='UFAC'")					
Acesso	Organizacao	Sujeito	Acao	Objeto	Conflito
0	Permitted	UFAC	Secretario_de_Curso_Academico	Abertura	Documentos
[ ] 1 dados.query("Sujeito=='Secretario_de_Curso_Academico' & Objeto=='Produtos'")					
Acesso	Organizacao	Sujeito	Acao	Objeto	Conflito
[ ] 1 dados.query("Organizacao=='CCSJA'")					
Acesso	Organizacao	Sujeito	Acao	Objeto	Conflito
16	Permitted	CCSJA	Jose_Rodrigues_Bardalles	Analise	Central_de_Copias
54	Permitted	CCSJA	Joao_Paulo	Analise	Central_de_Copias
63	Permitted	CCSJA	Professor	Analise	Central_de_Copias
[ ] 1 dados.query("Organizacao=='CCSJA' & Sujeito=='Outro_Usuario'")					
Acesso	Organizacao	Sujeito	Acao	Objeto	Conflito

Fonte: compilação do autor

Com o [Código 3.5](#) criou-se uma lista com as classificações corretas para as instâncias geradas (todas com rótulo ‘0’ significando que não houve conflitos).

Código 3.5 – Listas classificações corretas

10 classificao\_teste\_correta = [0,0,0] #Sem conflito para nenhuma instancia

Já com a [Figura 49](#) verificou-se, em tempo de execução e de forma praticamente imediata, baseado no modelo de aprendizagem de máquina criado, que não houve conflito gerando uma nova lista com as previsões. A primeira célula do código da imagem mostra os hiperparâmetros do classificador.

Figura 49 – Resultado da predição em tempo de execução

```
[ ] 1 classificador
RandomForestClassifier(bootstrap=True, ccp_alpha=0.0, class_weight=None,
                      criterion='entropy', max_depth=None, max_features='auto',
                      max_leaf_nodes=None, max_samples=None,
                      min_impurity_decrease=0.0, min_impurity_split=None,
                      min_samples_leaf=1, min_samples_split=2,
                      min_weight_fraction_leaf=0.0, n_estimators=40,
                      n_jobs=None, oob_score=False, random_state=0, verbose=0,
                      warm_start=False)

[ ] 1 #classificador.fit(previsores_treinamento, classe_treinamento)
2 predicao_teste = classificador.predict(policies_test)
3

[ ] 1 predicao_teste
array([0, 0, 0])
```

Fonte: compilação do autor

Para finalizar foi criada uma função **compara\_predicoes** para fazer a comparação das previsões. A Figura 50 demonstra isso e a Figura 51 mostra a saída do código.

Figura 50 – Resultado da predição em tempo de execução

```
In [ ]: def compara_predicoes(predicao, corretas):
    for i, valor in enumerate(predicao):
        if predicao[i]==corretas[i]:
            print('Classificação correta para a instância {} que é {}'.format(i, valor))
        else:
            print('Classificação incorreta para a instância {} que é {}'.format(i, valor))
```

Fonte: compilação do autor

Figura 51 – Resultado da predição em tempo de execução

```
[ ] 1 compara_predicoes(predicao_teste, classificao_teste_correta)
Classificação correta para a instância 0 que é 0
Classificação correta para a instância 1 que é 0
Classificação correta para a instância 2 que é 0
```

Fonte: compilação do autor

### 3.4.1 Análise dos resultados

Os experimentos realizados na Capítulo 3 corroboram a hipótese de que a detecção de conflitos pode ser transformada em um problema da tarefa de classificação da mineração

de dados e do aprendizado de máquina. As vantagens sobre as outras abordagens relatadas na literatura são:

- A detecção do conflito pode ser realizada em tempo de execução, pois os modelos já estão treinados;
- As políticas são verificadas “em lote” e não em pares já que a análise em pares é um problema computacionalmente custoso da classe NP-Completo como demonstrado por [Shoham e Tennenholz \(1995\)](#);
- Ambas as técnicas analisadas neste trabalho mostraram-se eficazes com acurácia acima da proposta inicialmente (95%) cf. o mostrado na [seção 3.3](#), [seção 3.3](#), [subseção 3.3.1](#) e [subseção 3.3.2](#);
- os modelos de machine learning desenvolvidos nos experimentos podem ser aplicados em outros contextos, pois são suficientemente genéricos para tal;
- Ao analisar uma nova política, não é necessário “varrer” ou consultar todas as instâncias do *dataset* novamente já que os modelos já estão treinados;
- os modelos de machine learning tem a tendência a melhorarem a eficácia à medida que a quantidade de instâncias cresce

Todas os modelos e algoritmos demonstrados nos experimentos tiveram acurácia acima de 95% o que mostra que a detecção de conflitos em políticas (ou normas) pode ser colocada como uma classe de problemas a serem resolvidos de forma eficiente por técnicas de aprendizagem de máquina.

## 4 Cronograma e propostas para o texto final

Para a pesquisa que resultará na dissertação de mestrado os seguintes pontos serão levantados, estudados e melhor definidos em termos dos objetivos do trabalho:

1. Finalização da pesquisa teórica sobre funções de custo, SVM, descida do gradiente, suporte matemático aprofundado para o SVM;
2. Revisão Bibliográfica dos classificadores: SVM, Random Forest, Árvore de Decisão e RBF;
3. Finalizar a função de detecção de conflitos indiretos;
4. Comparação final com outros classificadores (preferencialmente, geométricos, como o KNN e o SVM, avaliando suas acurárias e eficiência para os conflitos indiretos.
5. Explorar a detecção dos conflitos indiretos usando Machine Learning e Aprendizagem de Máquina;

Para isso, propõem-se o seguinte cronograma descrito na [Tabela 5](#)

Tabela 5 – Cronograma de Finalização do Mestrado

Atividades Realizadas	jan	fev	mar
Finalização da pesquisa teórica sobre funções de custo, SVM, descida do gradiente, suporte matemático aprofundado para o SVM	X		
Revisão Bibliográfica dos classificadores: SVM, Random Forest, Árvore de Decisão e RBF	X		
Finalizar a função de detecção de conflitos indiretos	X	X	
Comparação final com outros classificadores (preferencialmente, geométricos, como o KNN e o SVM, avaliando suas acurárias e eficiência para os conflitos indiretos)	X		
Explorar a detecção dos conflitos indiretos usando Machine Learning e Aprendizagem de Máquina	X	X	
Escrita, revisão e entrega da versão preliminar	X		
Conclusão do artigo para envio para periódico	X	X	
Entrega do Texto final e defesa	X		

Fonte: Elaborada pelo autor

## 5 Conclusões

- Esta pesquisa mostrou a possibilidade de *converter a detecção de conflitos a um problema de classificação* especificamente, para os conflitos ***diretos***;
- O classificador mais acurado, nos experimentos, foi, como se imaginava pela hipótese, o *MultiLayer Perceptron* que é um classificador que usa *backpropagation* para aprender usando perceptron de várias camadas para classificar instâncias desconhecidas ([WITTEN et al., 2016](#));
- Será realizada uma comparação entre o MLP e o SVM (e outros classificadores geométricos). Suas acurárias serão devidamente comparadas juntamente com a eficiência das soluções propostas.
- Todas os modelos e algoritmos demonstrados nos experimentos tiveram acurácia acima de 95% o que mostra, portanto, que a detecção de conflitos em políticas pode ser colocada como uma classe de problemas a serem resolvidos de forma eficiente por técnicas de aprendizagem de máquina.

## Referências

- ACADEMY, D. S. *Deep Learning Book, 2019*. Acesso em: 06 de março de 2020., 2020. (disponível em: <http://deeplearningbook.com.br/>). Capítulos em: <http://deeplearningbook.com.br/capitulos/>. Disponível em: <<http://deeplearningbook.com.br/>>. Citado 6 vezes nas páginas 39, 44, 47, 62, 63 e 64.
- AL-RADAIDEH, Q. A.; NAGI, E. A. Using Data Mining Techniques to Build a Classification Model for Predicting Employees Performance. In: . [S.l.: s.n.], 2012. Citado na página 42.
- ALECRIM, E. *O que é Big Data?* INFOWESTER. Disponível em: <https://www.infowester.com/big-data.php>. Acesso em 12/12/2019, 2019. Disponível em: <<https://www.infowester.com/big-data.php>>. Citado 2 vezes nas páginas 17 e 30.
- ALPAYDIN, E. *Introduction to Machine Learning, Third Edition*. 3<sup>a</sup>. ed. The MIT Press, 2014. (Adaptive Computation and Machine Learning). ISBN 978-0-262-02818-9. Disponível em: <[https://mitpresspublish.com/ereader/26/?preview#page/Cover](https://mitpressublish.com/ereader/26/?preview#page/Cover)>. Citado 3 vezes nas páginas 40, 52 e 53.
- AMARAL, F. *Aprenda Mineração de Dados: Teoria e prática*. ALTA BOOKS, 2016. (Autoria Nacional). ISBN 9788576089889. Disponível em: <<https://books.google.com.br/books?id=qZIgDQAAQBAJ>>. Citado 8 vezes nas páginas 36, 41, 42, 44, 45, 46, 47 e 65.
- AMARAL, F. *Introdução à Ciência de Dados: Mineração de dados e big data*. [S.l.]: Alta Books, 2018. Citado 4 vezes nas páginas 41, 44, 48 e 50.
- AUTREL, F.; COMA, C.; AL, e. MotOrBAC 2: a security policy tool. 2008. Citado na página 20.
- BAEZA-YATES, R.; RIBEIRO-NETO, B. *Recuperação de Informação: Conceitos e Tecnologia das Máquinas de Busca*. Edição: 2. [S.l.]: Bookman, 2013. Citado 2 vezes nas páginas 40 e 41.
- BELLETTINI, C.; BERTINO, E.; FERRARI, E. Role based access control models. v. 6, n. 2, p. 21–29, 2001. ISSN 13634127. Disponível em: <<https://linkinghub.elsevier.com/retrieve/pii/S1363412701002047>>. Citado 4 vezes nas páginas 18, 23, 24 e 31.
- BRUCE, A.; BRUCE, P. *Estatística Prática para Cientistas de Dados*. Alta Books, 2019. ISBN 978-85-508-1080-5. Disponível em: <<https://books.google.com.br/books?id=b0mvDwAAQBAJ>>. Citado 3 vezes nas páginas 50, 51 e 52.
- BUI, T.; STOLLER, S. D.; LE, H. Efficient and Extensible Policy Mining for Relationship-Based Access Control. In: *Proceedings of the 24th ACM Symposium on Access Control Models and Technologies*. New York, NY, USA: ACM, 2019. (SACMAT '19), p. 161–172. ISBN 978-1-4503-6753-0. Event-place: Toronto ON, Canada. Disponível em: <<http://doi.acm.org/10.1145/3322431.3325106>>. Citado 5 vezes nas páginas 15, 17, 33, 34 e 73.

- BUI, T.; STOLLER, S. D.; LI, J. Greedy and evolutionary algorithms for mining relationship-based access control policies. v. 80, p. 317–333, 2019. ISSN 0167-4048. Disponível em: <<http://www.sciencedirect.com/science/article/pii/S0167404818304565>>. Citado 4 vezes nas páginas 15, 23, 70 e 75.
- CASACA, J. A.; CORREIA, M. F. Porque é necessária a segurança da informação? da estratégia às políticas de segurança. v. 0, n. 3, p. 89–116, 2013. ISSN 1647-1342. Number: 3. Disponível em: <<http://revistas.lis.ulusa.pt/index.php/lpis/article/view/157>>. Citado na página 31.
- CASTRO, C. L. d.; BRAGA, A. P. Supervised learning with imbalanced data sets: an overview. v. 22, n. 5, p. 441–466, 2011. ISSN 0103-1759. Publisher: Sociedade Brasileira de Automática. Disponível em: <[http://www.scielo.br/scielo.php?script=sci\\_abstract&pid=S0103-17592011000500002&lng=en&nrm=iso&tlang=pt](http://www.scielo.br/scielo.php?script=sci_abstract&pid=S0103-17592011000500002&lng=en&nrm=iso&tlang=pt)>. Citado na página 46.
- CHAKRABORTY, S.; SANDHU, R.; KRISHNAN, R. On the feasibility of attribute-based access control policy mining. In: *2019 IEEE 20th International Conference on Information Reuse and Integration for Data Science (IRI)*. [S.l.: s.n.], 2019. p. 245–252. Citado 4 vezes nas páginas 15, 23, 70 e 76.
- CHEN, M. Q. Flight Conflict Detection and Resolution Based on Neural Network. In: *2011 International Conference on Computational and Information Sciences*. [S.l.: s.n.], 2011. p. 860–862. ISSN: null. Citado 4 vezes nas páginas 15, 23, 72 e 75.
- CHOLLET, F. et al. *Keras*. 2015. <<https://keras.io>>. Citado na página 25.
- CHRISTODOULOU, M. A.; KONTOGEOORGOU, C. Collision avoidance in commercial aircraft Free Flight via neural networks and non-linear programming. *International Journal of Neural Systems*, v. 18, n. 5, p. 371–387, out. 2008. ISSN 0129-0657. Citado 4 vezes nas páginas 15, 23, 72 e 75.
- CORTES, C.; VAPNIK, V. Support-vector networks. v. 20, n. 3, p. 273–297, 1995. ISSN 1573-0565. Disponível em: <<https://doi.org/10.1007/BF00994018>>. Citado na página 65.
- CUPPENS, F.; CUPPENS-BOULAHIA, N.; GHORBEL, M. B. High level conflict management strategies in advanced access control models. v. 186, p. 3–26, 2007. ISSN 15710661. Disponível em: <<https://linkinghub.elsevier.com/retrieve/pii/S1571066107004562>>. Citado 4 vezes nas páginas 19, 20, 33 e 35.
- DAVY, S.; JENNINGS, B.; STRASSNER, J. Application domain independent policy conflict analysis using information models. In: *NOMS 2008 - 2008 IEEE Network Operations and Management Symposium*. [S.l.: s.n.], 2008. p. 17–24. ISSN: 2374-9709. Citado na página 78.
- DEBAR, H.; BECKER, M.; SIBONI, D. A neural network component for an intrusion detection system. In: *Proceedings 1992 IEEE Computer Society Symposium on Research in Security and Privacy*. [S.l.: s.n.], 1992. p. 240–250. ISSN: null. Citado 2 vezes nas páginas 16 e 74.
- DENG, X. et al. An improved method to construct basic probability assignment based on the confusion matrix for classification problem. v. 340-341, p. 250–261, 2016. ISSN 0020-0255. Disponível em: <<http://www.sciencedirect.com/science/article/pii/S002002551600044X>>. Citado na página 48.

- DOHERTY, N. F.; FULFORD, H. Do information security policies reduce the incidence of security breaches: An exploratory analysis. v. 18, n. 4, p. 21–39, 2005. ISSN 1040-1628. Disponível em: <<https://doi.org/10.4018/irmj.2005100102>>. Citado na página 31.
- DUNLOP, N.; INDULSKA, J.; RAYMOND, K. Dynamic conflict detection in policy-based management systems. In: *Proceedings. Sixth International Enterprise Distributed Object Computing*. [S.l.: s.n.], 2002. p. 15–26. ISSN: null. Citado 2 vezes nas páginas 20 e 34.
- ELRAKAIBY, Y.; CUPPENS, F.; CUPPENS-BOULAHIA, N. Formal enforcement and management of obligation policies. v. 71, n. 1, p. 127–147, 2012. ISSN 0169-023X. Disponível em: <<http://www.sciencedirect.com/science/article/pii/S0169023X11001248>>. Citado 2 vezes nas páginas 33 e 35.
- FAYYAD, U.; PIATETSKY-SHAPIRO, G.; SMYTH, P. From data mining to knowledge discovery in databases. v. 17, n. 3, p. 37–37, 1996. ISSN 2371-9621. Disponível em: <<https://www.aaai.org/ojs/index.php/aimagazine/article/view/1230>>. Citado 5 vezes nas páginas 17, 30, 36, 37 e 41.
- FERNEDA, E. Redes neurais e sua aplicação em sistemas de recuperação de informação. v. 35, n. 1, 2006. ISSN 1518-8353. Disponível em: <<http://revista.ibict.br/ciinf/article/view/1149>>. Citado 4 vezes nas páginas 54, 56, 58 e 59.
- FERRAIOLI, D.; ATLURI, V.; GAVRILA, S. The policy machine: A novel architecture and framework for access control policy specification and enforcement. v. 57, n. 4, p. 412–424, 2011. ISSN 1383-7621. Disponível em: <<https://doi.org/10.1016/j.sysarc.2010.04.005>>. Citado 4 vezes nas páginas 15, 22, 70 e 74.
- FERRAIOLI, D. F.; KUHN, R. D. Role-based access controls. p. 11, 1992. Citado na página 34.
- FERRAIOLI, D. F. et al. Proposed NIST standard for role-based access control. v. 4, n. 3, p. 224–274, 2001. ISSN 1094-9224. Disponível em: <<https://doi.org/10.1145/501978.501980>>. Citado 2 vezes nas páginas 32 e 33.
- FERRARI, D. G.; SILVA, L. N. d. C. *Introdução a mineração de dados*. Editora Saraiva, 2017. ISBN 9788547200992. Disponível em: <<https://books.google.com.br/books?id=SSlrDwAAQBAJ>>. Citado 8 vezes nas páginas 17, 36, 37, 38, 42, 44, 45 e 46.
- FONG, P. W. Relationship-based access control: protection model and policy language. In: *Proceedings of the first ACM conference on Data and application security and privacy*. Association for Computing Machinery, 2011. (CODASPY '11), p. 191–202. ISBN 978-1-4503-0466-5. Disponível em: <<https://doi.org/10.1145/1943513.1943539>>. Citado na página 33.
- FONTES, E. *Políticas e Normas para a Segurança da Informação*. [S.l.]: Brasport, 2012. Google-Books-ID: X61rbEWwJ\_UC. ISBN 978-85-7452-515-0. Citado 2 vezes nas páginas 30 e 31.
- FUGINI, M.; BELLETTINI, C. *Information Security Policies and Actions in Modern Integrated Systems*. Idea Group Pub., 2004. ISBN 978-1-59140-186-5. Disponível em: <[https://books.google.com.br/books?id=uTgd\\_lruELcC](https://books.google.com.br/books?id=uTgd_lruELcC)>. Citado na página 24.

- GÉRON, A. *Mãos à Obra: Aprendizado de Máquina com Scikit-Learn & TensorFlow*. [S.l.]: Alta Books, 2019. Citado 4 vezes nas páginas 47, 66, 91 e 92.
- Goldschmidt, R.; Passos, E. *Data mining: um guia Prático*. Elsevier Editora, 2005. ISBN 978-85-352-1877-0. Disponível em: <<https://books.google.com.br/books?id=JJYHNRREwyEC>>. Citado 11 vezes nas páginas 38, 39, 40, 41, 42, 47, 50, 51, 52, 54 e 65.
- GRUS, J.; NASCIMENTO, W. *Data Science Do Zero*. ALTA BOOKS, 2016. ISBN 9788576089988. Disponível em: <<https://books.google.com.br/books?id=EWJCvgAACAAJ>>. Citado 3 vezes nas páginas 44, 45 e 54.
- GUERRERO-HIGUERAS, A. M.; DeCastro-GARCIA, N.; MATELLAN, V. Detection of cyber-attacks to indoor real time localization systems for autonomous robots. v. 99, p. 75–83, 2018. ISSN 0921-8890. Disponível em: <<http://www.sciencedirect.com/science/article/pii/S092188901730283X>>. Citado 2 vezes nas páginas 15 e 72.
- GUFO SOWA. *K-fold cross validation*. Wikipedia. Disponível em: [https://en.wikipedia.org/wiki/File:K-fold\\_cross\\_validation\\_EN.svg](https://en.wikipedia.org/wiki/File:K-fold_cross_validation_EN.svg), 2019. Disponível em: <[https://en.wikipedia.org/wiki/File:K-fold\\_cross\\_validation\\_EN.svg](https://en.wikipedia.org/wiki/File:K-fold_cross_validation_EN.svg)>. Citado na página 46.
- HACHANA, S.; CUPPENS-BOULAHIA, N.; CUPPENS, F. Mining a high level access control policy in a network with multiple firewalls. v. 20, p. 61–73, 2015. ISSN 2214-2126. Disponível em: <<http://www.sciencedirect.com/science/article/pii/S221421261400146X>>. Citado 4 vezes nas páginas 15, 23, 71 e 76.
- HAGAN, M. T.; DEMUTH, H. B.; BEALE, M. H. *Neural Network Design*. [S.l.]: Brooks/Cole, 1996. Google-Books-ID: cUNJAAAACAAJ. ISBN 978-0-534-95259-4. Citado 5 vezes nas páginas 58, 59, 60, 63 e 89.
- HAYKIN, S. *Redes Neurais - 2ed*. Bookman, 2001. ISBN 978-85-7307-718-6. Disponível em: <<https://books.google.com.br/books?id=KzP4wAEACAAJ>>. Citado 10 vezes nas páginas 55, 56, 58, 59, 60, 61, 62, 63, 64 e 77.
- HE, Q.; ANTÓN, A. I. Requirements-based access control analysis and policy specification (ReCAPS). v. 51, n. 6, p. 993–1009, 2009. ISSN 0950-5849. Disponível em: <<http://www.sciencedirect.com/science/article/pii/S0950584908001699>>. Citado 4 vezes nas páginas 15, 22, 69 e 75.
- HWANG, J. et al. ACPT: A tool for modeling and verifying access control policies. In: *2010 IEEE International Symposium on Policies for Distributed Systems and Networks*. [S.l.: s.n.], 2010. p. 40–43. Citado 4 vezes nas páginas 15, 23, 69 e 75.
- JIN, X.; CHEU, R. L.; SRINIVASAN, D. Development and adaptation of constructive probabilistic neural network in freeway incident detection. *Transportation Research Part C: Emerging Technologies*, v. 10, n. 2, p. 121–147, abr. 2002. ISSN 0968-090X. Disponível em: <<http://www.sciencedirect.com/science/article/pii/S0968090X01000079>>. Citado 5 vezes nas páginas 16, 23, 55, 74 e 75.
- KADIMISETTY, A. *TensorFlow — A hands-on approach*. [S.l.]: Acesso em 07 de julho de 2020, 2018. (Disponível em: <https://towardsdatascience.com/tensorflow-a-hands-on-approach-8614372f021f>). Library Catalog: towardsdatascience.com. Citado 2 vezes nas páginas 25 e 92.

- KALAM, A. et al. Organization based access control. In: *Proceedings POLICY 2003. IEEE 4th International Workshop on Policies for Distributed Systems and Networks*. [S.l.: s.n.], 2003. p. 120–131. Citado 3 vezes nas páginas 19, 33 e 35.
- KALASKAR, A.; BARKADE, V. FP-growth policy mining for access control policies. In: *2018 Fourth International Conference on Computing Communication Control and Automation (ICCUBEA)*. [S.l.: s.n.], 2018. p. 1–4. Citado 4 vezes nas páginas 15, 23, 71 e 76.
- KASTURI, S. N. *Underfitting and Overfitting in machine learning and how to deal with it !!!* [S.l.]: Acesso em: 04 de Abril de 2020, 2019. (Disponível em: <https://towardsdatascience.com/underfitting-and-overfitting-in-machine-learning-and-how-to-deal-with-it-6fe4a8a49dbf>). Library Catalog: towardsdatascience.com. Citado na página 44.
- KESAVARAJ, G.; SUKUMARAN, S. A study on classification techniques in data mining. In: *2013 Fourth International Conference on Computing, Communications and Networking Technologies (ICCCNT)*. [S.l.: s.n.], 2013. p. 1–7. ISSN: null. Citado 4 vezes nas páginas 42, 47, 52 e 53.
- KINGMA, D. P.; BA, J. Adam: A method for stochastic optimization. 2017. Disponível em: <<http://arxiv.org/abs/1412.6980>>. Citado na página 94.
- CLUYVER, T. et al. Jupyter notebooks – a publishing format for reproducible computational workflows. In: LOIZIDES, F.; SCHMIDT, B. (Ed.). *Positioning and Power in Academic Publishing: Players, Agents and Agendas*. [S.l.], 2016. p. 87 – 90. Citado na página 85.
- KNAPP, K. J. et al. Information security policy: An organizational-level process model. v. 28, n. 7, p. 493–508, 2009. ISSN 0167-4048. Disponível em: <<http://www.sciencedirect.com/science/article/pii/S0167404809000765>>. Citado na página 31.
- KOCH, M.; MANCINI, L. V.; PARISI-PRESICCE, F. Conflict Detection and Resolution in Access Control Policy Specifications. In: NIELSEN, M.; ENGBERG, U. (Ed.). *Foundations of Software Science and Computation Structures*. Berlin, Heidelberg: Springer, 2002. (Lecture Notes in Computer Science), p. 223–238. ISBN 978-3-540-45931-6. Citado na página 34.
- KROPIWIEC, D. D. Policy viewer: Ferramenta para visualização de políticas de segurança em grafos. p. 100, 2005. Citado na página 32.
- KUMAR, R. Classification Algorithms for Data Mining: A Survey. *International Journal of Innovations in Engineering and Technology*, v. 1, n. 2, p. 8, 2012. Citado 2 vezes nas páginas 42 e 47.
- LI, N.; TRIPUNITARA, M. V. Security analysis in role-based access control. *ACM Trans. Inf. Syst. Secur.* ACM, New York. v.9. p.391-420, p. 28, 2006. Citado na página 17.
- LIMA, I.; PINHEIRO, C.; SANTOS, F. *Inteligência Artificial*. Elsevier Brasil, 2016. ISBN 978-85-352-7809-5. Disponível em: <<https://books.google.com.br/books?id=qjJeBgAAQBAJ>>. Citado 8 vezes nas páginas 40, 55, 56, 57, 59, 61, 62 e 77.

- LIMA, R. A. F.; PEREIRA, A. C. M. Fraud detection in web transactions. ACM Press, p. 273, 2012. Disponível em: <<http://dl.acm.org/citation.cfm?doid=2382636.2382695>>. Citado 2 vezes nas páginas 17 e 30.
- LOPES, I. M. Adopção de políticas de segurança de sistemas de informação na administração pública local em portugal. 2012. Accepted: 2012-09-03T09:19:35Z Publisher: Universidade do Minho. Disponível em: <<https://bibliotecadigital.ipb.pt/handle/10198/7422>>. Citado na página 32.
- LUGER, G. F. *Inteligência Artificial*. Edição: 4. [S.l.]: ARTMED Editora S.A., 2015. Citado 2 vezes nas páginas 41 e 43.
- LUPU, E.; SLOMAN, M. Conflicts in policy-based distributed systems management. *IEEE Transactions on Software Engineering*, v. 25, n. 6, p. 852–869, nov. 1999. ISSN 2326-3881. Citado 4 vezes nas páginas 15, 20, 34 e 72.
- MACHADO, A. *Estudo da EMC prevê que volume de dados virtuais armazenados será seis vezes maior em 2020*. 2014. Disponível em: <<https://glo.bo/2Eo8AGK>>. Citado 2 vezes nas páginas 17 e 30.
- MARCIANO, J. L. P. Segurança da informação - uma abordagem social. p. 212, 2006. Citado na página 30.
- MARTIN, E.; Tao Xie. Inferring access-control policy properties via machine learning. In: *Seventh IEEE International Workshop on Policies for Distributed Systems and Networks (POLICY'06)*. [S.l.: s.n.], 2006. p. 4 pp.–238. Citado 4 vezes nas páginas 15, 23, 71 e 76.
- MCCULLOCH, W. S.; PITTS, W. A LOGICAL CALCULUS OF THE IDEAS IMMANENT IN NERVOUS ACTIVITY. v. 52, n. 1, p. 17, 1943. Citado 3 vezes nas páginas 55, 56 e 61.
- MCKINNEY Wes. Data Structures for Statistical Computing in Python. In: WALT Stéfan van der; MILLMAN Jarrod (Ed.). *Proceedings of the 9th Python in Science Conference*. [S.l.: s.n.], 2010. p. 56 – 61. Citado na página 85.
- MINEWISKAN, O. D. *Modelos de mineração (Analysis Services-Mineração de dados)*. Acesso em: 06 de março de 2020., 2020. (disponível em: <https://docs.microsoft.com/pt-br/analysis-services/data-mining/mining-models-analysis-services-data-mining>). Library Catalog: docs.microsoft.com. Disponível em: <<https://docs.microsoft.com/pt-br/analysis-services/data-mining/mining-models-analysis-services-data-mining>>. Citado 3 vezes nas páginas 38, 39 e 47.
- MINSKY, M.; PAPERT, S. *Perceptrons: An Introduction to Computational Geometry*. MIT Press, 1969. Disponível em: <<https://books.google.com.br/books?id=KhI-uwEACAAJ>>. Citado 3 vezes nas páginas 55, 56 e 60.
- MOFFETT, J. D.; SLOMAN, M. S. Policy conflict analysis in distributed system management. v. 4, n. 1, p. 1–22, 1994. ISSN 1054-1721. Disponível em: <<https://doi.org/10.1080/10919399409540214>>. Citado na página 34.
- MOHAN, A. et al. Detection of conflicts and inconsistencies in taxonomy-based authorization policies. v. 2011, p. 590–594, 2012. ISSN 2156-1125. Citado 4 vezes nas páginas 15, 22, 70 e 74.

- MOHRI, M.; ROSTAMIZADEH, A.; TALWALKAR, A. *Foundations of Machine Learning, Second Edition*. 2<sup>a</sup>. ed. The MIT Press, 2018. (Adaptive Computation and Machine Learning). ISBN 978-0-262-03940-6. Disponível em: <<https://mitpress.mit.edu/books-foundations-machine-learning-second-edition>>. Citado na página 40.
- MONTEIRO, J. R. Adoção de políticas de segurança de sistemas de informação nas universidades moçambicanas. p. 66, 2017. Citado na página 32.
- MUKKAMALA, S.; JANOSKI, G.; SUNG, A. Intrusion detection using neural networks and support vector machines. In: *Proceedings of the 2002 International Joint Conference on Neural Networks. IJCNN'02 (Cat. No. 02CH37290)*. [S.l.: s.n.], 2002. v. 2, p. 1702–1707 vol.2. ISSN: 1098-7576. Citado 5 vezes nas páginas 16, 31, 65, 73 e 74.
- OBAIDAT, M.; MACCHAIROLO, D. A multilayer neural network system for computer access security. *IEEE Transactions on Systems, Man, and Cybernetics*, v. 24, n. 5, p. 806–813, maio 1994. ISSN 2168-2909. Citado 5 vezes nas páginas 16, 23, 55, 73 e 75.
- OLIPHANT, T. E. *A guide to NumPy*. [S.l.]: Trelgol Publishing USA, 2006. v. 1. Citado na página 85.
- PASZKE, A. et al. *PyTorch: An Imperative Style, High-Performance Deep Learning Library*. Curran Associates, Inc., 2019. 8024–8035 p. Disponível em: <<http://papers.neurips.cc/paper/9015-pytorch-an-imperative-style-high-performance-deep-learning-library.pdf>>. Citado na página 25.
- PEDREGOSA, F. et al. Scikit-learn: Machine learning in Python. *Journal of Machine Learning Research*, v. 12, p. 2825–2830, 2011. Citado na página 85.
- QI, H.; DI, X.; LI, J. Formal definition and analysis of access control model based on role and attribute. v. 43, p. 53–60, 2018. ISSN 2214-2126. Disponível em: <<http://www.sciencedirect.com/science/article/pii/S221421261730368X>>. Citado na página 33.
- REED, R.; MARKSII, R. J. *Neural Smithing: Supervised Learning in Feedforward Artificial Neural Networks*. MIT Press, 1999. Library Catalog: mitpress.mit.edu Publisher: The MIT Press. Disponível em: <<https://mitpress.mit.edu/books/neural-smithing>>. Citado na página 47.
- ROCHA, T. et al. *Tutorial sobre Fuzzy-c-Means e Fuzzy Learning Vector Quantization: abordagens híbridas para tarefas de agrupamento e classificação*. [S.l.: s.n.], 2012. Citado na página 41.
- ROSENBLATT, F. The perceptron: A probabilistic model for information storage and organization in the brain. v. 65, n. 6, p. 386–408, 1958. ISSN 1939-1471(Electronic),0033-295X(Print). Citado 2 vezes nas páginas 55 e 61.
- RUSSELL, S.; NORVIG, P. *Inteligência Artificial - Tradução da 3<sup>a</sup> Edição*. Rio de Janeiro, Brasil: Elsevier, 2013. ISBN 9788535237016. Citado 9 vezes nas páginas 40, 41, 42, 43, 45, 46, 54, 56 e 59.
- RUUSKA, S. et al. Evaluation of the confusion matrix method in the validation of an automated system for measuring feeding behaviour of cattle. v. 148, p. 56–62, 2018. ISSN 0376-6357. Disponível em: <<http://www.sciencedirect.com/science/article/pii/S0376635717301146>>. Citado na página 48.

- SANDHU, R.; SAMARATI, P. Authentication, access control, and audit. *ACM Comput. Surv.*, ACM, New York, NY, USA, v. 28, n. 1, p. 241–243, mar 1996. ISSN 0360-0300. Citado 2 vezes nas páginas 32 e 33.
- SANTOS, A. M. R. C. d. Segurança nos sistemas de informação hospitalares : políticas, práticas e avaliação. 2007. Accepted: 2007-12-18T21:06:45Z. Disponível em: <<http://repository.sduum.uminho.pt/>>. Citado na página 30.
- SANTOS, F. J. d. *Um Modelo Preditivo de Classificação de Operações de Crédito*. phdthesis — Instituto Federal de Educação do Ceará - IFCE, 2013. Citado na página 54.
- SANTOS, T. G. S. *Google Colab: o que é e como usar? / Alura Cursos Online*. [S.l.]: Acesso em 07 de junho de 2020, 2020. (Disponível em: <https://www.alura.com.br/artigos/google-colab-o-que-e-e-como-usar>). Library Catalog: www.alura.com.br. Citado na página 92.
- SARKAR, D.; BALI, R.; SHARMA, T. *Practical Machine Learning with Python: A Problem-Solver's Guide to Building Real-World Intelligent Systems*. Apress, 2017. ISBN 978-1-4842-3207-1. Disponível em: <<https://books.google.com.br/books?id=9ClEDwAAQBAJ>>. Citado 4 vezes nas páginas 33, 34, 40 e 86.
- SARKIS, L. C. *Uma abordagem para detecção de conflitos indiretos entre políticas de controle de acesso*. Tese de Doutorado — Universidade Federal Fluminense, 2017. Citado 19 vezes nas páginas 15, 17, 18, 19, 20, 21, 22, 23, 29, 32, 33, 34, 35, 67, 69, 74, 75, 78 e 84.
- SARKIS, L. C.; SILVA, V. T. da; BRAGA, C. Detecting indirect conflicts between access control policies. In: *Proceedings of the 31st Annual ACM Symposium on Applied Computing*. New York, NY, USA: ACM, 2016. (SAC '16), p. 1570–1572. ISBN 978-1-4503-3739-7. Disponível em: <<http://doi.acm.org/10.1145/2851613.2851979>>. Citado 5 vezes nas páginas 19, 29, 31, 33 e 35.
- SHAZMEEN, S. F.; MUSTAFA, M. A.; BAIG, A. Performance Evaluation of Different Data Mining Classification Algorithm and Predictive Analysis. In: . [S.l.: s.n.], 2013. Citado na página 42.
- SHOHAM, Y.; TENNENHOLTZ, M. On social laws for artificial agent societies: off-line design. v. 73, n. 1, p. 231–252, 1995. ISSN 00043702. Disponível em: <<https://linkinghub.elsevier.com/retrieve/pii/000437029400007N>>. Citado 4 vezes nas páginas 23, 24, 75 e 101.
- SHU, C.; YANG, E. Y.; ARENAS, A. E. Detecting conflicts in ABAC policies with rule-reduction and binary-search techniques. In: *2009 IEEE International Symposium on Policies for Distributed Systems and Networks*. [S.l.: s.n.], 2009. p. 182–185. Citado 2 vezes nas páginas 15 e 69.
- SILVA, I. N. d. *Redes Neurais Artificiais Para Engenharia e Ciências Aplicadas. Fundamentos Teóricos e Aspectos Práticos*. Edição: 2<sup>a</sup>. [S.l.]: Artliber, 2016. ISBN 978-85-88098-87-9. Citado 6 vezes nas páginas 47, 57, 58, 59, 60 e 77.
- SILVA, L. A. d.; PERES, S. M.; BOSCAROLI, C. *Introdução à Mineração de Dados: Com Aplicações em R*. Elsevier Brasil, 2017. ISBN 9788535284478. Disponível em: <<https://books.google.com.br/books?id=5LA4DwAAQBAJ>>. Citado 19 vezes nas páginas 17, 30, 36, 37, 38, 41, 42, 43, 44, 45, 46, 47, 48, 49, 50, 51, 52, 53 e 54.

- SILVA, L. C. e. *Aprendizado de máquina com treinamento continuado aplicado à previsão de demanda de curto prazo: o caso do restaurante universitário da Universidade Federal de Uberlandia*. Mestrado em Engenharia Elétrica — Universidade Federal de Uberlandia, 2019. Citado na página 41.
- SILVESTRE, E. A. *Verificação de conflitos entre múltiplas normas em sistemas multiagentes*. Tese de Doutorado — UFF - Universidade Federal Fluminense, 2017. Citado 6 vezes nas páginas 15, 19, 22, 68, 75 e 78.
- SIMON, P. *Too Big to Ignore: The Business Case for Big Data*. [S.l.]: Wiley, 2013. (Wiley and SAS Business Series). ISBN 978-1-118-64186-6. Citado na página 40.
- SLOMAN, M.; LUPU, E. Security and management policy specification. v. 16, n. 2, p. 10–19, 2002. ISSN 08908044. Disponível em: <<http://ieeexplore.ieee.org/document/993218/>>. Citado 2 vezes nas páginas 20 e 34.
- SUN, L. et al. *Privacy Preserving Access Control Policy and Algorithms for Conflicting Problems*. IEEE Computer Society, 2011. ISSN: 2324-898X Pages: 250-257. ISBN 978-1-4577-2135-9. Disponível em: <<https://www.computer.org/csdl/proceedings-article/trustcom/2011/06120826/12OmNscOUhm>>. Citado 5 vezes nas páginas 15, 21, 22, 69 e 74.
- SWAMYNATHAN, M. *Mastering Machine Learning with Python in Six Steps: A Practical Implementation Guide to Predictive Data Analytics Using Python*. 2<sup>a</sup>. ed. Apress, 2019. ISBN 978-1-4842-4947-5. Disponível em: <<https://books.google.com.br/books?id=dEqzDwAAQBAJ>>. Citado na página 40.
- THENMOZHI, D.; KALAIVANI, A.; ARAVINDAN, C. Multi-lingual author profiling on SMS messages using machine learning approach with statistical feature selection. p. 9, 2018. Disponível em: <<https://pdfs.semanticscholar.org/5d3e/7741c33bc7613fd4d5a7711d7f33830dc28f.pdf>>. Citado na página 92.
- TRAVASSOS, G. H.; GUROV, D. Introdução à engenharia de software experimental. Programa de Engenharia de Sistemas de Computação - COPPE/RJ, Rio de Janeiro/Brasil, p. 52, 2002. Citado na página 27.
- UEDA, E. T. *Análise de políticas de controle de acesso baseado em papéis com rede de Petri colorida*. Doutorado em Sistemas Digitais — USP - Universidade de São Paulo, 2012. Disponível em: <<http://www.teses.usp.br/teses/disponiveis/3/3141/tde-08032013-120904/>>. Citado 6 vezes nas páginas 17, 18, 19, 23, 24 e 31.
- VASCONCELOS, L. M. R. d.; CARVALHO, C. L. d. Aplicação de regras de associação para mineração de dados na web. v. 1, n. 1, 2018. Number: 1. Disponível em: <<https://telematicafractal.com.br/revista/index.php/telfract/article/view/8>>. Citado na página 38.
- VIJAYALAKSHMI, K.; JAYALAKSHMI, V. A priority-based approach for detection of anomalies in ABAC policies using clustering technique. In: *2020 Fourth International Conference on Computing Methodologies and Communication (ICCMC)*. [S.l.: s.n.], 2020. p. 897–903. Citado 2 vezes nas páginas 15 e 68.

- VIMERCATI, S. De Capitani di; SAMARATI, P.; JAJODIA, S. Policies, models, and languages for access control. In: BHALLA, S. (Ed.). *Databases in Networked Information Systems*. [S.l.]: Springer, 2005. (Lecture Notes in Computer Science), p. 225–237. ISBN 978-3-540-31970-2. Citado 4 vezes nas páginas 32, 33, 34 e 35.
- WANG, Y. et al. Conflicts analysis and resolution for access control policies. In: *2010 IEEE International Conference on Information Theory and Information Security*. [S.l.: s.n.], 2010. p. 264–267. ISSN: null. Citado 7 vezes nas páginas 19, 21, 22, 30, 32, 33 e 74.
- WAZLAWICK, R. S. *Metodologia de Pesquisa em Ciência da Computação*. 1a edição. ed. [S.l.]: Elsevier, 2009. ISBN 978-85-35235-22-7. Citado na página 27.
- WIEDERHOLD, G.; McCarthy, J. Arthur samuel: Pioneer in machine learning. v. 36, n. 3, p. 329–331, 1992. ISSN 0018-8646. Citado na página 40.
- WITTEN, I. et al. *Data Mining: Practical Machine Learning Tools and Techniques*. Elsevier Science, 2016. (The Morgan Kaufmann Series in Data Management Systems). ISBN 978-0-12-804357-8. Disponível em: <<https://books.google.com.br/books?id=1SylCgAAQBAJ>>. Citado 3 vezes nas páginas 78, 82 e 103.
- WOHLIN, C. et al. *Experimentation in Software Engineering: An Introduction*. Springer US, 2000. (International Series in Software Engineering). ISBN 978-1-4613-7091-8. Disponível em: <<https://www.springer.com/gp/book/9781461370918>>. Citado na página 27.
- WOLPERT, D. H. The lack of a priori distinctions between learning algorithms. *Neural Comput.*, MIT Press, Cambridge, MA, USA, v. 8, n. 7, p. 1341–1390, oct 1996. ISSN 0899-7667. Disponível em: <<http://dx.doi.org/10.1162/neco.1996.8.7.1341>>. Citado 2 vezes nas páginas 42 e 46.
- WOLPERT, D. H.; MACREADY, W. G. Working Papers. *No Free Lunch Theorems for Search*. Santa Fe Institute, 1995. Disponível em: <<https://EconPapers.repec.org/RePEc:wop:safiwp:95-02-010>>. Citado na página 46.
- WU, X. et al. Top 10 algorithms in data mining. *Knowl. Inf. Syst.*, Springer-Verlag New York, Inc., New York, NY, USA, v. 14, n. 1, p. 1–37, dec 2007. ISSN 0219-1377. Disponível em: <<http://dx.doi.org/10.1007/s10115-007-0114-2>>. Citado 3 vezes nas páginas 49, 51 e 82.
- XU, Z.; STOLLER, S. D. Mining attribute-based access control policies from RBAC policies. In: *2013 10th International Conference and Expo on Emerging Technologies for a Smarter World (CEWIT)*. [S.l.: s.n.], 2013. p. 1–6. Citado 4 vezes nas páginas 15, 23, 71 e 76.
- XU, Z.; STOLLER, S. D. Mining attribute-based access control policies. 2014. Disponível em: <<http://arxiv.org/abs/1306.2401>>. Citado 2 vezes nas páginas 23 e 76.
- YAHIAOUI, M.; ZINEDINE, A.; HARTI, M. Deconflicting policies in attribute-based access control systems. In: *2018 IEEE 5th International Congress on Information Science and Technology (CiSt)*. [S.l.: s.n.], 2018. p. 130–136. ISSN: 2327-1884. Citado 2 vezes nas páginas 15 e 68.

YEUNG, N.; BOTVINICK, M. M.; COHEN, J. D. The neural basis of error detection: conflict monitoring and the error-related negativity. *Psychological Review*, v. 111, n. 4, p. 931–959, out. 2004. ISSN 0033-295X. Citado na página [60](#).

ZHENG, G.; XIAO, Y. A research on conflicts detection in ABAC policy. In: *2019 IEEE 7th International Conference on Computer Science and Network Technology (ICCSNT)*. [S.l.: s.n.], 2019. p. 408–412. Citado 2 vezes nas páginas [15](#) e [68](#).